

# *Conjectura de Poincaré.*

## *Geometria o topologia?*

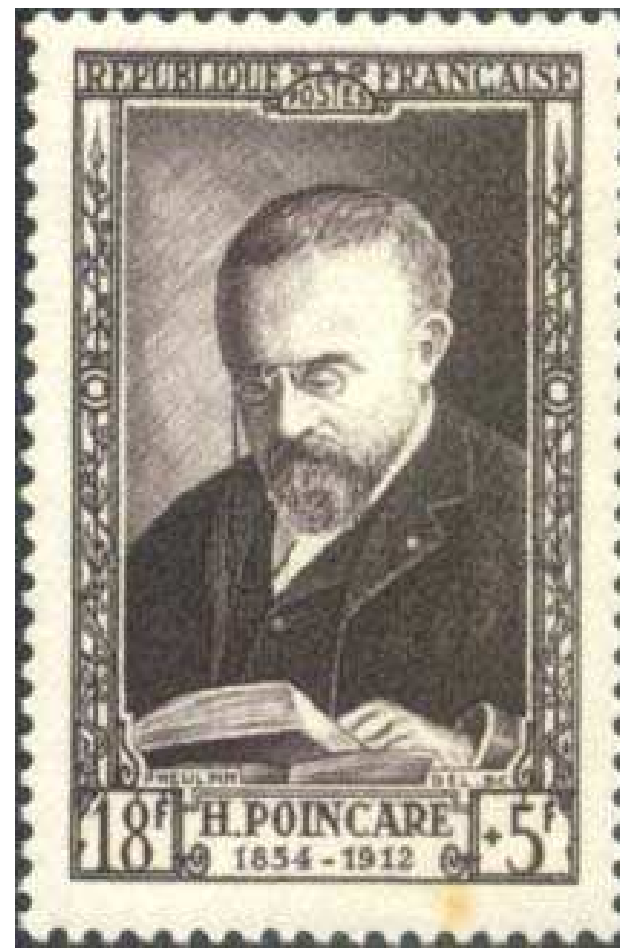
Joan Porti (UAB)

XI Trobada matemàtica

SCM

6 de juny de 2008

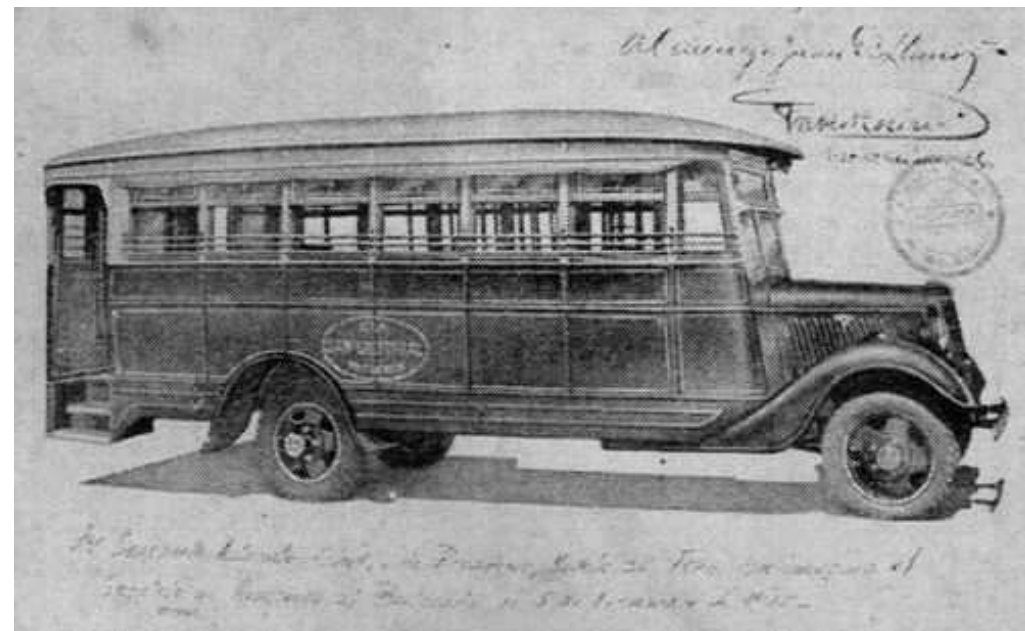
# Jules Henri Poincaré



**Jules Henri Poincaré**

*“...nous montâmes dans un omnibus  
pour je ne sais quelle promenade.*

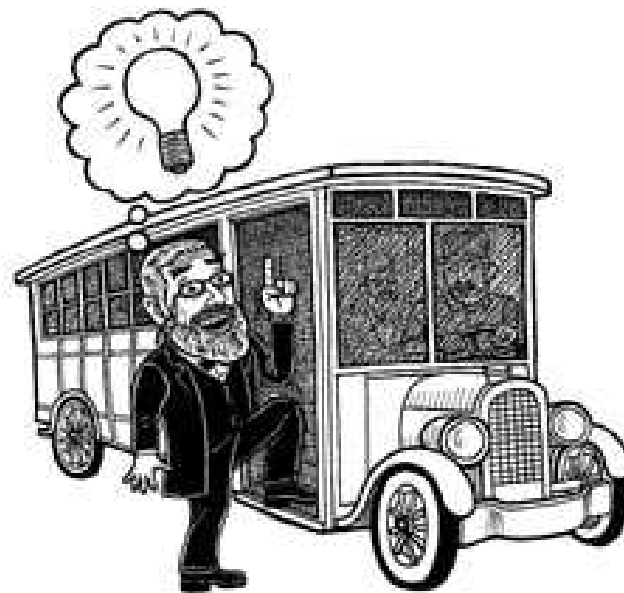
*Au moment où je mettais le pied  
sur le marchepied, l'idée me vint,...”*



**Jules Henri Poincaré**

*“...nous montâmes dans un omnibus  
pour je ne sais quelle promenade.*

*Au moment où je mettais le pied  
sur le marchepied, l'idée me vint,...”*



## *Poincaré i l'analysis situs*

- Poincaré, H. **Analysis situs.** J. de l'Éc. Pol. (2) I. 1-123 (1895)

## *Poincaré i l'analysis situs*

- Poincaré, H. **Analysis situs.** J. de l'Éc. Pol. (2) I. 1-123 (1895)
- Poincaré, H. **Complément à l'Analysis situs.** Palermo Rend. 13, 285-343 (1899)

## *Poincaré i l'analysis situs*

- Poincaré, H. **Analysis situs.** J. de l'Éc. Pol. (2) I. 1-123 (1895)
- Poincaré, H. **Complément à l'Analysis situs.** Palermo Rend. 13, 285-343 (1899)
- Poincaré, H. **Second complément à l'analysis situs** Lond. M. S. Proc. 32, 277-308 (1900).

## *Poincaré i l'analysis situs*

- Poincaré, H. **Analysis situs.** J. de l'Éc. Pol. (2) I. 1-123 (1895)
- Poincaré, H. **Complément à l'Analysis situs.** Palermo Rend. 13, 285-343 (1899)
- Poincaré, H. **Second complément à l'analysis situs** Lond. M. S. Proc. 32, 277-308 (1900).
- Poincaré, H. **Sur certaines surfaces algébriques. III<sup>ième</sup> complément à l'analysis situs.** S. M. F. Bull. 30, 49-70 (1902).

## *Poincaré i l'analysis situs*

- Poincaré, H. **Analysis situs.** J. de l'Éc. Pol. (2) I. 1-123 (1895)
- Poincaré, H. **Complément à l'Analysis situs.** Palermo Rend. 13, 285-343 (1899)
- Poincaré, H. **Second complément à l'analysis situs** Lond. M. S. Proc. 32, 277-308 (1900).
- Poincaré, H. **Sur certaines surfaces algébriques. III<sup>ième</sup> complément à l'analysis situs.** S. M. F. Bull. 30, 49-70 (1902).
- Poincaré, H. **Sur l'Analysis situs.** C. R. 133, 707-709 (1902).

## *Poincaré i l'analysis situs*

- Poincaré, H. **Analysis situs.** J. de l'Éc. Pol. (2) I. 1-123 (1895)
- Poincaré, H. **Complément à l'Analysis situs.** Palermo Rend. 13, 285-343 (1899)
- Poincaré, H. **Second complément à l'analysis situs** Lond. M. S. Proc. 32, 277-308 (1900).
- Poincaré, H. **Sur certaines surfaces algébriques. III<sup>ième</sup> complément à l'analysis situs.** S. M. F. Bull. 30, 49-70 (1902).
- Poincaré, H. **Sur l'Analysis situs.** C. R. 133, 707-709 (1902).
- Poincaré, H. **Cinquième complément à l'analysis situs.** Palermo Rend. 18, 45-110 (1904)

## Pregunta de Poincaré

A "Cinquième complement à l'Analysis Situs" (1904):

Sigui  $M^3$  varietat tancada tridimensional.  
Si  $M^3$  és simplement connexa ( $\pi_1(M^3) = 0$ ),  
és  $M^3$  homeomorfa a  $S^3$ ?

$$S^3 = \{(x_1, x_2, x_3, x_4) \in \mathbf{R}^4 \mid x_1^2 + x_2^2 + x_3^2 + x_4^2 = 1\}$$

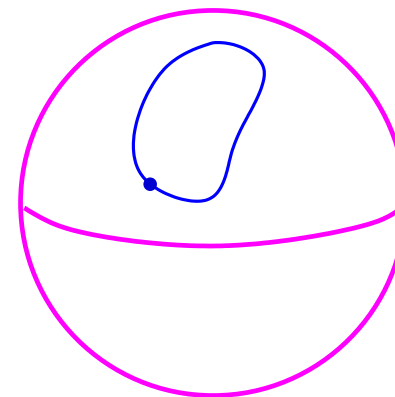
## Pregunta de Poincaré

A "Cinquième complement à l'Analysis Situs" (1904):

Sigui  $M^3$  varietat tancada tridimensional.  
Si  $M^3$  és simplement connexa ( $\pi_1(M^3) = 0$ ),  
és  $M^3$  homeomorfa a  $S^3$ ?

$$S^3 = \{(x_1, x_2, x_3, x_4) \in \mathbf{R}^4 \mid x_1^2 + x_2^2 + x_3^2 + x_4^2 = 1\}$$

$$\pi_1(M^3) = 0:$$



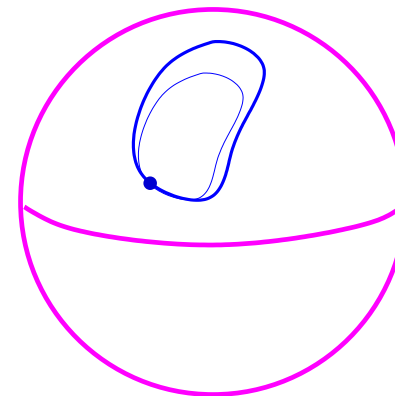
## Pregunta de Poincaré

A "Cinquième complement à l'Analysis Situs" (1904):

Sigui  $M^3$  varietat tancada tridimensional.  
Si  $M^3$  és simplement connexa ( $\pi_1(M^3) = 0$ ),  
és  $M^3$  homeomorfa a  $S^3$ ?

$$S^3 = \{(x_1, x_2, x_3, x_4) \in \mathbf{R}^4 \mid x_1^2 + x_2^2 + x_3^2 + x_4^2 = 1\}$$

$$\pi_1(M^3) = 0:$$



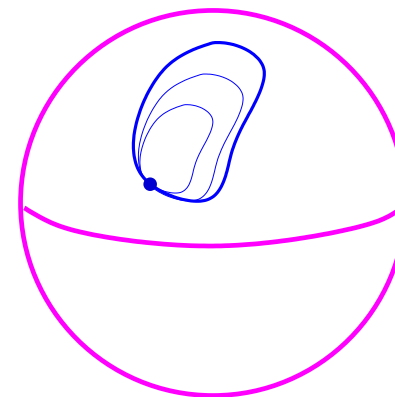
## Pregunta de Poincaré

A "Cinquième complement à l'Analysis Situs" (1904):

Sigui  $M^3$  varietat tancada tridimensional.  
Si  $M^3$  és simplement connexa ( $\pi_1(M^3) = 0$ ),  
és  $M^3$  homeomorfa a  $S^3$ ?

$$S^3 = \{(x_1, x_2, x_3, x_4) \in \mathbf{R}^4 \mid x_1^2 + x_2^2 + x_3^2 + x_4^2 = 1\}$$

$$\pi_1(M^3) = 0:$$



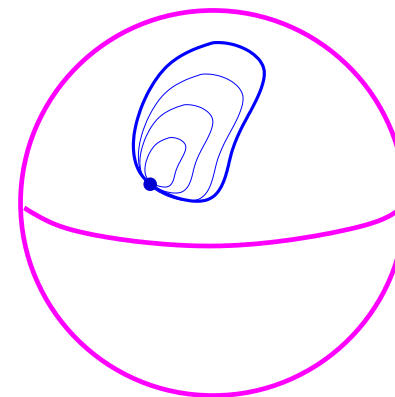
## Pregunta de Poincaré

A "Cinquième complement à l'Analysis Situs" (1904):

Sigui  $M^3$  varietat tancada tridimensional.  
Si  $M^3$  és simplement connexa ( $\pi_1(M^3) = 0$ ),  
és  $M^3$  homeomorfa a  $S^3$ ?

$$S^3 = \{(x_1, x_2, x_3, x_4) \in \mathbf{R}^4 \mid x_1^2 + x_2^2 + x_3^2 + x_4^2 = 1\}$$

$$\pi_1(M^3) = 0:$$



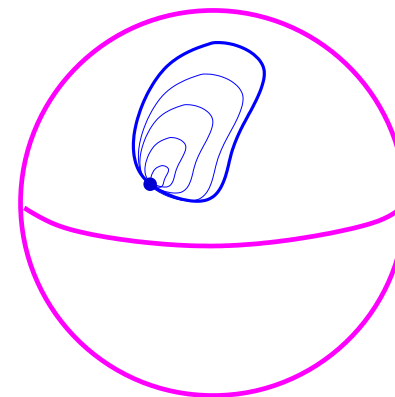
## Pregunta de Poincaré

A "Cinquième complement à l'Analysis Situs" (1904):

Sigui  $M^3$  varietat tancada tridimensional.  
Si  $M^3$  és simplement connexa ( $\pi_1(M^3) = 0$ ),  
és  $M^3$  homeomorfa a  $S^3$ ?

$$S^3 = \{(x_1, x_2, x_3, x_4) \in \mathbf{R}^4 \mid x_1^2 + x_2^2 + x_3^2 + x_4^2 = 1\}$$

$$\pi_1(M^3) = 0:$$



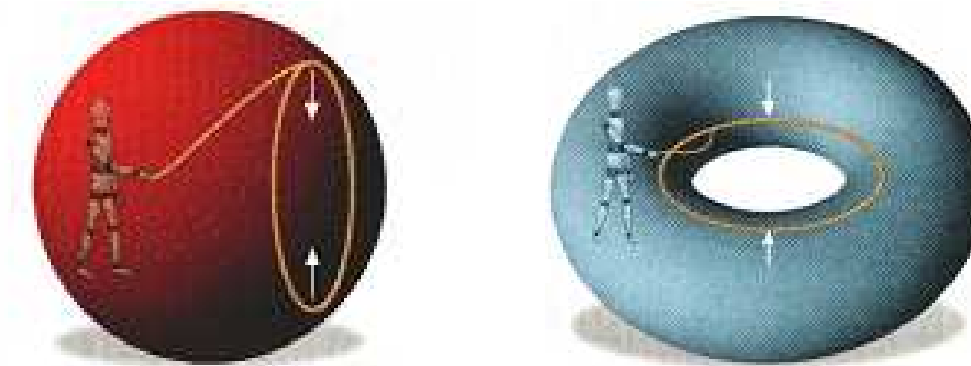
## Pregunta de Poincaré

A "Cinquième complement à l'Analysis Situs" (1904):

Sigui  $M^3$  varietat tancada tridimensional.  
Si  $M^3$  és simplement connexa ( $\pi_1(M^3) = 0$ ),  
és  $M^3$  homeomorfa a  $S^3$ ?

$$S^3 = \{(x_1, x_2, x_3, x_4) \in \mathbf{R}^4 \mid x_1^2 + x_2^2 + x_3^2 + x_4^2 = 1\}$$

En dim 2,  $\pi_1(F^2) = 0$  caracteritza l'esfera entre les superfícies.



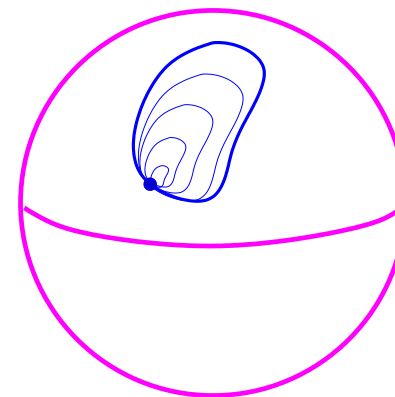
## Pregunta de Poincaré

A "Cinquième complement à l'Analysis Situs" (1904):

Sigui  $M^3$  varietat tancada tridimensional.  
Si  $M^3$  és simplement connexa ( $\pi_1(M^3) = 0$ ),  
és  $M^3$  homeomorfa a  $S^3$ ?

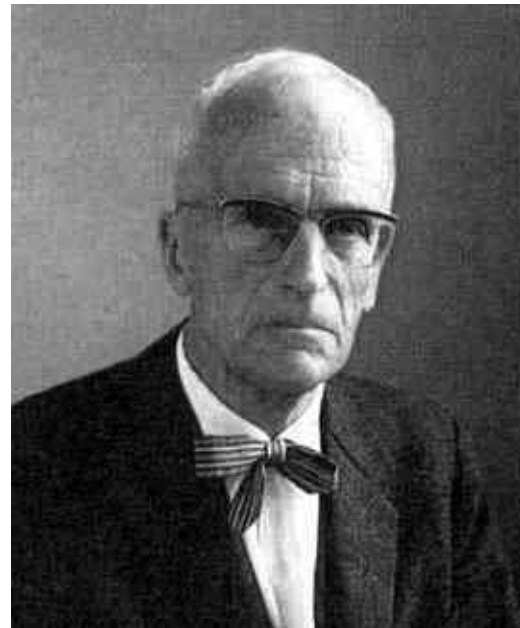
$$S^3 = \{(x_1, x_2, x_3, x_4) \in \mathbf{R}^4 \mid x_1^2 + x_2^2 + x_3^2 + x_4^2 = 1\}$$

$$\pi_1(M^3) = 0:$$



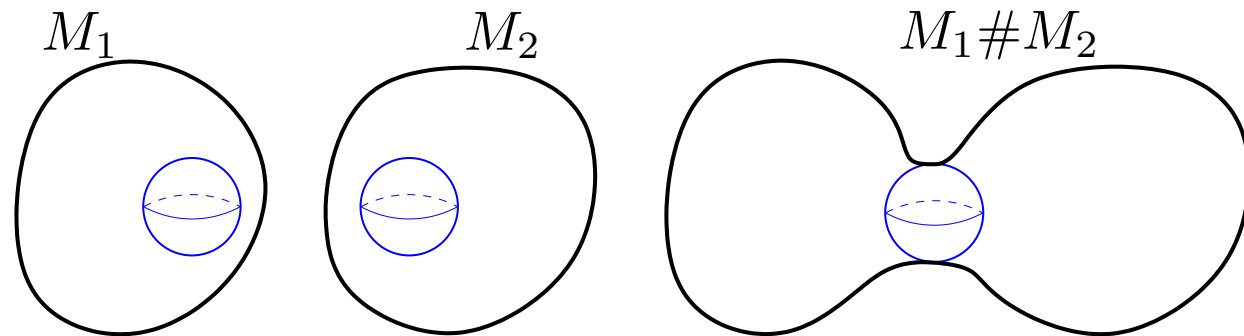
*...mais cette question nous entraînerait trop loin.*

## *Kneser i la suma connexa (1929)*



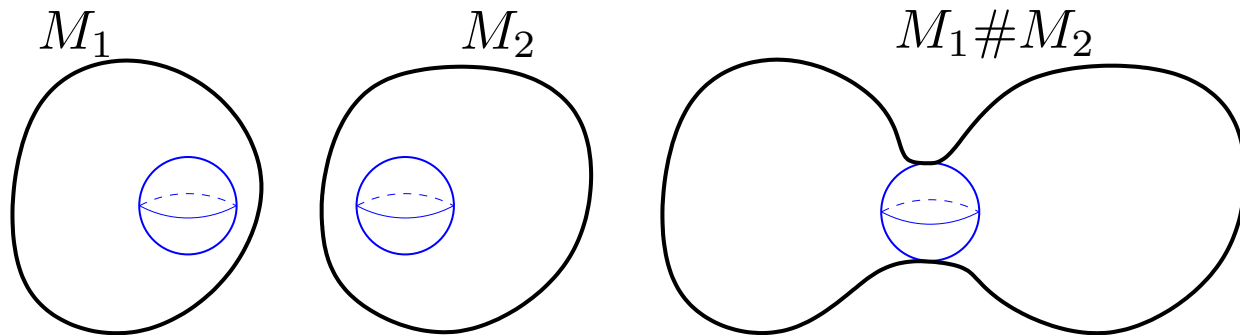
Hellmut Kneser (1898-1973)

## **Kneser i la suma connexa (1929)**



$$M_1 \# M_2 = (M_1 - B^3) \cup_{\partial} (M_2 - B^3)$$

## Kneser i la suma connexa (1929)



$$M_1 \# M_2 = (M_1 - B^3) \cup_{\partial} (M_2 - B^3)$$

Teorema de Kneser (1929)  $M^3$  tancada i orientable

$$\Rightarrow M^3 \cong M_1^3 \# \cdots \# M_k^3 .$$

$M_1^3, \dots, M_k^3$  primeres i úniques.

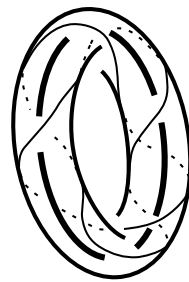
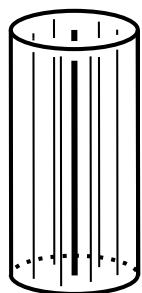
## *Seifert i les varietats fibrades (1933)*



Herbert Seifert (1907-1996)

## Seifert i les varietats fibrades (1933)

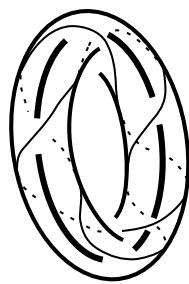
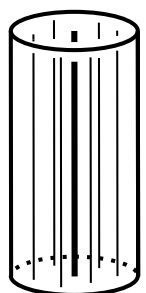
Varietats particionades en cercles de models locals:



enganxem la base i la tapa del cilindre  
per una  $2\pi \frac{p}{q}$ -rotació,  $\frac{p}{q} \in \mathbb{Q}$

## Seifert i les varietats fibrades (1933)

Varietats particionades en cercles de models locals:



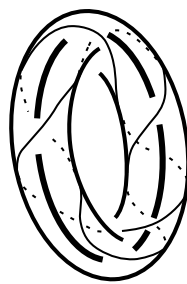
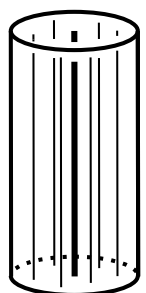
enganxem la base i la tapa del cilindre  
per una  $2\pi \frac{p}{q}$ -rotació,  $\frac{p}{q} \in \mathbb{Q}$

H. Seifert (1933): Classificació de les varietats fibrades de Seifert.

En particular, satisfan la conjectura de Poincaré

## Seifert i les varietats fibrades (1933)

Varietats particionades en cercles de models locals:



enganxem la base i la tapa del cilindre  
per una  $2\pi \frac{p}{q}$ -rotació,  $\frac{p}{q} \in \mathbf{Q}$

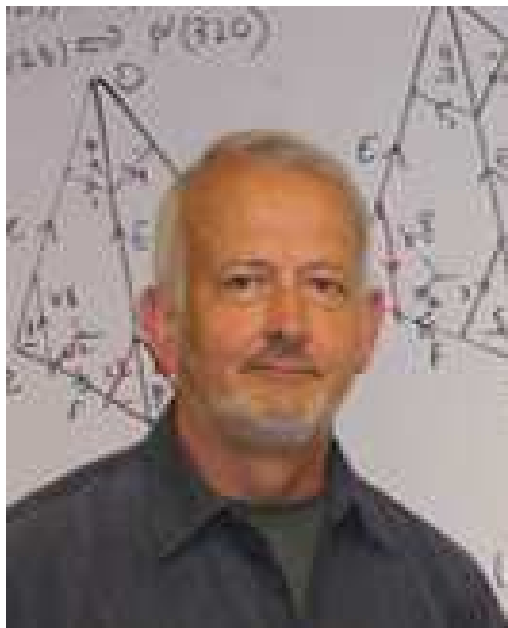
H. Seifert (1933): Classificació de les varietats fibrades de Seifert.

En particular, satisfan la conjectura de Poincaré

Exemples:

- $T^3 = S^1 \times S^1 \times S^1$
- $S^3 = \{z \in \mathbf{C}^2 \mid |z| = 1\}$  fibració de Hopf:  $S^1 \rightarrow S^3 \rightarrow \mathbf{CP}^1 \cong S^2$

## ***Jaco-Shalen i Johannson (1979)***



W.H. Jaco  
(1940)



P.B. Shalen  
(1946)



K. Johannson  
(1948)

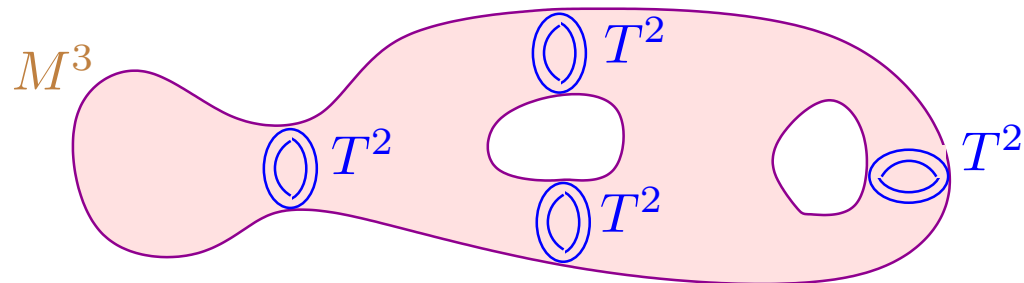
## Jaco-Shalen i Johannson (1979)

Teorema de descomposició en tors (JSJ 1979).

$M^3$  primera, tancada i orientable.

Hi ha una família canònica de tors  $T^2$  que tallen  $M^3$

en trossos que són o bé fibrats de Seifert o bé simples.



$N$  simple: no és Seifert i cada  $\mathbf{Z} \times \mathbf{Z} \subset \pi_1(N^3)$  ve de  $\pi_1(\partial N^3)$ .

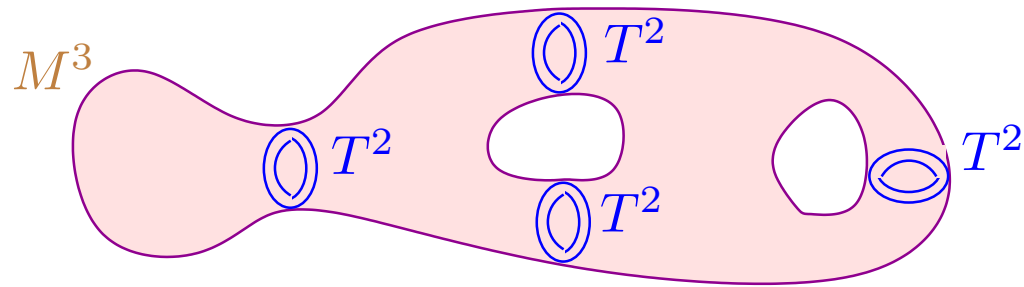
## Jaco-Shalen i Johannson (1979)

Teorema de descomposició en tors (JSJ 1979).

$M^3$  primera, tancada i orientable.

Hi ha una família canònica de tors  $T^2$  que tallen  $M^3$

en trossos que són o bé fibrats de Seifert o bé simples.



$N$  simple: no és Seifert i cada  $\mathbf{Z} \times \mathbf{Z} \subset \pi_1(N^3)$  ve de  $\pi_1(\partial N^3)$ .

Conjectura de Thurston: simple  $\Rightarrow$  hiperbòlica.

Hiperbòlica:  $\text{int}(M^3)$  mètrica de Riemann completa curvatura  $\equiv -1$

## *Conjectura de geometrització de Thurston*



W.P. Thurston (1946).

## *Conjectura de geometrització de Thurston*

$M^3$  tancada admet una descomposició canònica  
en trossos geomètrics

- Descomposició canònica: suma connexa i tors JSJ
- Varietat geomètrica: mètrica localment homogènia.  
(dos punts qualsevol tenen entorns isomètrics)

## *Conjectura de geometrització de Thurston*

$M^3$  tancada admet una descomposició canònica  
en trossos geomètrics

- Descomposició canònica: suma connexa i tors JSJ
- Varietat geomètrica: mètrica localment homogènia.  
(dos punts qualsevol tenen entorns isomètrics)
- L. Bianchi (1897): classificació local de les mètriques localment homogènies en dimensió tres.
- Geomètrica  $\Leftrightarrow$  fibrada de Seifert, hiperbòlica  $\circ T^2 \rightarrow M^3 \rightarrow S^1$ .

Ex:  $S^3, T^3 = S^1 \times S^1 \times S^1$  (fib. Seifert i homogènies)

# *Conjectura de geometrització de Thurston*

$M^3$  tancada admet una descomposició canònica  
en trossos geomètrics

- Descomposició canònica: suma connexa i tors JSJ
- Varietat geomètrica: mètrica localment homogènia.  
(dos punts qualsevol tenen entorns isomètrics)
- L. Bianchi (1897): classificació local de les mètriques localment homogènies en dimensió tres.
- Geomètrica  $\Leftrightarrow$  fibrada de Seifert, hiperbòlica  $\circ T^2 \rightarrow M^3 \rightarrow S^1$ .  
Ex:  $S^3, T^3 = S^1 \times S^1 \times S^1$  (fib. Seifert i homogènies)
- Implica Poincaré.

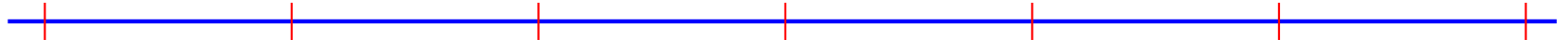
## *Bianchi i les mètriques homogènies*



Luigi Bianchi (1856-1928)

*Exemple: el cercle*  $S^1$

$$S^1 = \mathbf{R}/\mathbf{Z}$$



$\mathbf{Z}$  actua per translacions (que preserven la distància).

$$x \mapsto x + 1$$

*Exemple: el cercle*  $S^1$

$$S^1 = \mathbf{R}/\mathbf{Z}$$



$\mathbf{Z}$  actua per translacions (que preserven la distància).

$$x \mapsto x + 1$$



*Exemple: el cercle*  $S^1$

$$S^1 = \mathbf{R}/\mathbf{Z}$$



$\mathbf{Z}$  actua per translacions (que preserven la distància).

$$x \mapsto x + 1$$



*Exemple: el cercle*  $S^1$

$$S^1 = \mathbf{R}/\mathbf{Z}$$



$\mathbf{Z}$  actua per translacions (que preserven la distància).

$$x \mapsto x + 1$$



*Exemple: el cercle*  $S^1$

$$S^1 = \mathbf{R}/\mathbf{Z}$$



$\mathbf{Z}$  actua per translacions (que preserven la distància).

$$x \mapsto x + 1$$



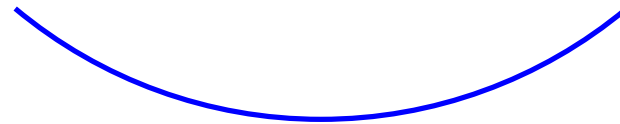
*Exemple: el cercle*  $S^1$

$$S^1 = \mathbf{R}/\mathbf{Z}$$



$\mathbf{Z}$  actua per translacions (que preserven la distància).

$$x \mapsto x + 1$$



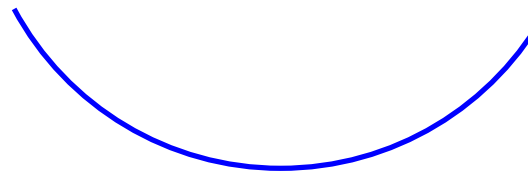
*Exemple: el cercle*  $S^1$

$$S^1 = \mathbf{R}/\mathbf{Z}$$



$\mathbf{Z}$  actua per translacions (que preserven la distància).

$$x \mapsto x + 1$$



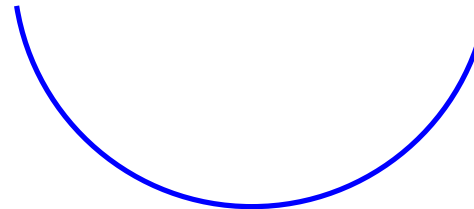
*Exemple: el cercle*  $S^1$

$$S^1 = \mathbf{R}/\mathbf{Z}$$



$\mathbf{Z}$  actua per translacions (que preserven la distància).

$$x \mapsto x + 1$$



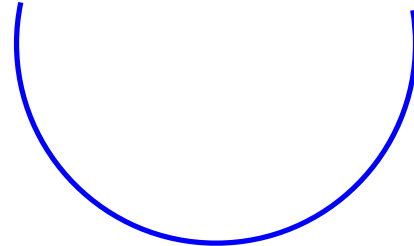
*Exemple: el cercle*  $S^1$

$$S^1 = \mathbf{R}/\mathbf{Z}$$



$\mathbf{Z}$  actua per translacions (que preserven la distància).

$$x \mapsto x + 1$$



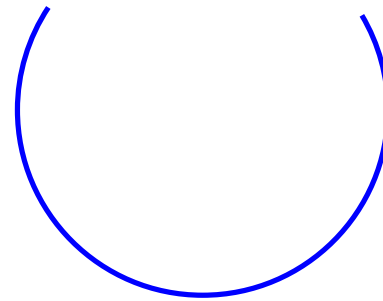
*Exemple: el cercle*  $S^1$

$$S^1 = \mathbf{R}/\mathbf{Z}$$



$\mathbf{Z}$  actua per translacions (que preserven la distància).

$$x \mapsto x + 1$$



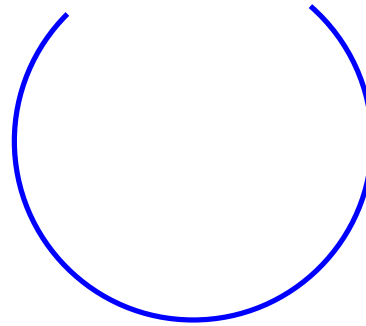
*Exemple: el cercle*  $S^1$

$$S^1 = \mathbf{R}/\mathbf{Z}$$



$\mathbf{Z}$  actua per translacions (que preserven la distància).

$$x \mapsto x + 1$$



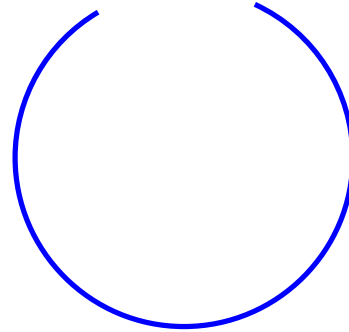
*Exemple: el cercle*  $S^1$

$$S^1 = \mathbf{R}/\mathbf{Z}$$



$\mathbf{Z}$  actua per translacions (que preserven la distància).

$$x \mapsto x + 1$$



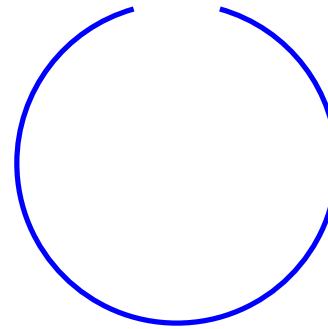
*Exemple: el cercle*  $S^1$

$$S^1 = \mathbf{R}/\mathbf{Z}$$



$\mathbf{Z}$  actua per translacions (que preserven la distància).

$$x \mapsto x + 1$$



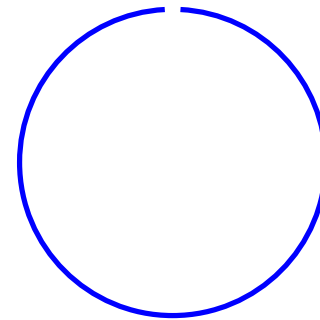
*Exemple: el cercle*  $S^1$

$$S^1 = \mathbf{R}/\mathbf{Z}$$



$\mathbf{Z}$  actua per translacions (que preserven la distància).

$$x \mapsto x + 1$$



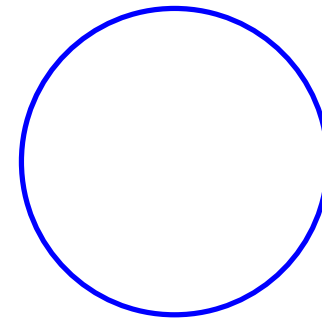
*Exemple: el cercle*  $S^1$

$$S^1 = \mathbf{R}/\mathbf{Z}$$

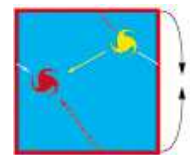


$\mathbf{Z}$  actua per translacions (que preserven la distància).

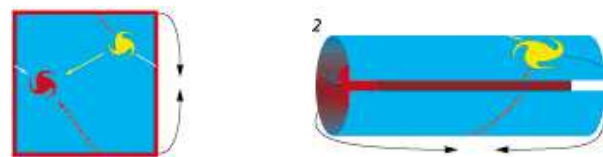
$$x \mapsto x + 1$$



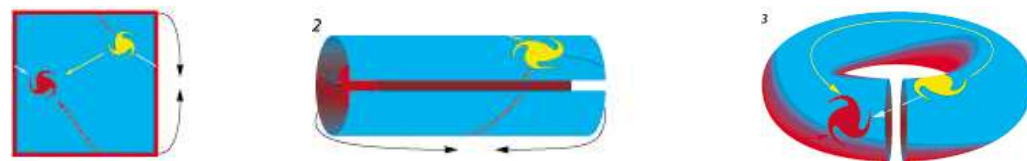
**Exemple: el tor  $T^2$**



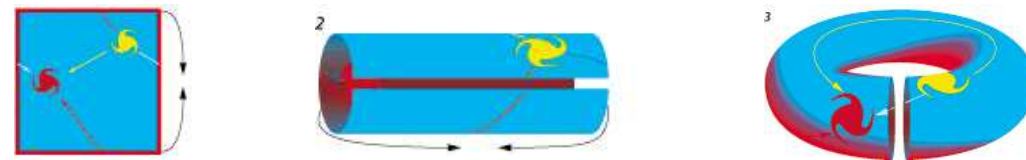
**Exemple: el tor  $T^2$**



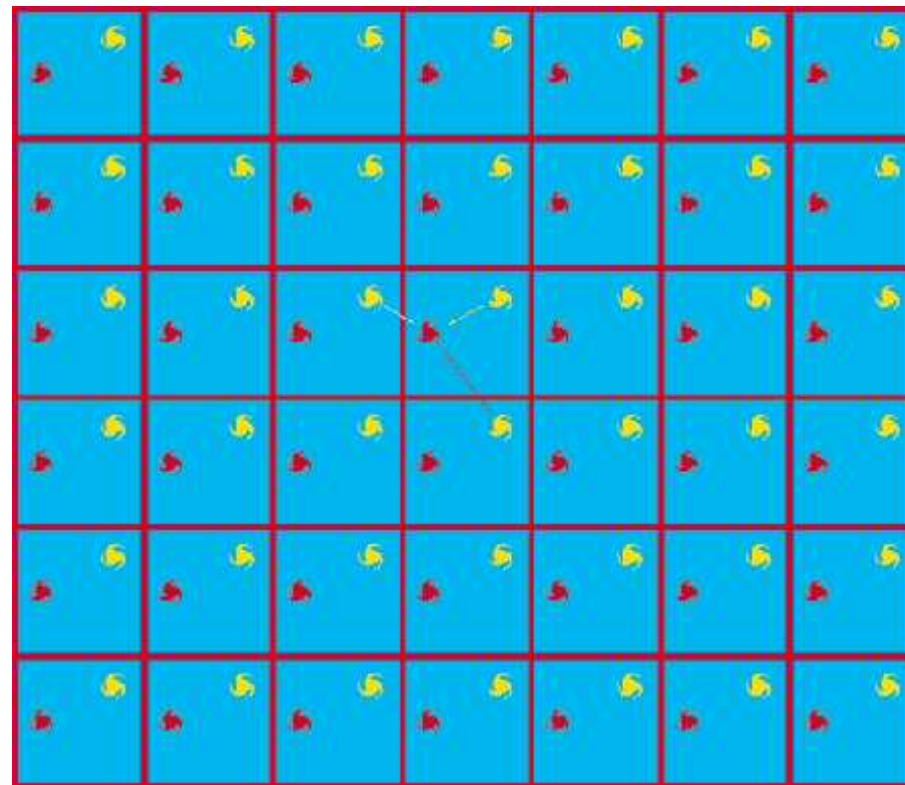
**Exemple: el tor  $T^2$**



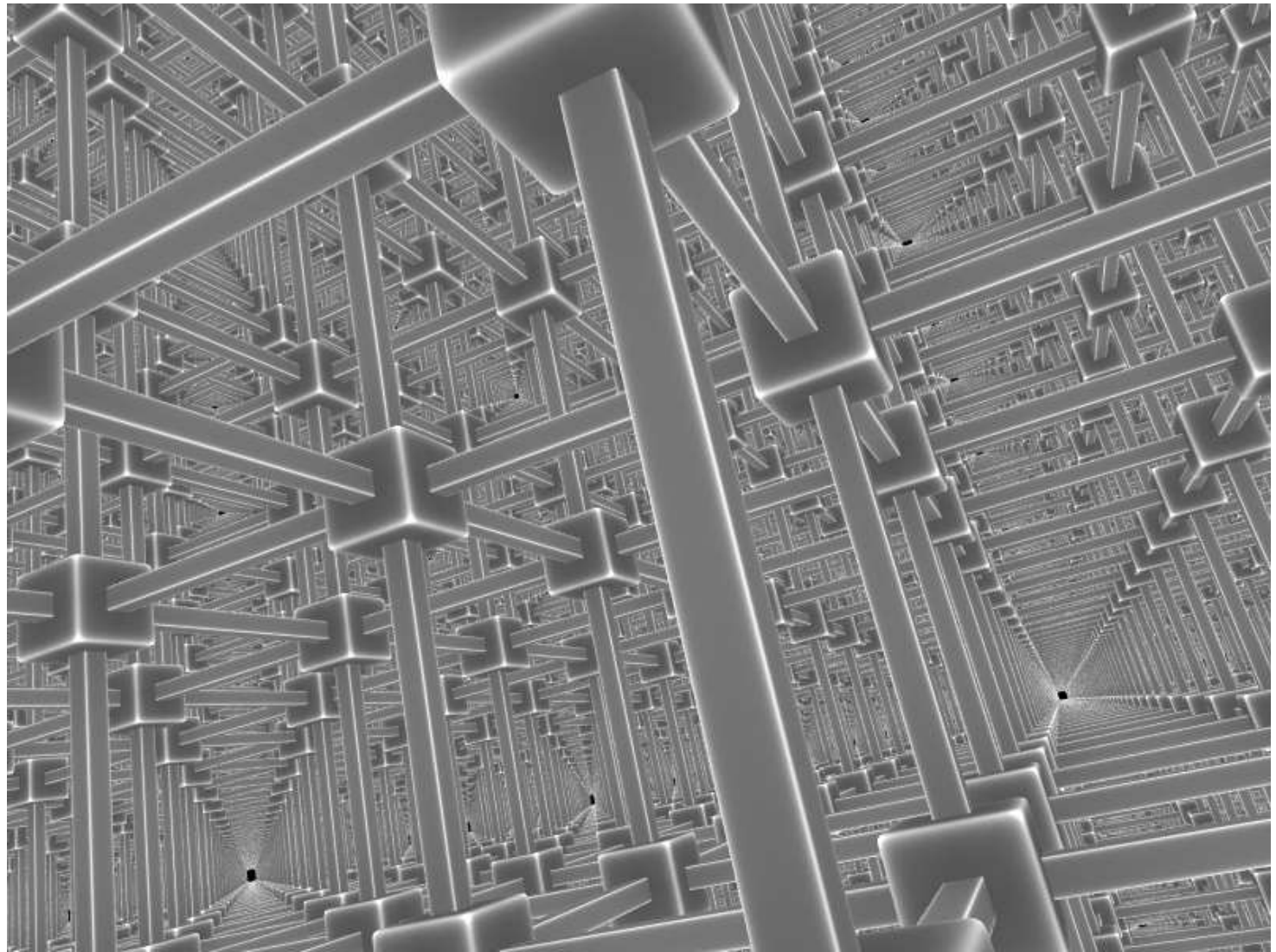
## Exemple: el tor $T^2$



$$T^2 = \mathbf{R}^2 / \mathbf{Z}^2$$



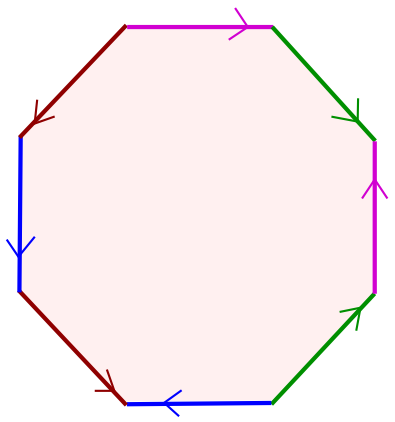
# *Enrajolament de l'espai euclidià* $T^3 = \mathbf{R}^3/\mathbf{Z}^3$



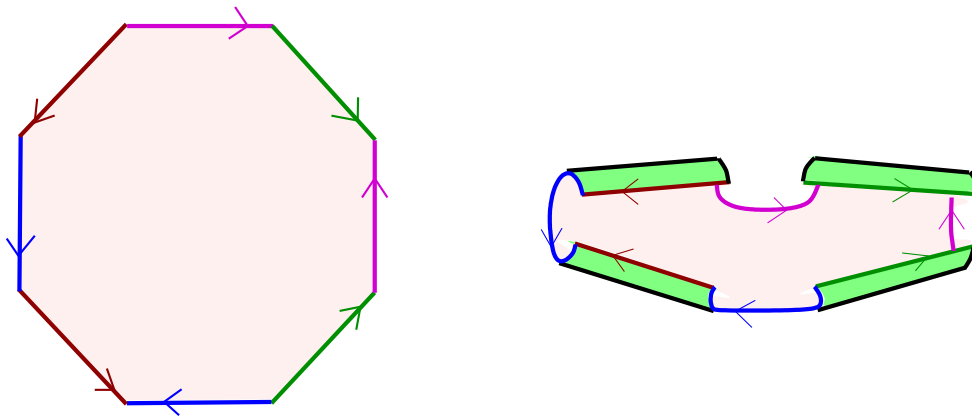
# *Euclides segons Raffaello Sanzio*



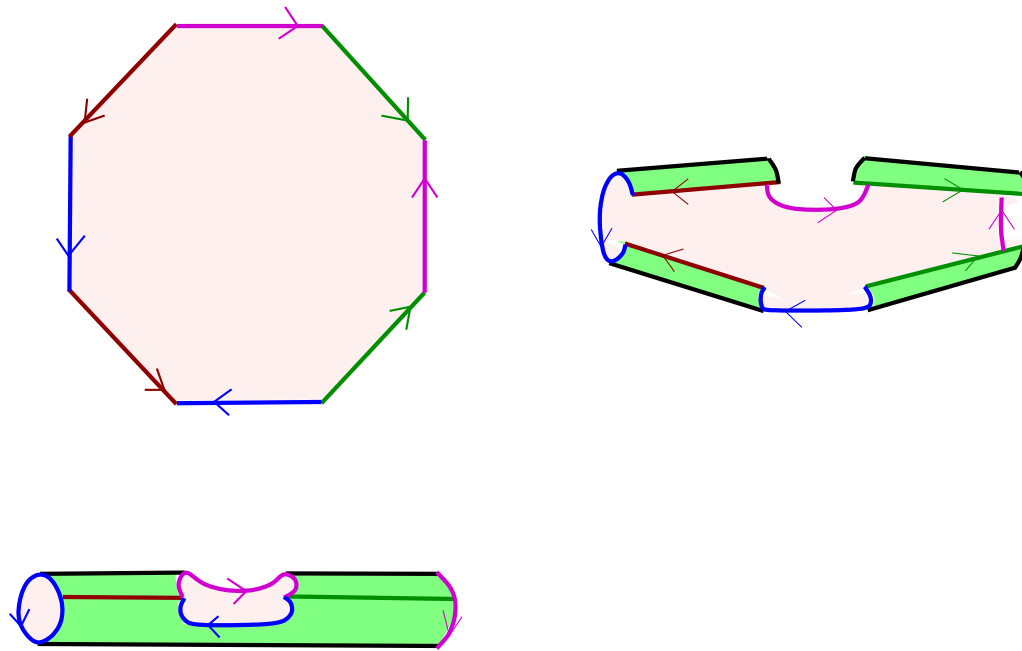
*Exemplo: superfície  $F_2$*



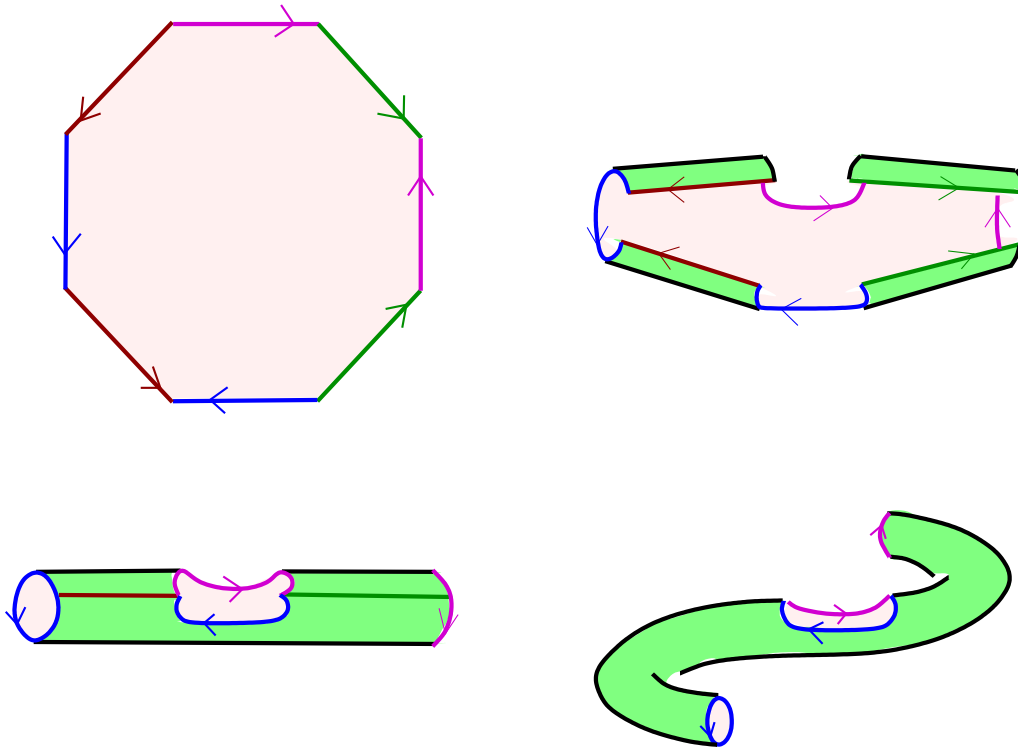
*Exemplo: superfície  $F_2$*



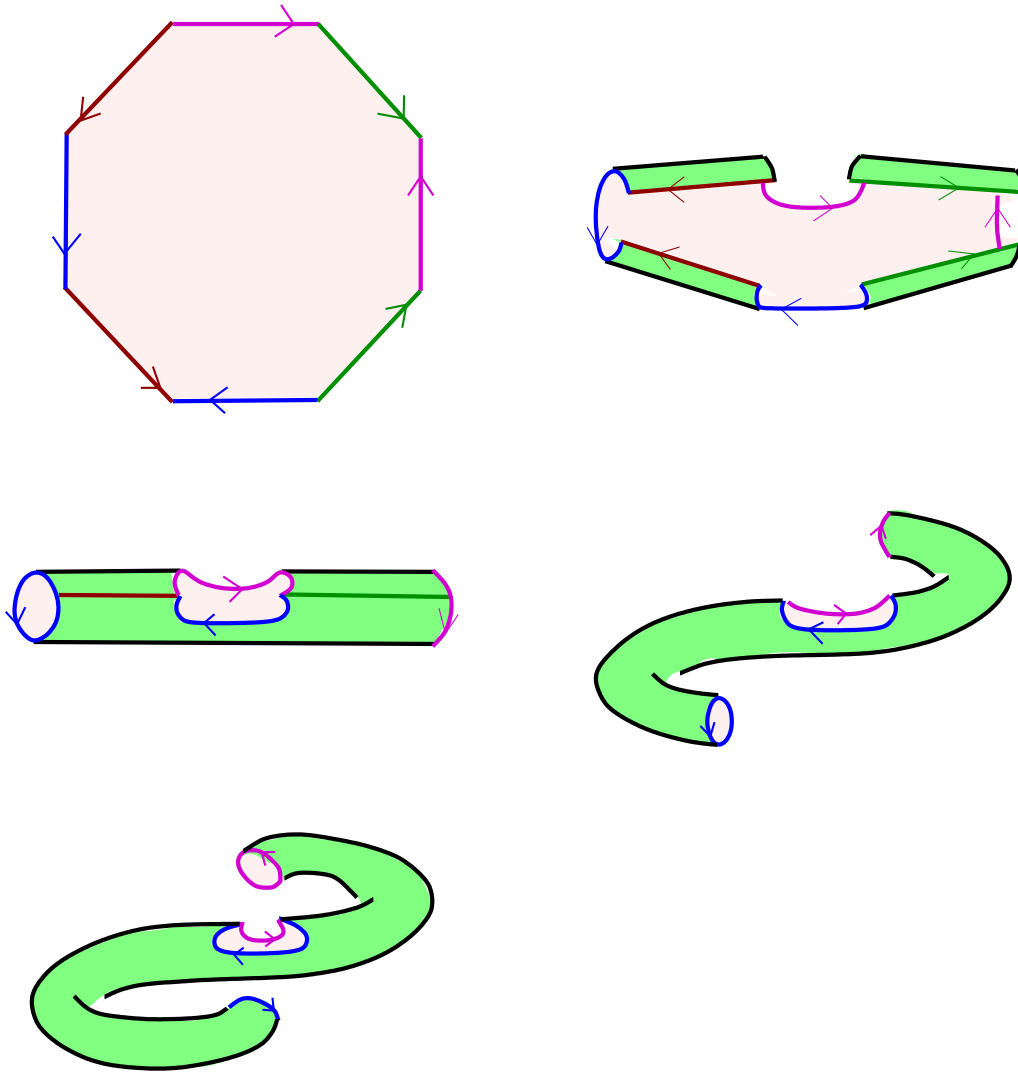
*Exemplo: superfície  $F_2$*



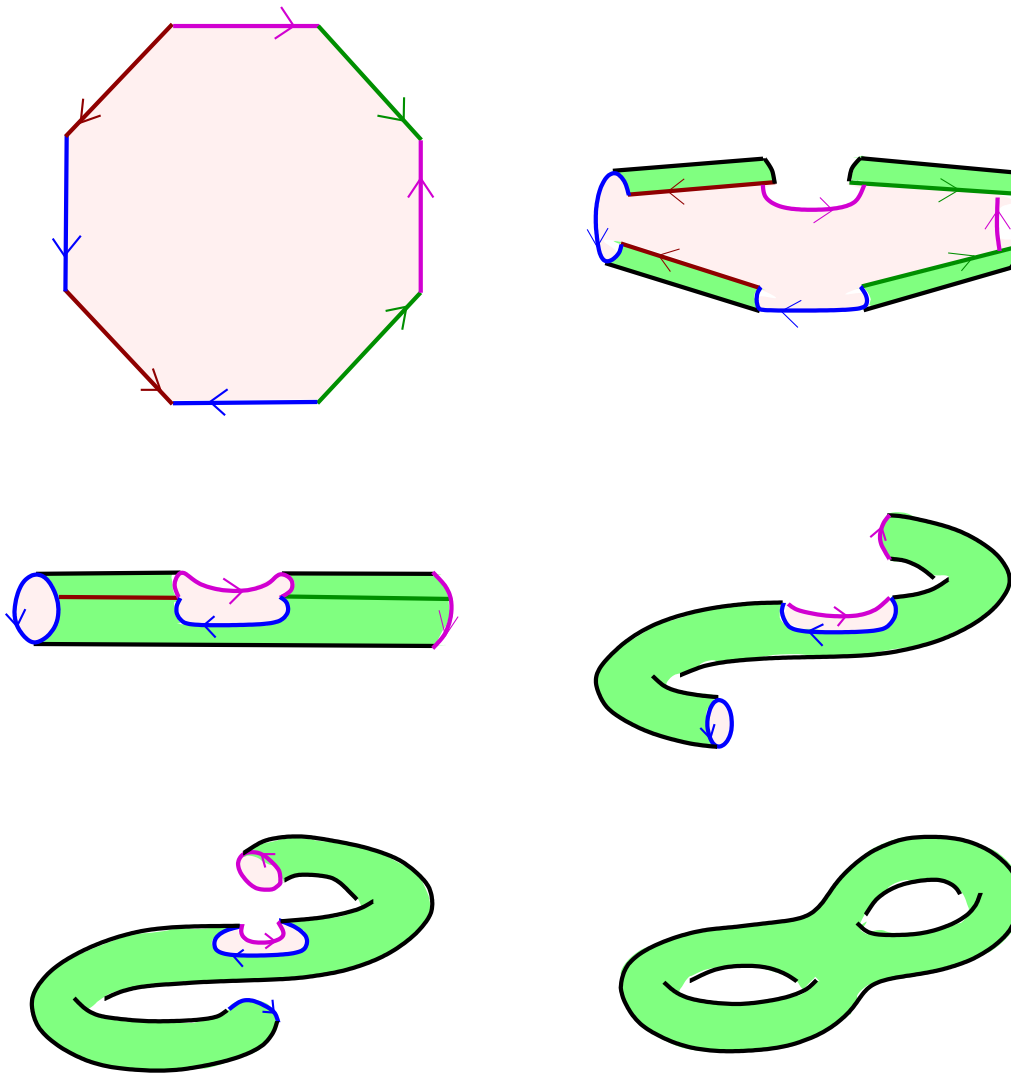
*Exemplo: superfície  $F_2$*



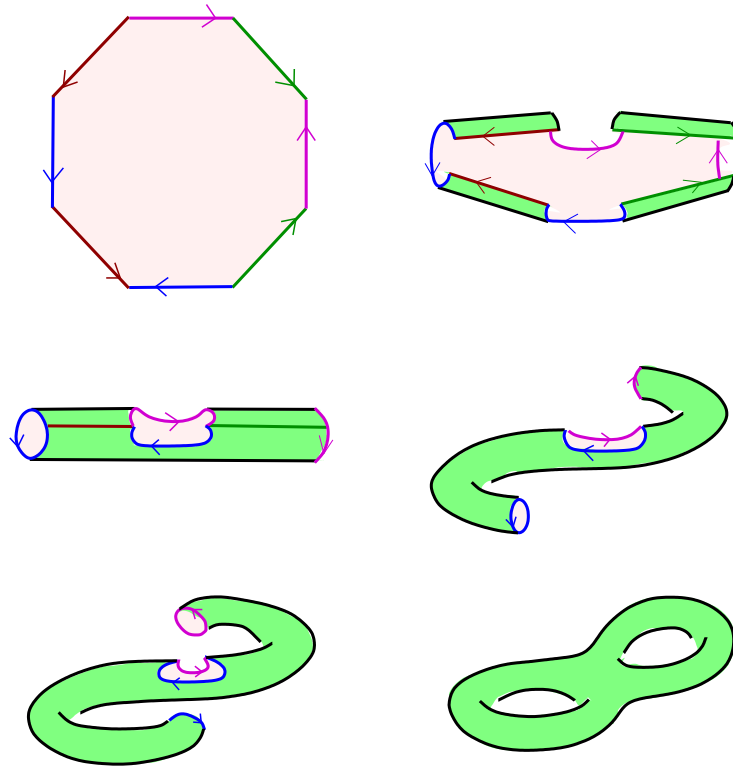
## *Exemplo: superfície $F_2$*



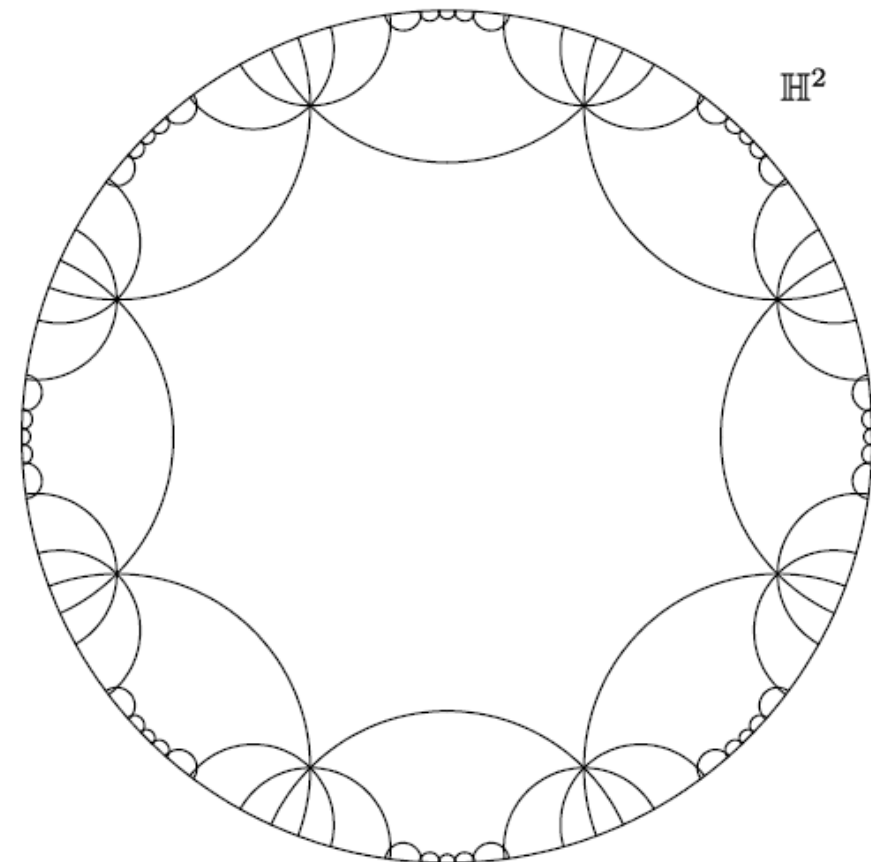
## *Exemplo: superfície $F_2$*



## *Exemplo: superfície $F_2$*

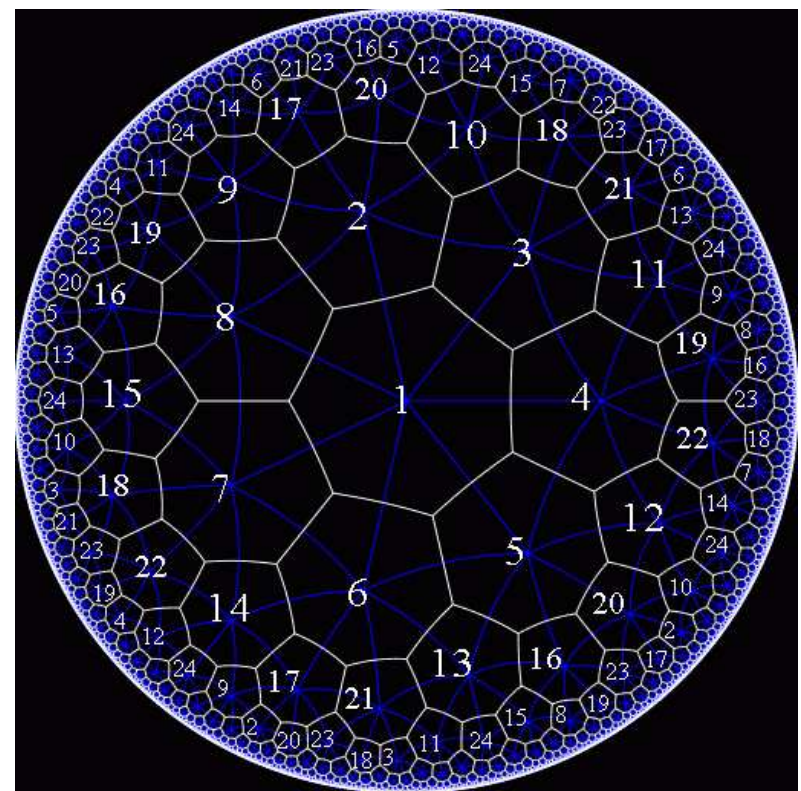


$$F_2 = \mathbf{H}^2 / \Gamma$$



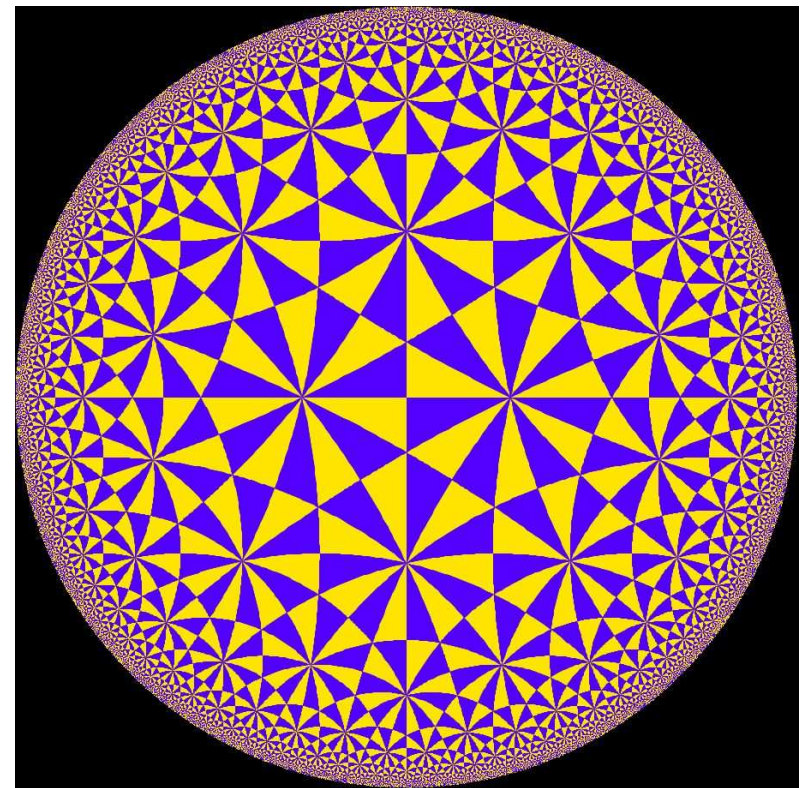
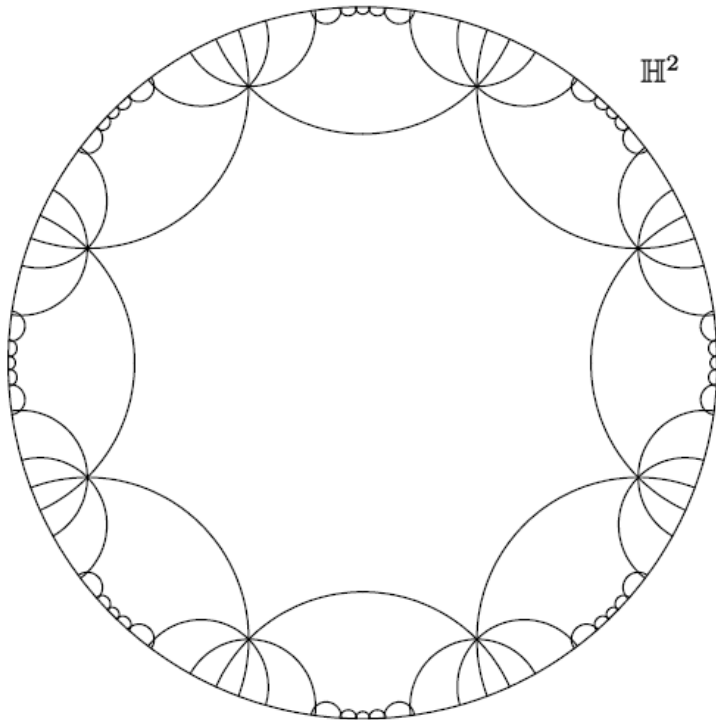
$$\frac{4(dx^2 + dy^2)}{(1-x^2-y^2)^2}$$

## *Enrajolaments del pla hiperbòlic*



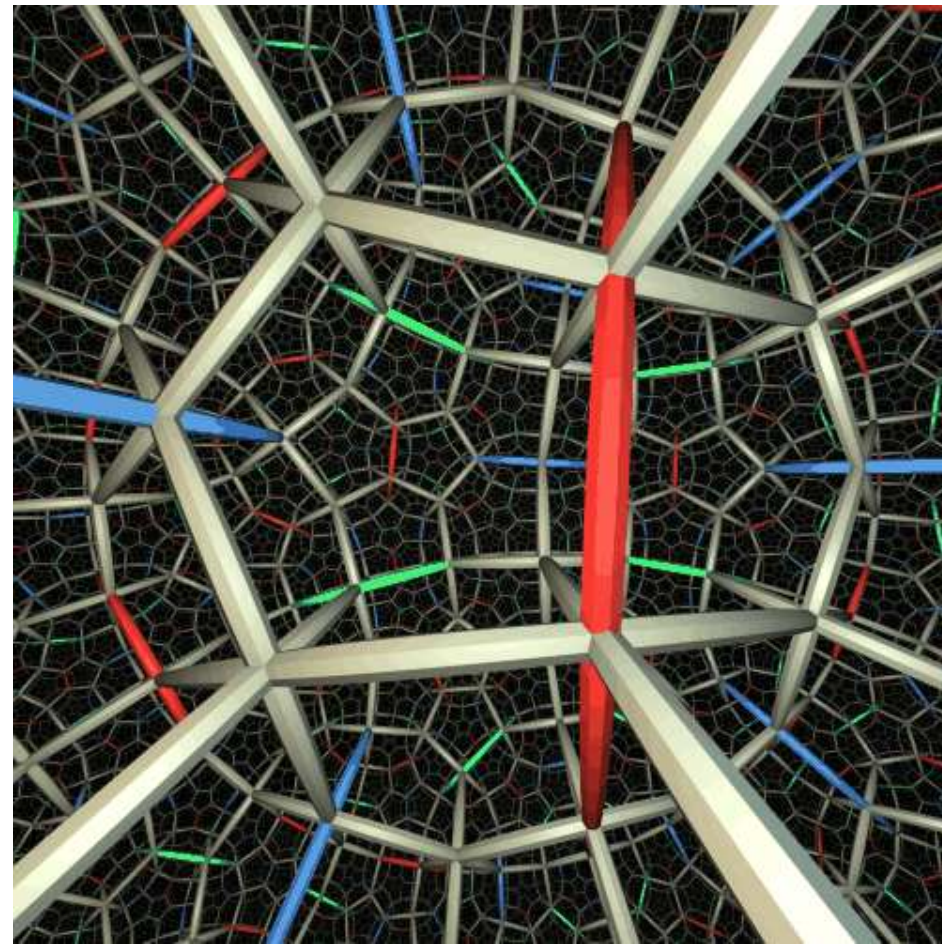
$$\frac{4(dx^2 + dy^2)}{(1 - x^2 - y^2)^2}$$

## *Enrajolaments del pla hiperbòlic*



$$\frac{4(dx^2 + dy^2)}{(1 - x^2 - y^2)^2}$$

## *Enrajolament de l'espai hiperbòlic*



Dodecàedres regulars d'angles dièdrics rectes.

## *Varietats de Riemann*



Bernhard Riemann(1826-1866)

## Varietats de Riemann

Conferència d'habilitació (10 de juny de 1854) a Göttingen.

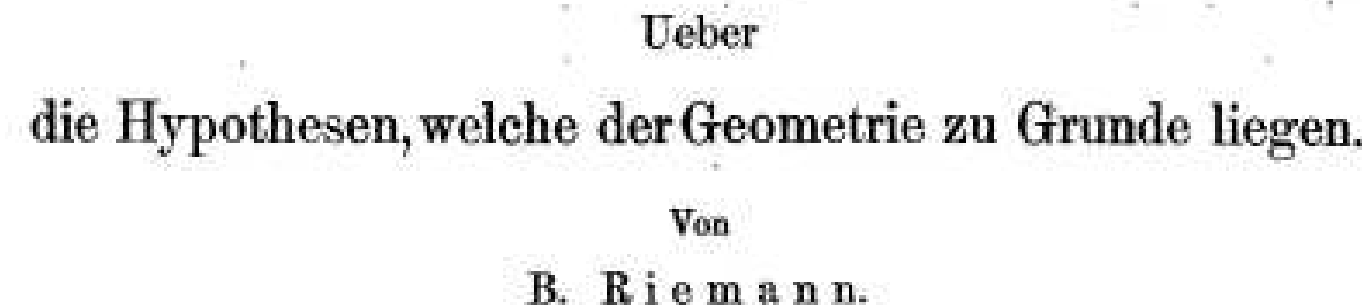
Ueber  
die Hypothesen, welche der Geometrie zu Grunde liegen.  
Von  
B. Riemann.

---

*Sobre les hipòtesis en que es fonamenta la geometria*

## Varietats de Riemann

Conferència d'habilitació (10 de juny de 1854) a Göttingen.

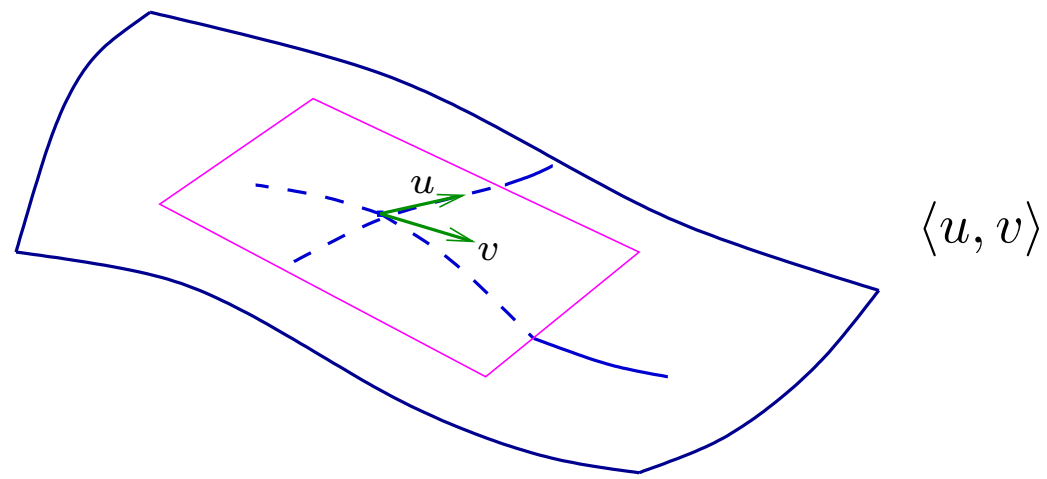


*Sobre les hipòtesis en que es fonamenta la geometria*

- Text fundacional de la geometria de Riemann
- Adreçat al claustre de la facultat de filosofia. On són els càlculs?
- Desenvolupament posterior del càlcul tensorial.
- Bàsic per la relativitat general.

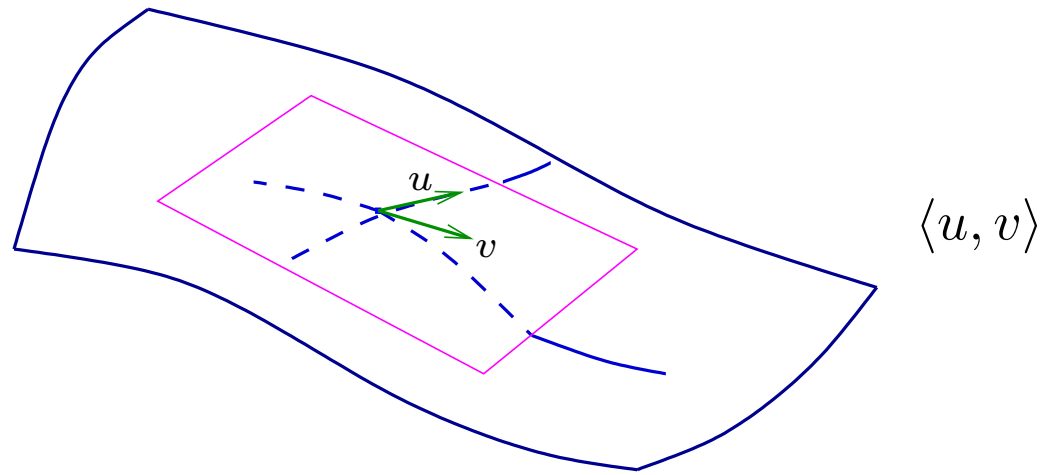
## Geometria de Riemann

En el tangent de cada punt, tenim un producte escalar.



## Geometria de Riemann

En el tangent de cada punt, tenim un producte escalar.



En coordenades  $(x^1, \dots, x^n)$ ,  $g_{ij}(x) = \langle \partial_i, \partial_j \rangle$   $\partial_i = \frac{\partial}{\partial x^i}$

$$u = \sum u^i \partial_i \quad v = \sum v^j \partial_j \quad \left\{ \langle u, v \rangle = \sum u^i g_{ij}(x) v^j = (u^1 \cdots u^n) \begin{pmatrix} g_{11}(x) & \cdots & g_{1n}(x) \\ \vdots & & \vdots \\ g_{n1}(x) & \cdots & g_{nn}(x) \end{pmatrix} \begin{pmatrix} v^1 \\ \vdots \\ v^n \end{pmatrix} \right.$$

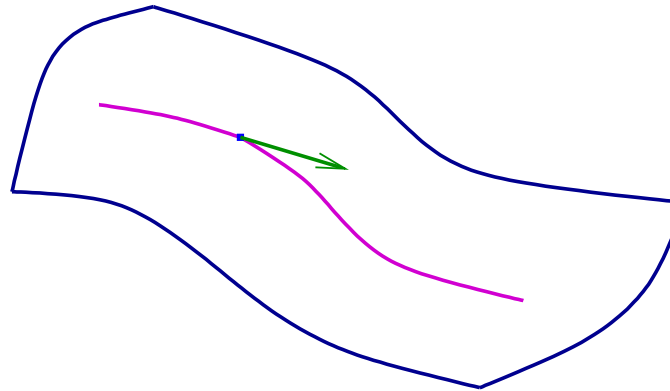
És un exemple de tensor

## Geometria de Riemann

$$\left. \begin{array}{l} u = \sum u^i \partial_i \\ v = \sum v^j \partial_j \end{array} \right\} \langle u, v \rangle = \sum u^i g_{ij}(x) v^j = (u^1 \cdots u^n) \begin{pmatrix} g_{11}(x) & \cdots & g_{1n}(x) \\ \vdots & & \vdots \\ g_{n1}(x) & \cdots & g_{nn}(x) \end{pmatrix} \begin{pmatrix} v^1 \\ \vdots \\ v^n \end{pmatrix}$$

Longitud de corbes  $\gamma(t) = (x_1(t), \dots, x_n(t))$ ,  $a \leq t \leq b$

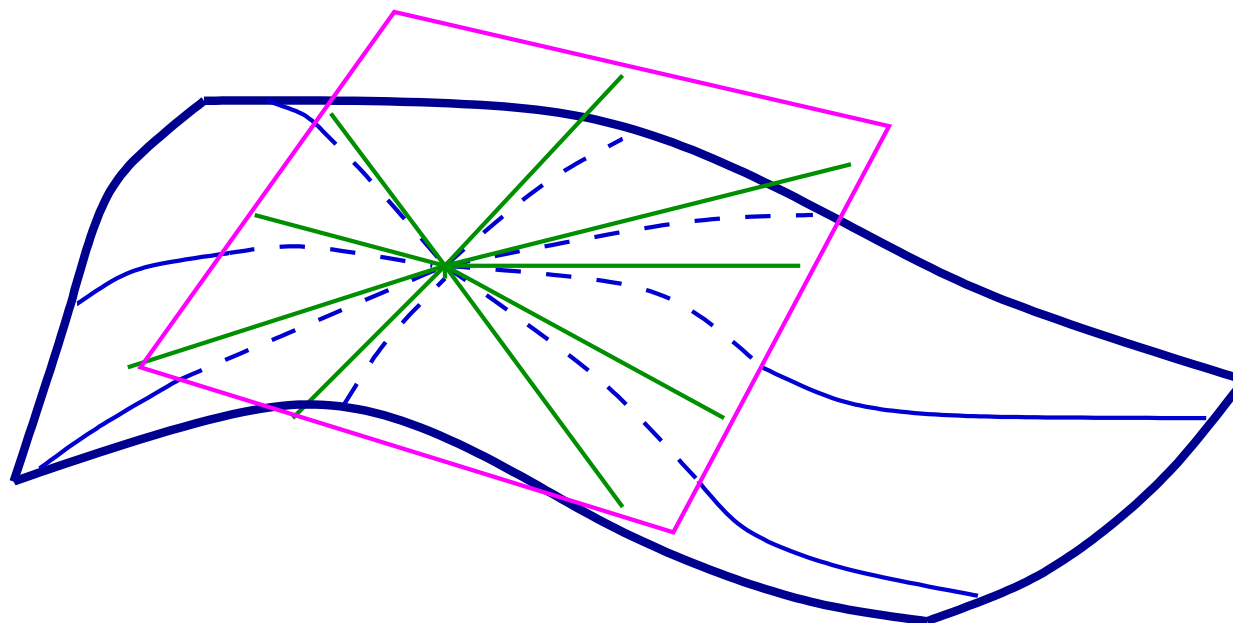
$$L = \int_a^b |\gamma'(t)| dt = \int_a^b \sqrt{\sum_{ij} x'_i(t) g_{ij}(\gamma(t)) x'_j(t)} dt$$



## Com Riemann descobreix la curvatura

Comença escollint unes bones coordenades pels càlculs

- Coordenades geodèsiques o normals



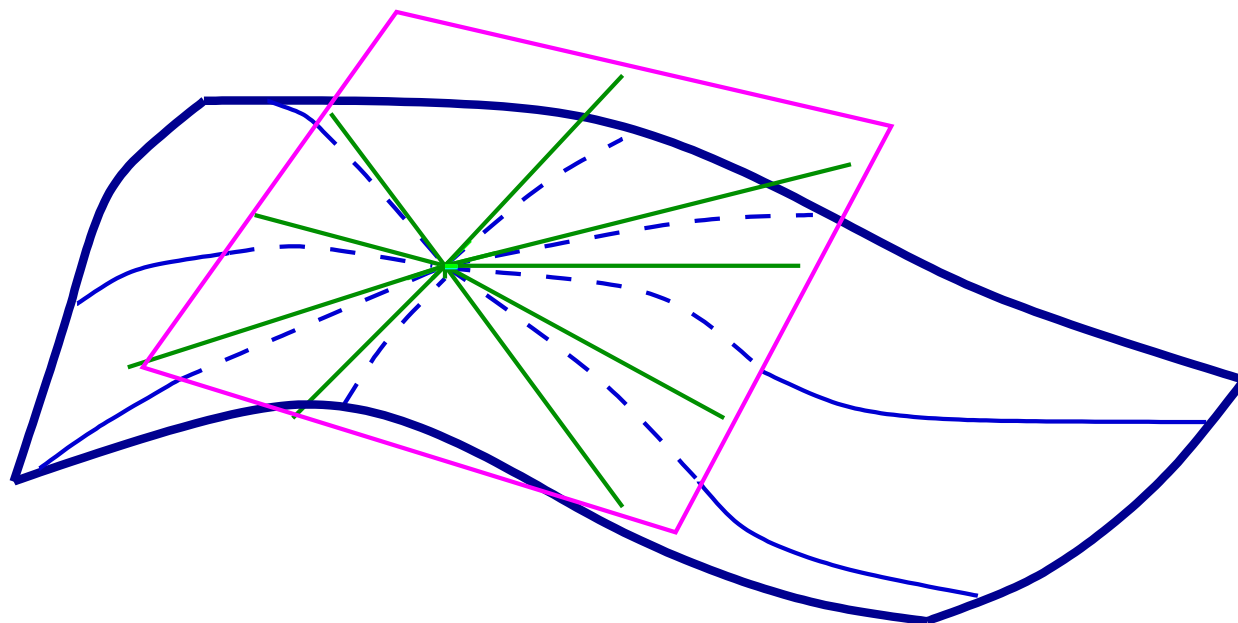
L'aplicació exponencial geodèsica identifica

- rectes radials que surten de l'origen, al tangent,
- amb geodèsiques (minimitzants) que surten del punt, a la varietat.

## Com Riemann descobreix la curvatura

Comença escollint unes bones coordenades pels càlculs

- Coordenades geodèsiques o normals



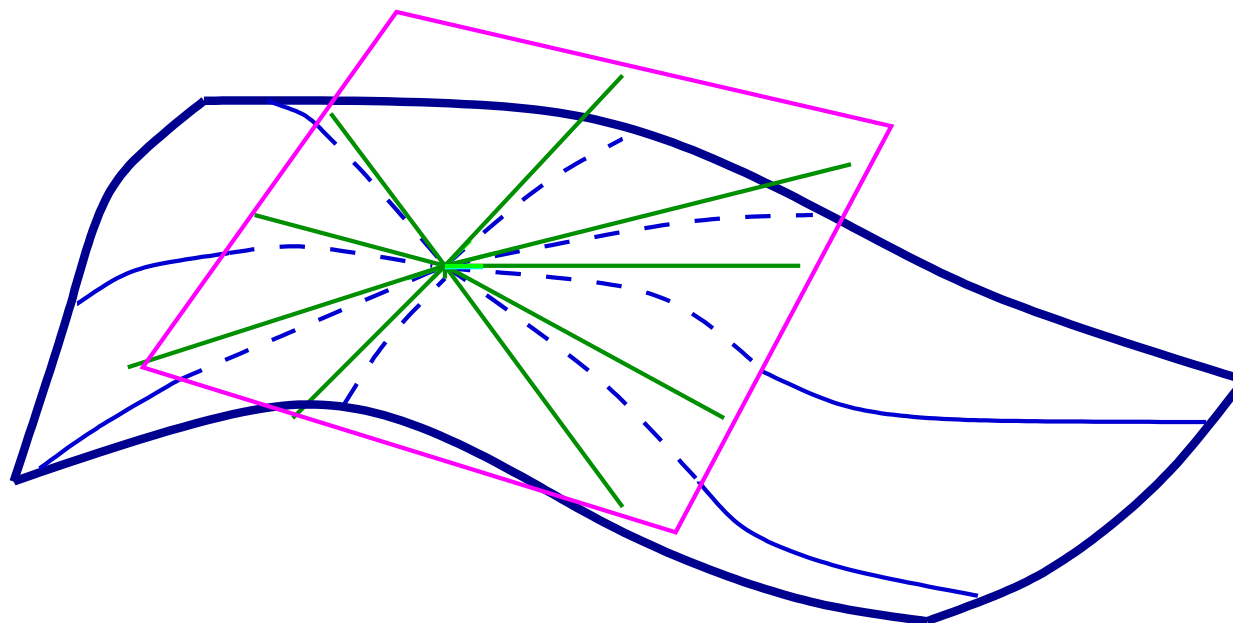
L'aplicació exponencial geodèsica identifica

- rectes radials que surten de l'origen, al tangent,
- amb geodèsiques (minimitzants) que surten del punt, a la varietat.

## Com Riemann descobreix la curvatura

Comença escollint unes bones coordenades pels càlculs

- Coordenades geodèsiques o normals



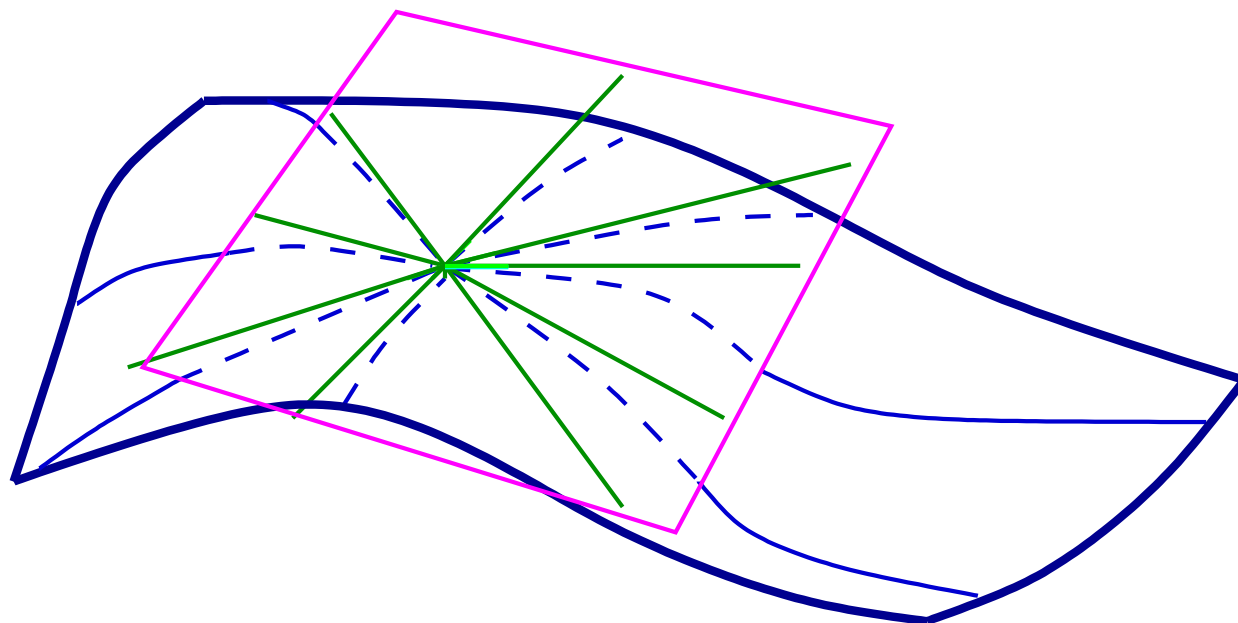
L'aplicació exponencial geodèsica identifica

- rectes radials que surten de l'origen, al tangent,
- amb geodèsiques (minimitzants) que surten del punt, a la varietat.

## Com Riemann descobreix la curvatura

Comença escollint unes bones coordenades pels càlculs

- Coordenades geodèsiques o normals



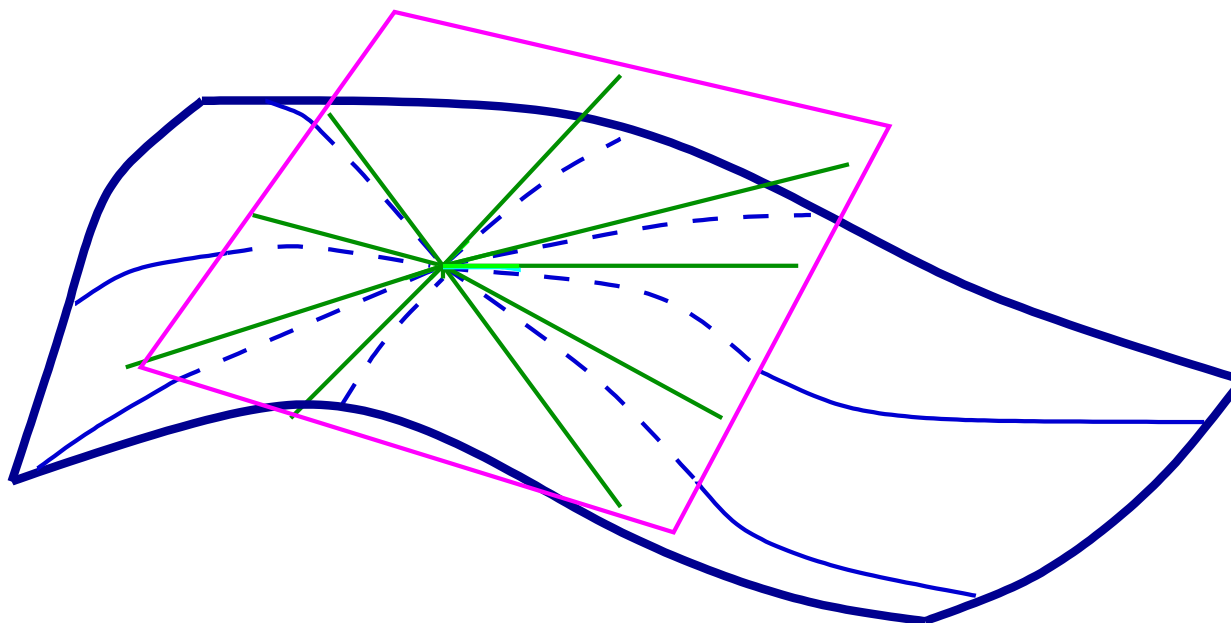
L'aplicació exponencial geodèsica identifica

- rectes radials que surten de l'origen, al tangent,
- amb geodèsiques (minimitzants) que surten del punt, a la varietat.

## Com Riemann descobreix la curvatura

Comença escollint unes bones coordenades pels càlculs

- Coordenades geodèsiques o normals



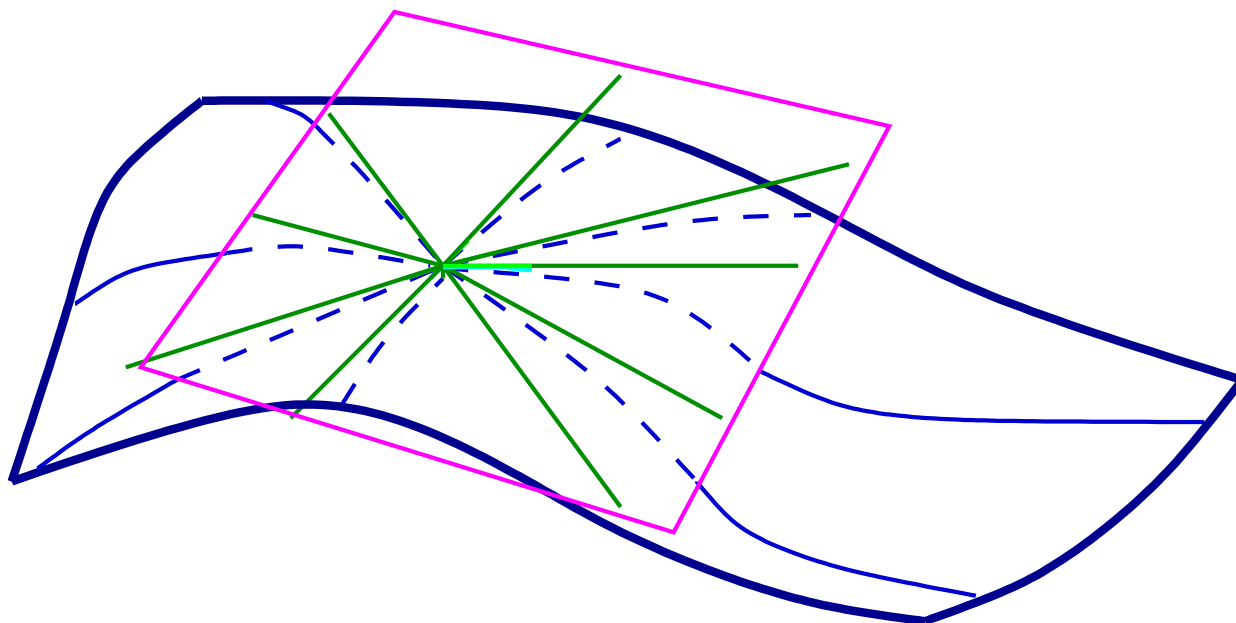
L'aplicació exponencial geodèsica identifica

- rectes radials que surten de l'origen, al tangent,
- amb geodèsiques (minimitzants) que surten del punt, a la varietat.

## Com Riemann descobreix la curvatura

Comença escollint unes bones coordenades pels càlculs

- Coordenades geodèsiques o normals



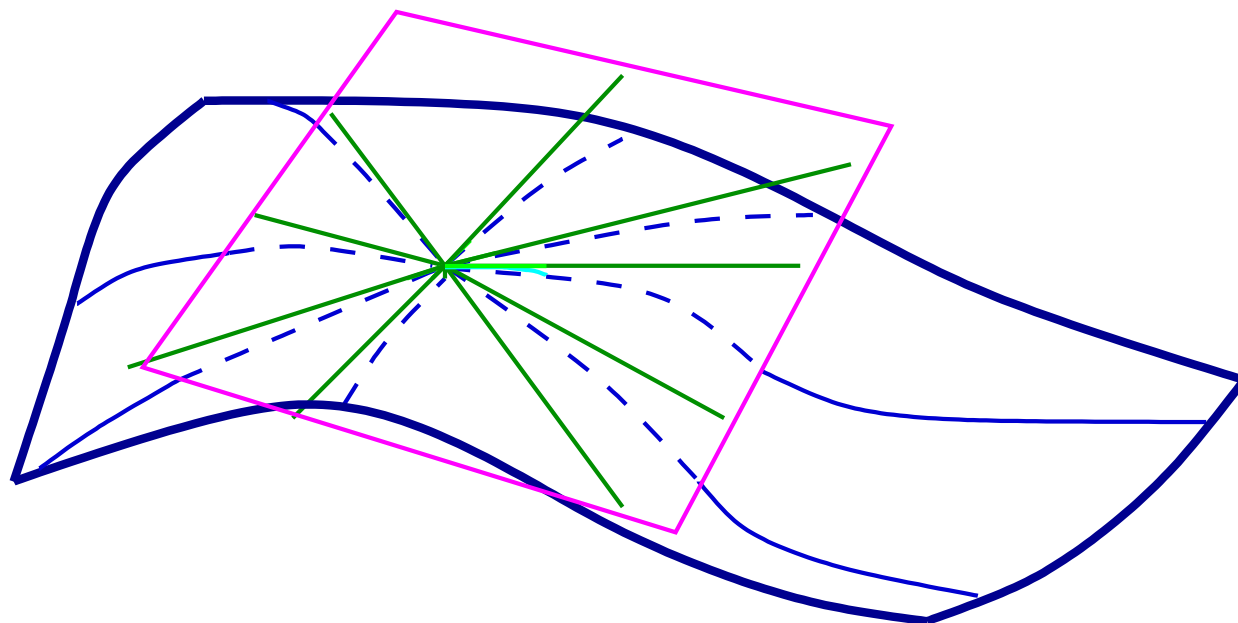
L'aplicació exponencial geodèsica identifica

- rectes radials que surten de l'origen, al tangent,
- amb geodèsiques (minimitzants) que surten del punt, a la varietat.

## Com Riemann descobreix la curvatura

Comença escollint unes bones coordenades pels càlculs

- Coordenades geodèsiques o normals



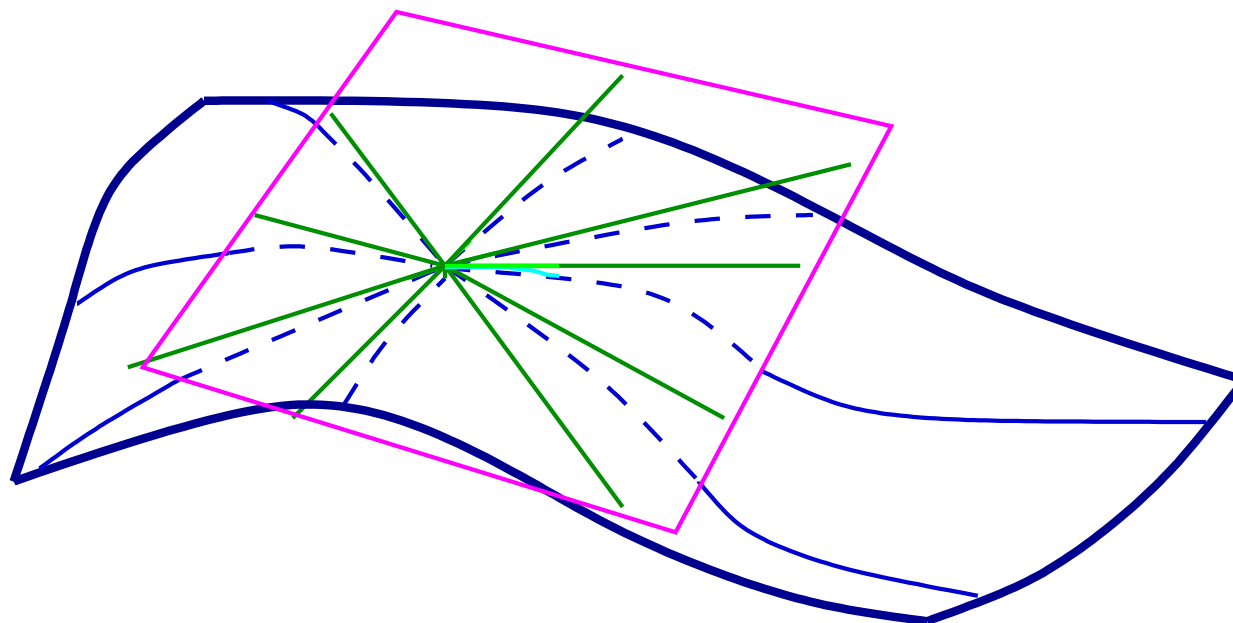
L'aplicació exponencial geodèsica identifica

- rectes radials que surten de l'origen, al tangent,
- amb geodèsiques (minimitzants) que surten del punt, a la varietat.

## Com Riemann descobreix la curvatura

Comença escollint unes bones coordenades pels càlculs

- Coordenades geodèsiques o normals



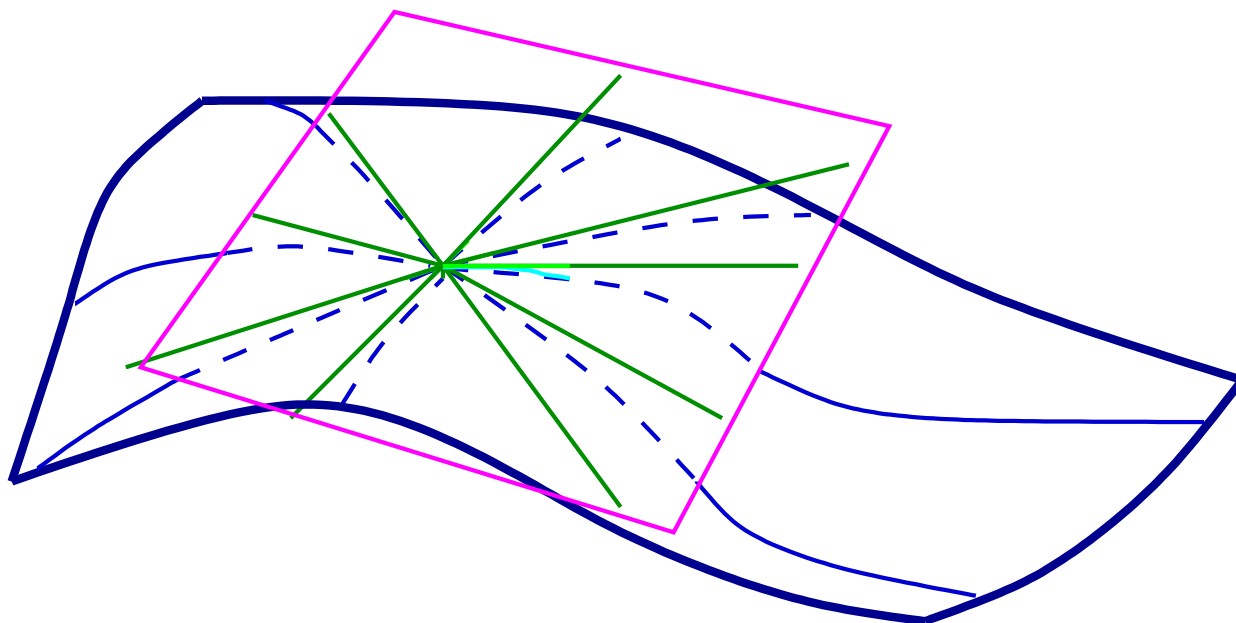
L'aplicació exponencial geodèsica identifica

- rectes radials que surten de l'origen, al tangent,
- amb geodèsiques (minimitzants) que surten del punt, a la varietat.

## Com Riemann descobreix la curvatura

Comença escollint unes bones coordenades pels càlculs

- Coordenades geodèsiques o normals



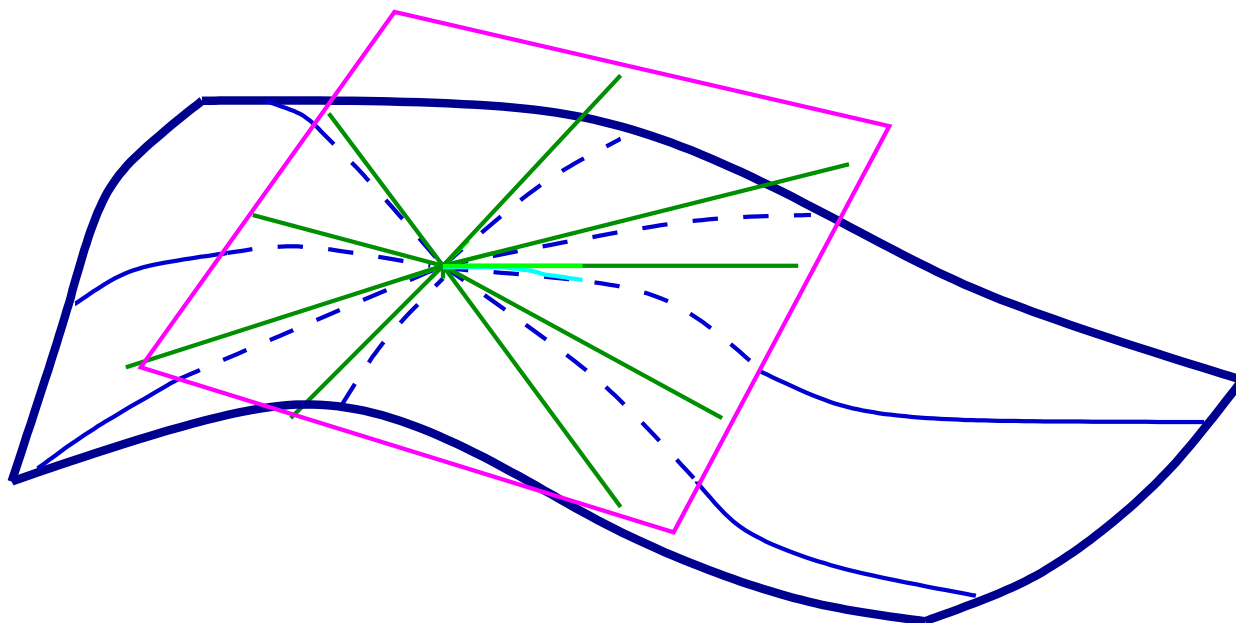
L'aplicació exponencial geodèsica identifica

- rectes radials que surten de l'origen, al tangent,
- amb geodèsiques (minimitzants) que surten del punt, a la varietat.

## Com Riemann descobreix la curvatura

Comença escollint unes bones coordenades pels càlculs

- Coordenades geodèsiques o normals



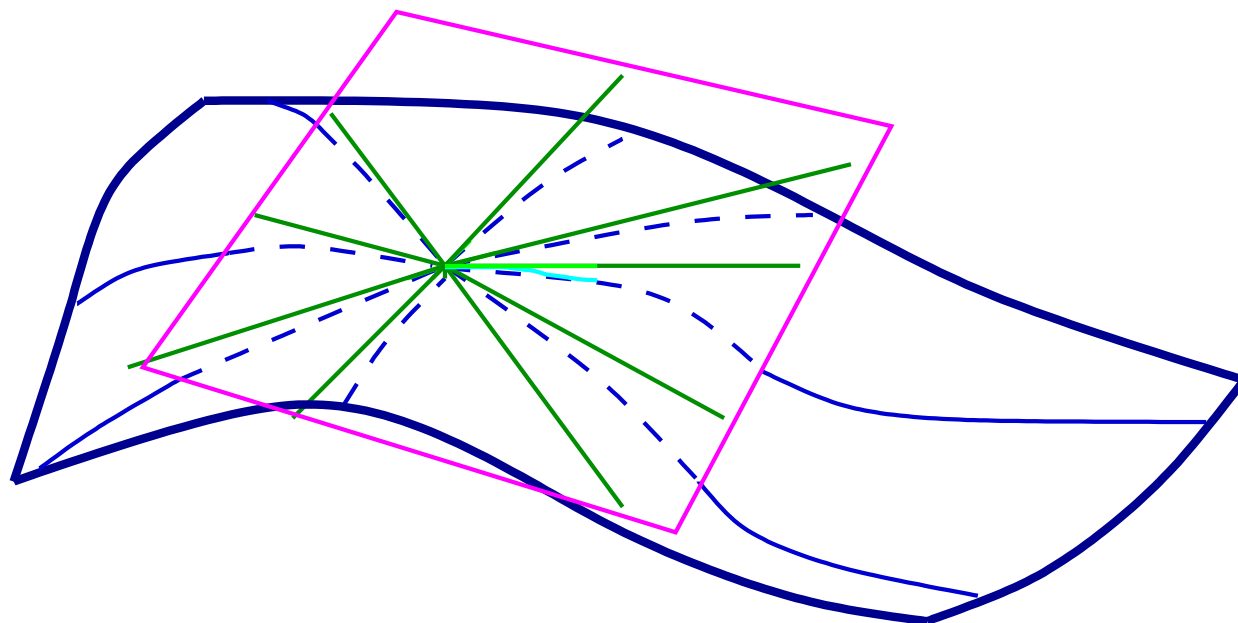
L'aplicació exponencial geodèsica identifica

- rectes radials que surten de l'origen, al tangent,
- amb geodèsiques (minimitzants) que surten del punt, a la varietat.

## Com Riemann descobreix la curvatura

Comença escollint unes bones coordenades pels càlculs

- Coordenades geodèsiques o normals



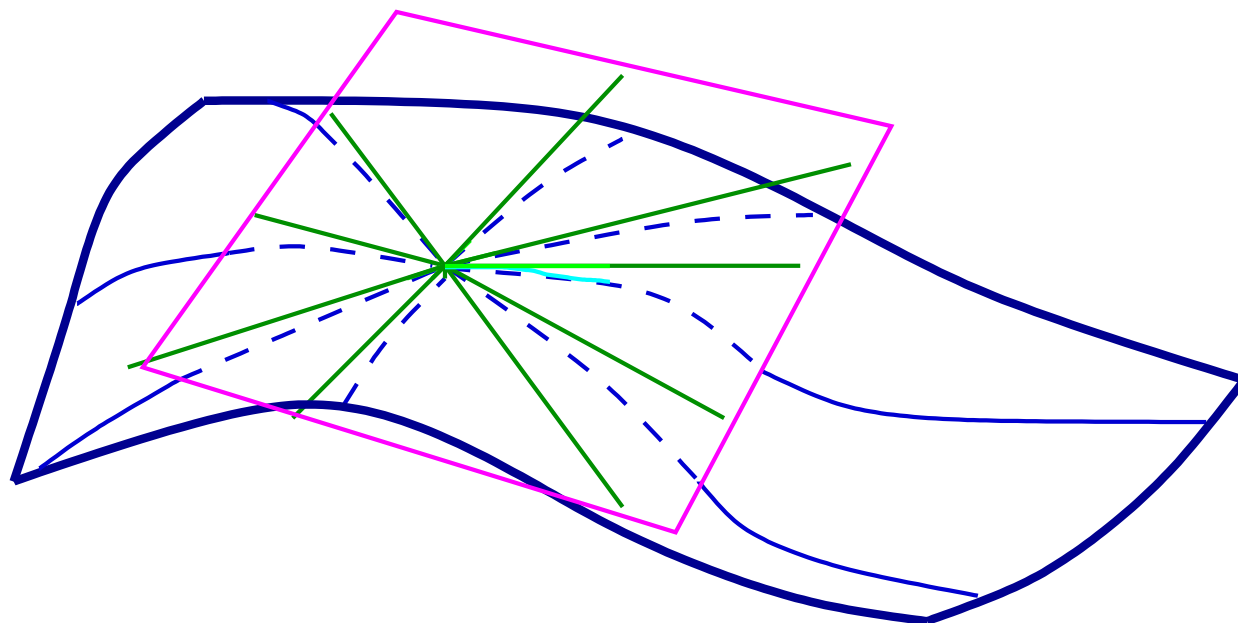
L'aplicació exponencial geodèsica identifica

- rectes radials que surten de l'origen, al tangent,
- amb geodèsiques (minimitzants) que surten del punt, a la varietat.

## Com Riemann descobreix la curvatura

Comença escollint unes bones coordenades pels càlculs

- Coordenades geodèsiques o normals



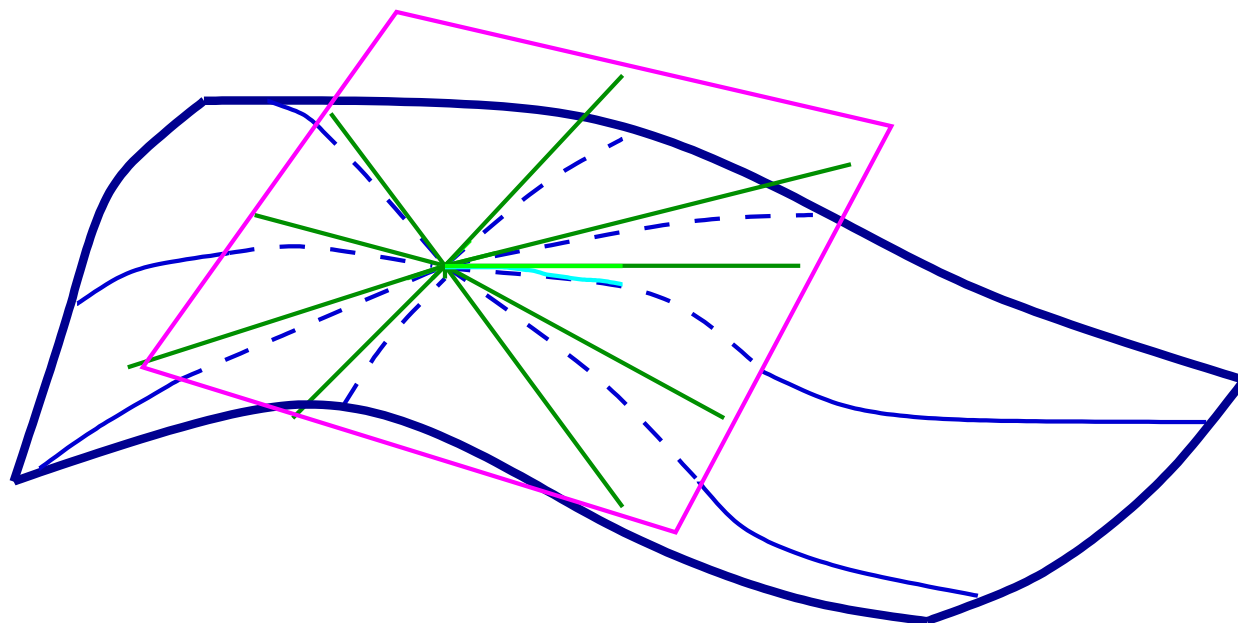
L'aplicació exponencial geodèsica identifica

- rectes radials que surten de l'origen, al tangent,
- amb geodèsiques (minimitzants) que surten del punt, a la varietat.

## Com Riemann descobreix la curvatura

Comença escollint unes bones coordenades pels càlculs

- Coordenades geodèsiques o normals



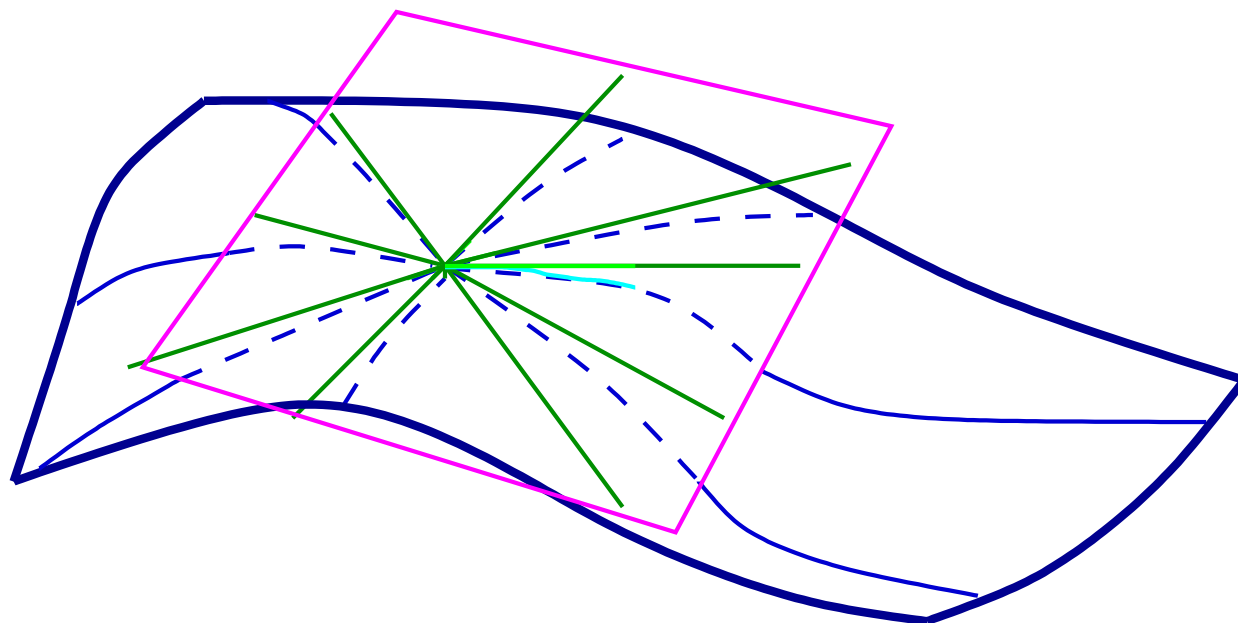
L'aplicació exponencial geodèsica identifica

- rectes radials que surten de l'origen, al tangent,
- amb geodèsiques (minimitzants) que surten del punt, a la varietat.

## Com Riemann descobreix la curvatura

Comença escollint unes bones coordenades pels càlculs

- Coordenades geodèsiques o normals



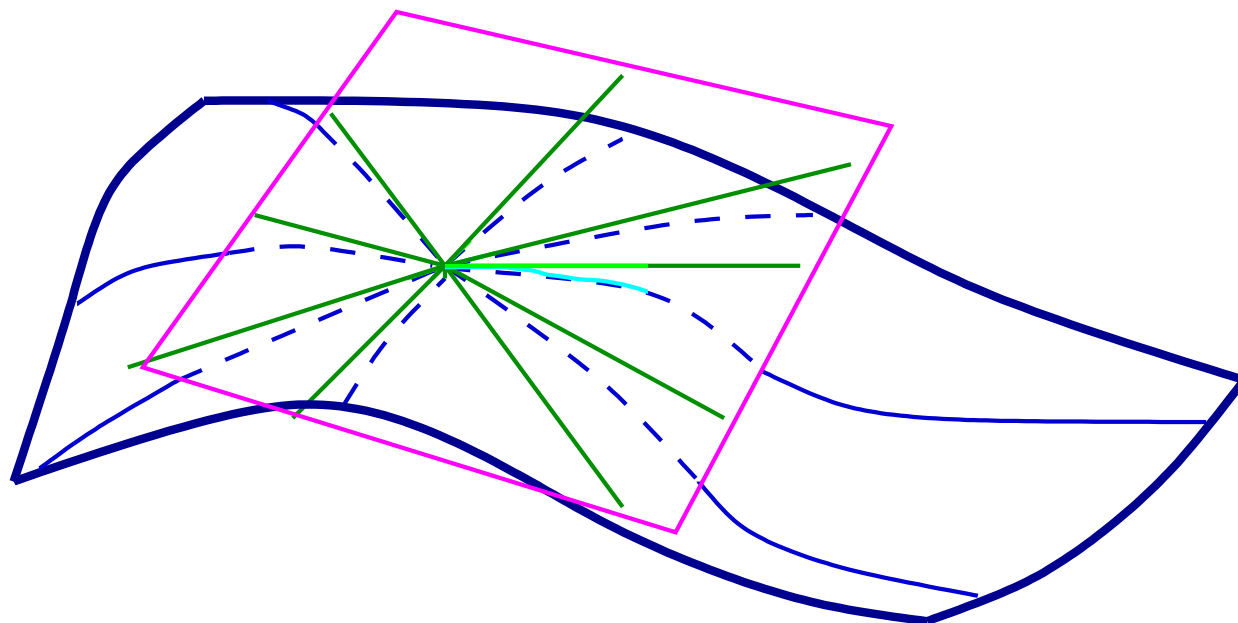
L'aplicació exponencial geodèsica identifica

- rectes radials que surten de l'origen, al tangent,
- amb geodèsiques (minimitzants) que surten del punt, a la varietat.

## Com Riemann descobreix la curvatura

Comença escollint unes bones coordenades pels càlculs

- Coordenades geodèsiques o normals



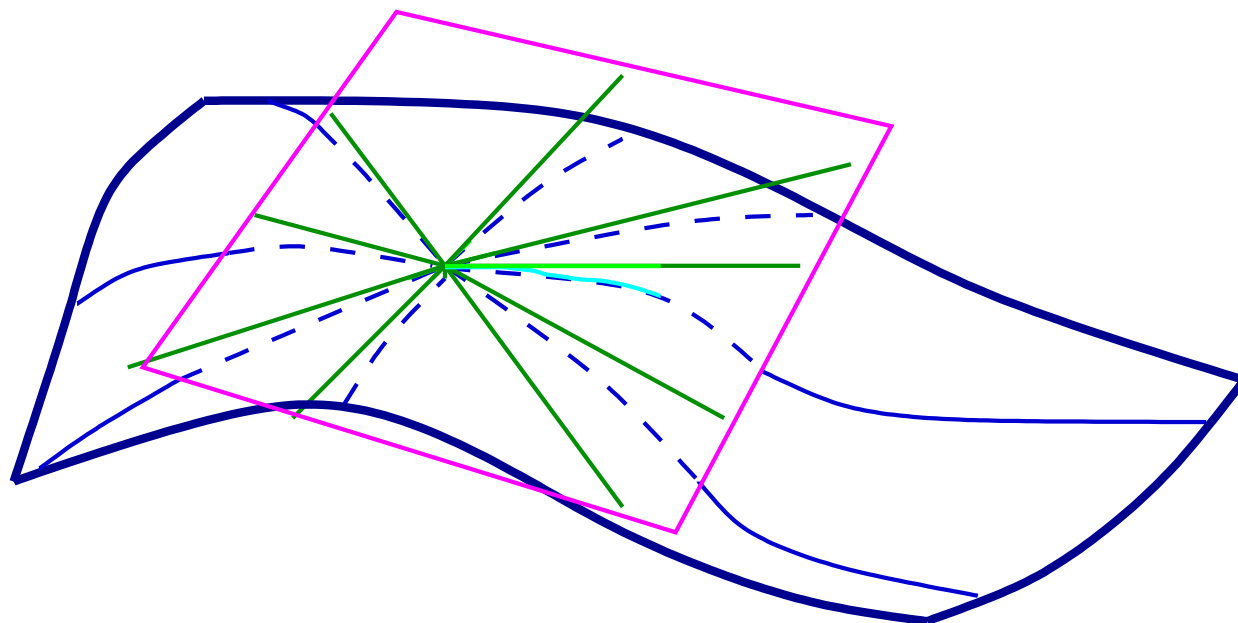
L'aplicació exponencial geodèsica identifica

- rectes radials que surten de l'origen, al tangent,
- amb geodèsiques (minimitzants) que surten del punt, a la varietat.

## Com Riemann descobreix la curvatura

Comença escollint unes bones coordenades pels càlculs

- Coordenades geodèsiques o normals



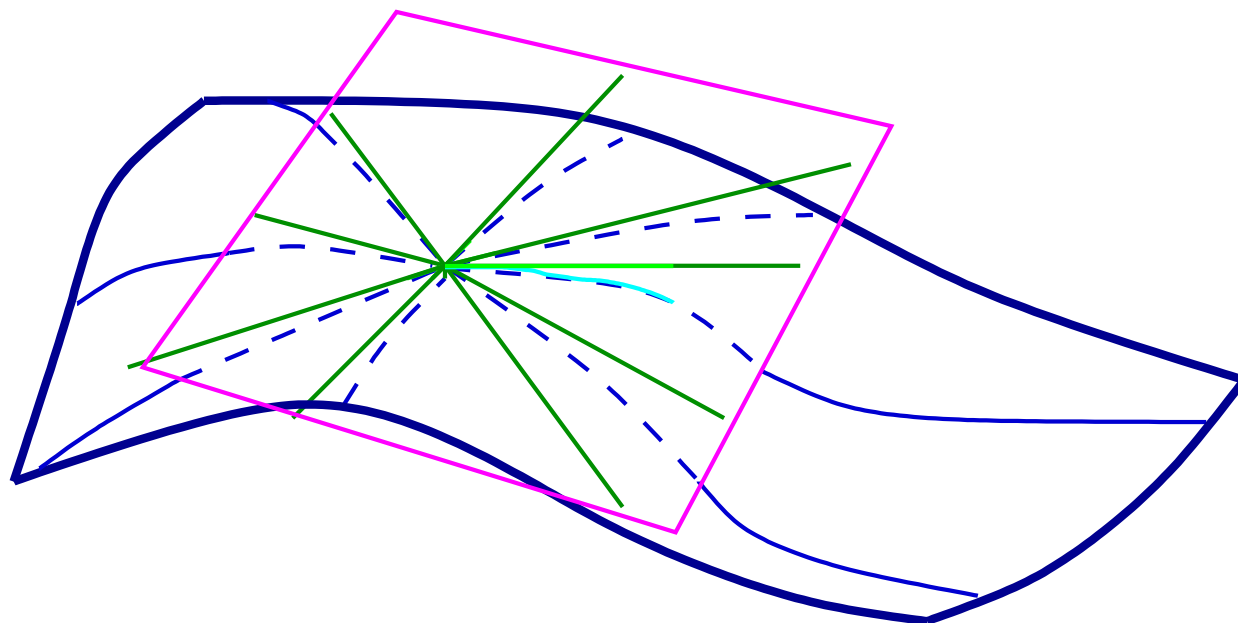
L'aplicació exponencial geodèsica identifica

- rectes radials que surten de l'origen, al tangent,
- amb geodèsiques (minimitzants) que surten del punt, a la varietat.

## Com Riemann descobreix la curvatura

Comença escollint unes bones coordenades pels càlculs

- Coordenades geodèsiques o normals



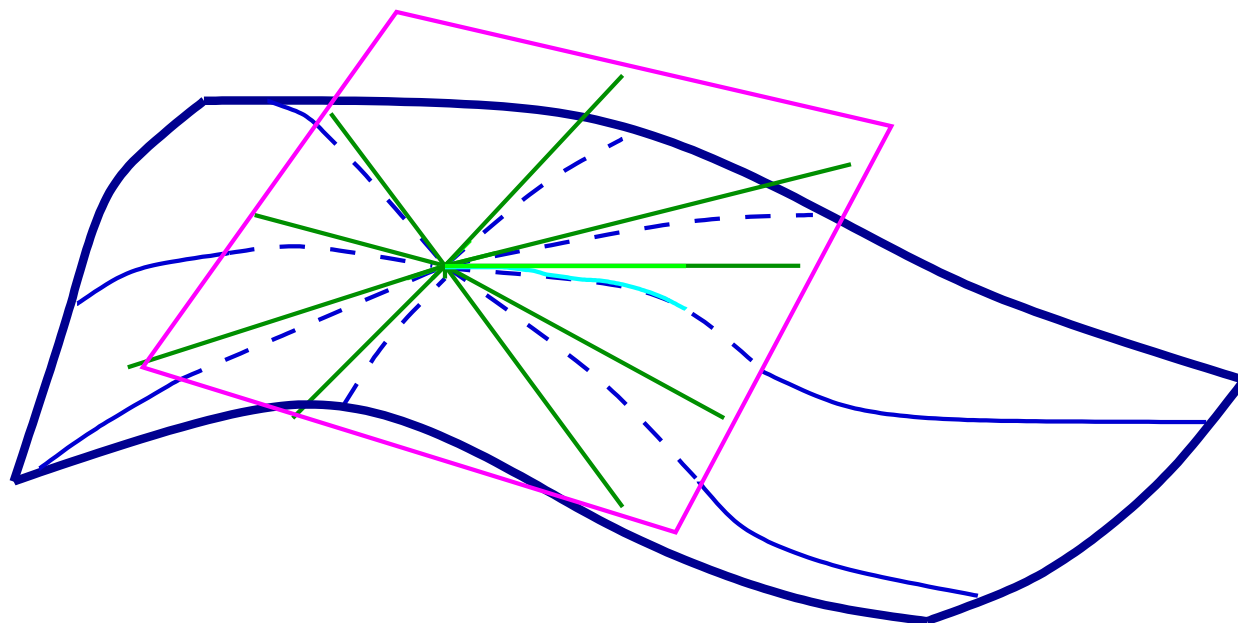
L'aplicació exponencial geodèsica identifica

- rectes radials que surten de l'origen, al tangent,
- amb geodèsiques (minimitzants) que surten del punt, a la varietat.

## Com Riemann descobreix la curvatura

Comença escollint unes bones coordenades pels càlculs

- Coordenades geodèsiques o normals



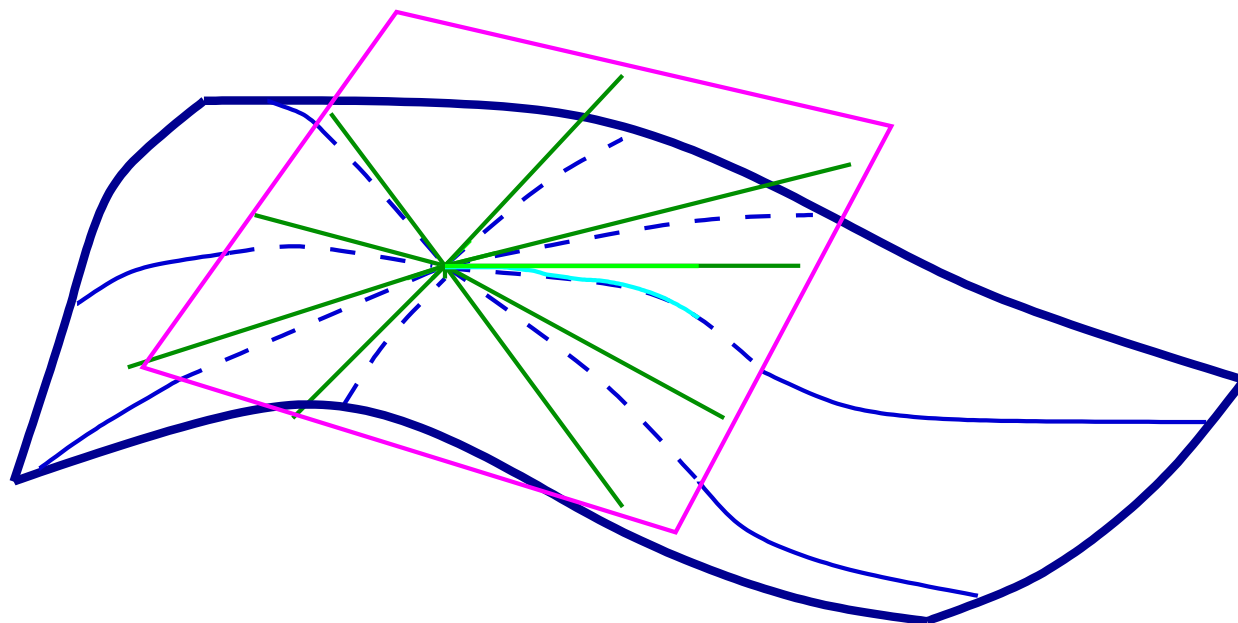
L'aplicació exponencial geodèsica identifica

- rectes radials que surten de l'origen, al tangent,
- amb geodèsiques (minimitzants) que surten del punt, a la varietat.

## Com Riemann descobreix la curvatura

Comença escollint unes bones coordenades pels càlculs

- Coordenades geodèsiques o normals



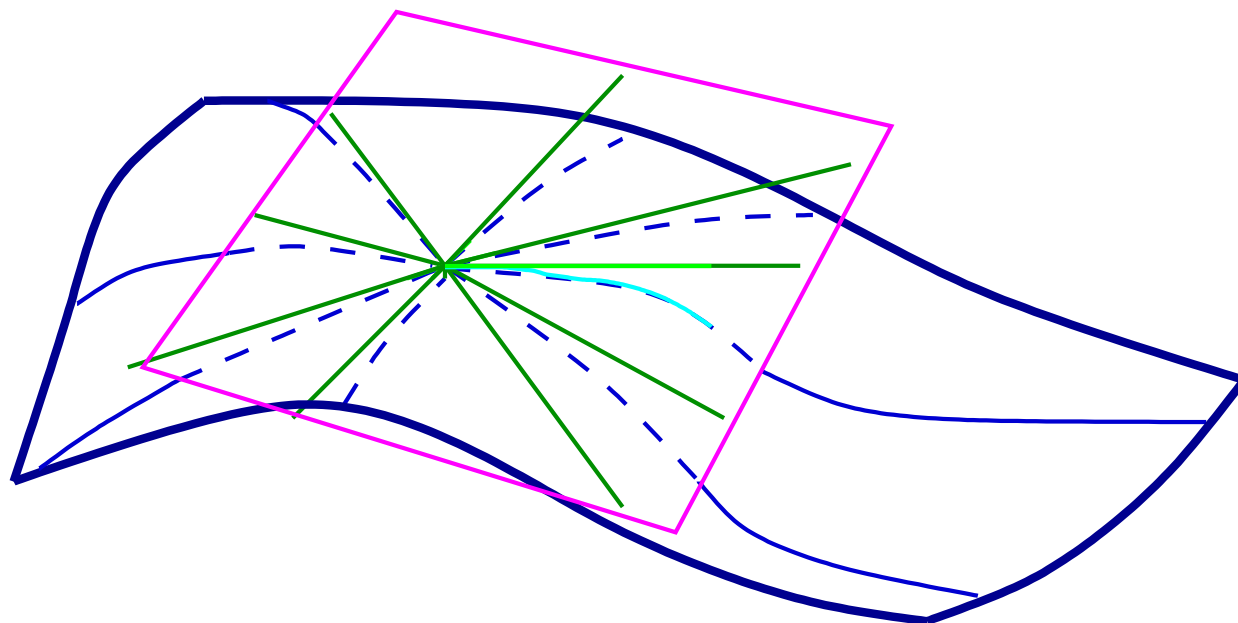
L'aplicació exponencial geodèsica identifica

- rectes radials que surten de l'origen, al tangent,
- amb geodèsiques (minimitzants) que surten del punt, a la varietat.

## Com Riemann descobreix la curvatura

Comença escollint unes bones coordenades pels càlculs

- Coordenades geodèsiques o normals



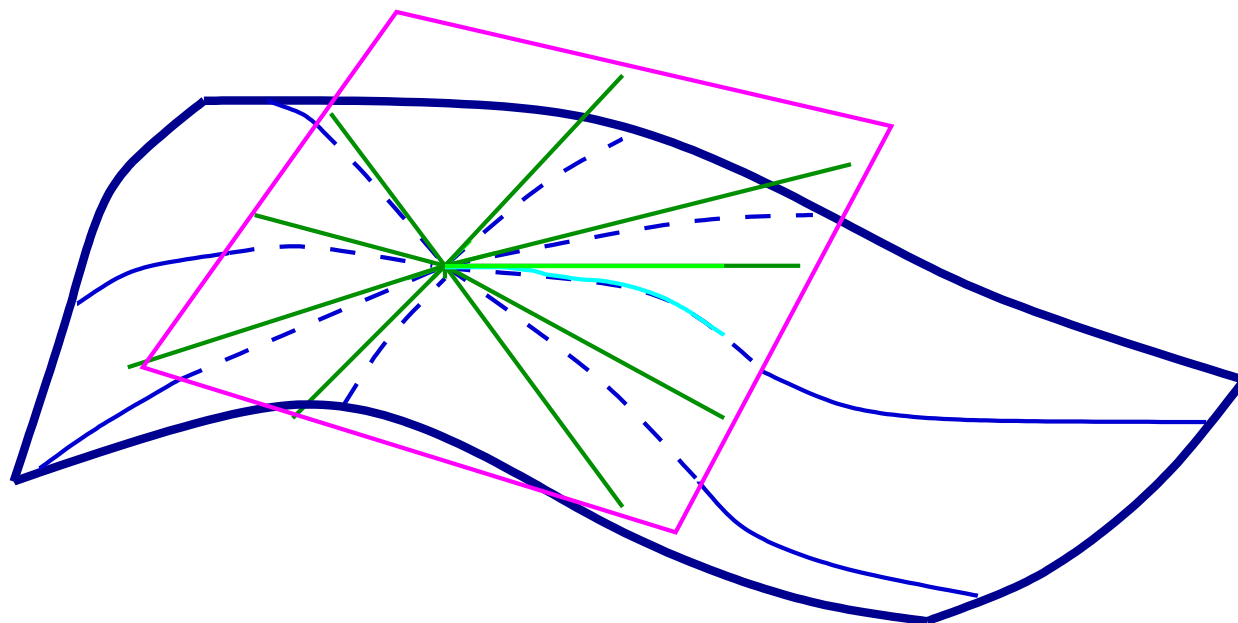
L'aplicació exponencial geodèsica identifica

- rectes radials que surten de l'origen, al tangent,
- amb geodèsiques (minimitzants) que surten del punt, a la varietat.

## Com Riemann descobreix la curvatura

Comença escollint unes bones coordenades pels càlculs

- Coordenades geodèsiques o normals



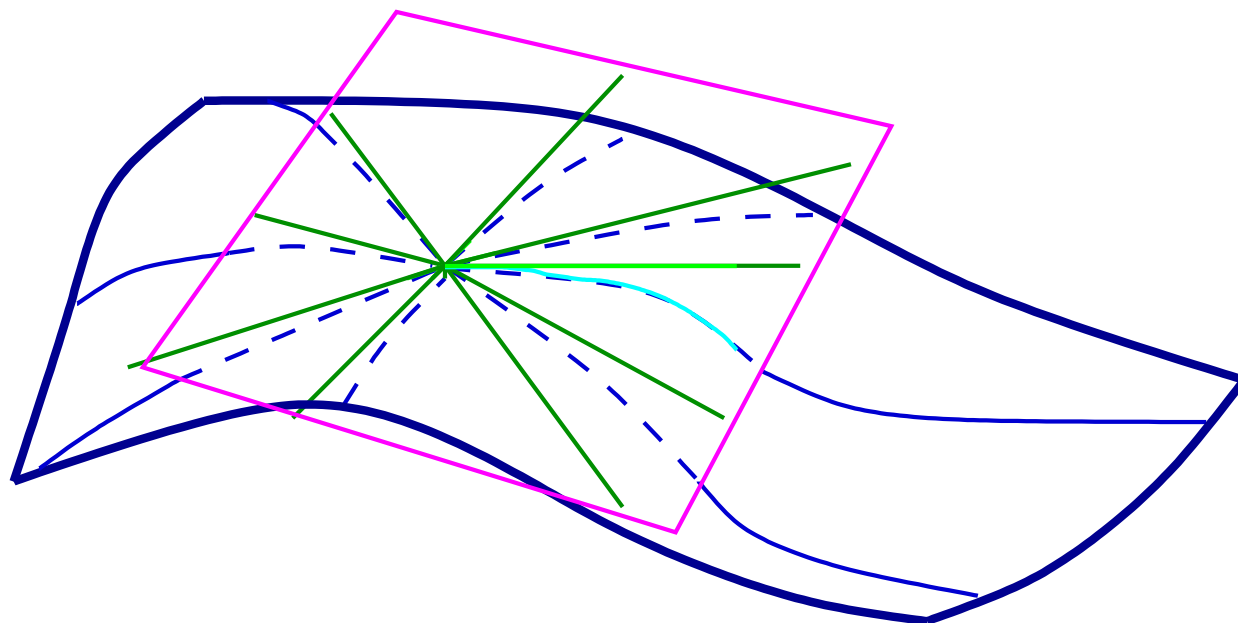
L'aplicació exponencial geodèsica identifica

- rectes radials que surten de l'origen, al tangent,
- amb geodèsiques (minimitzants) que surten del punt, a la varietat.

## Com Riemann descobreix la curvatura

Comença escollint unes bones coordenades pels càlculs

- Coordenades geodèsiques o normals



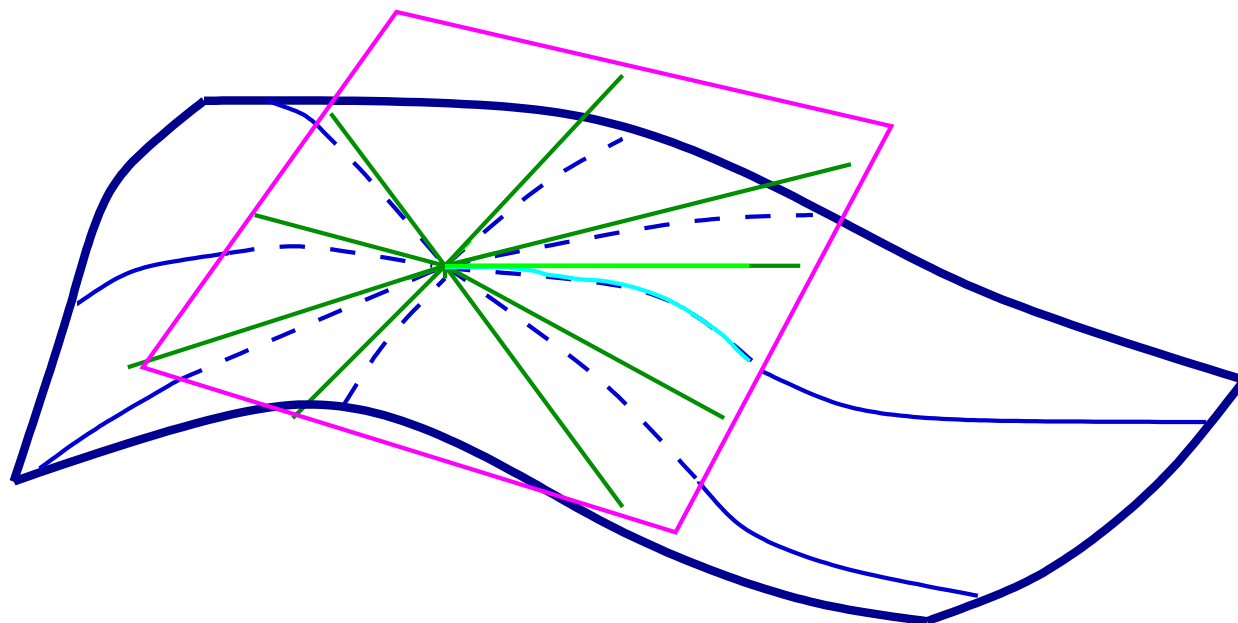
L'aplicació exponencial geodèsica identifica

- rectes radials que surten de l'origen, al tangent,
- amb geodèsiques (minimitzants) que surten del punt, a la varietat.

## Com Riemann descobreix la curvatura

Comença escollint unes bones coordenades pels càlculs

- Coordenades geodèsiques o normals



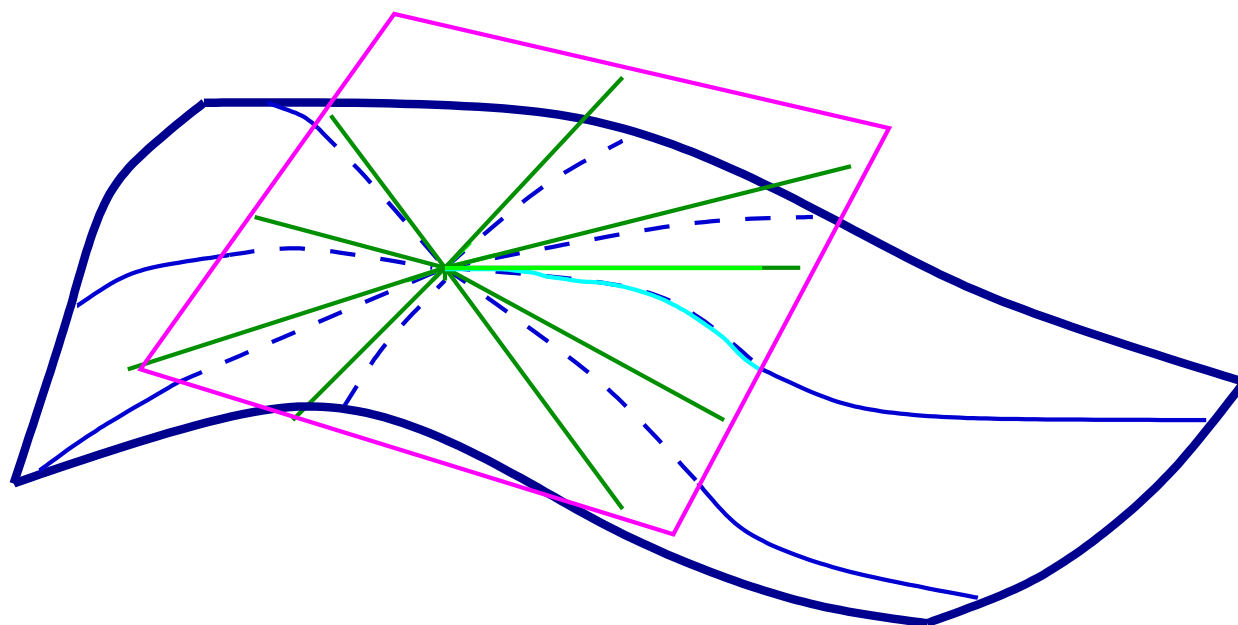
L'aplicació exponencial geodèsica identifica

- rectes radials que surten de l'origen, al tangent,
- amb geodèsiques (minimitzants) que surten del punt, a la varietat.

## Com Riemann descobreix la curvatura

Comença escollint unes bones coordenades pels càlculs

- Coordenades geodèsiques o normals



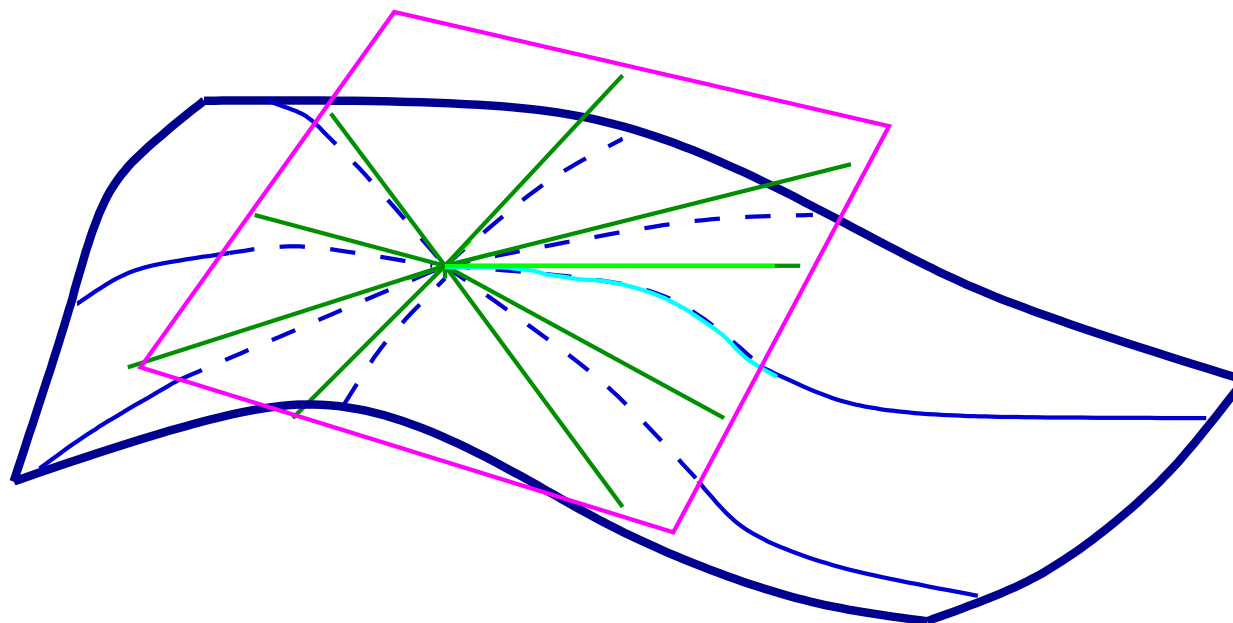
L'aplicació exponencial geodèsica identifica

- rectes radials que surten de l'origen, al tangent,
- amb geodèsiques (minimitzants) que surten del punt, a la varietat.

## Com Riemann descobreix la curvatura

Comença escollint unes bones coordenades pels càlculs

- Coordenades geodèsiques o normals



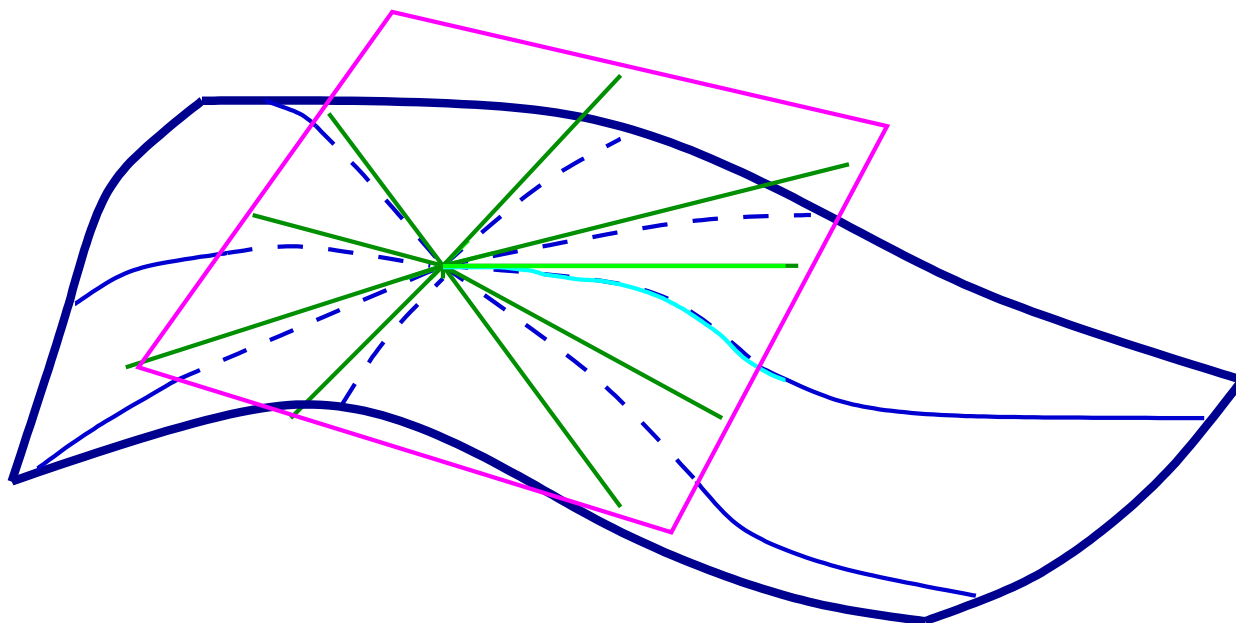
L'aplicació exponencial geodèsica identifica

- rectes radials que surten de l'origen, al tangent,
- amb geodèsiques (minimitzants) que surten del punt, a la varietat.

## Com Riemann descobreix la curvatura

Comença escollint unes bones coordenades pels càlculs

- Coordenades geodèsiques o normals



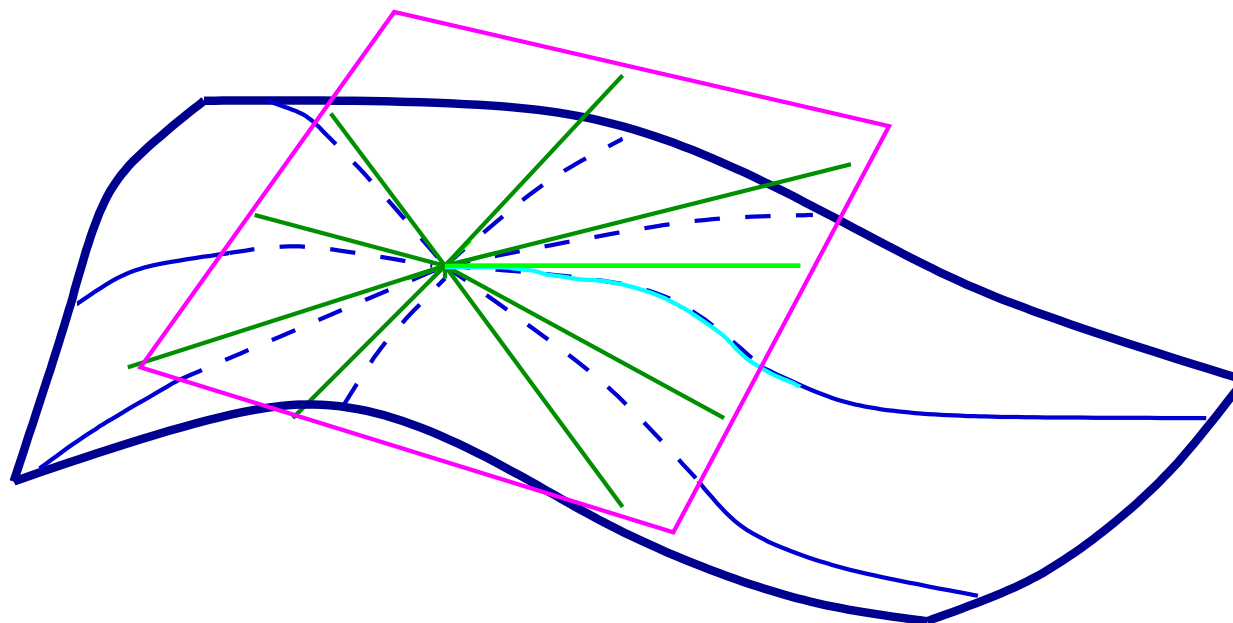
L'aplicació exponencial geodèsica identifica

- rectes radials que surten de l'origen, al tangent,
- amb geodèsiques (minimitzants) que surten del punt, a la varietat.

## Com Riemann descobreix la curvatura

Comença escollint unes bones coordenades pels càlculs

- Coordenades geodèsiques o normals



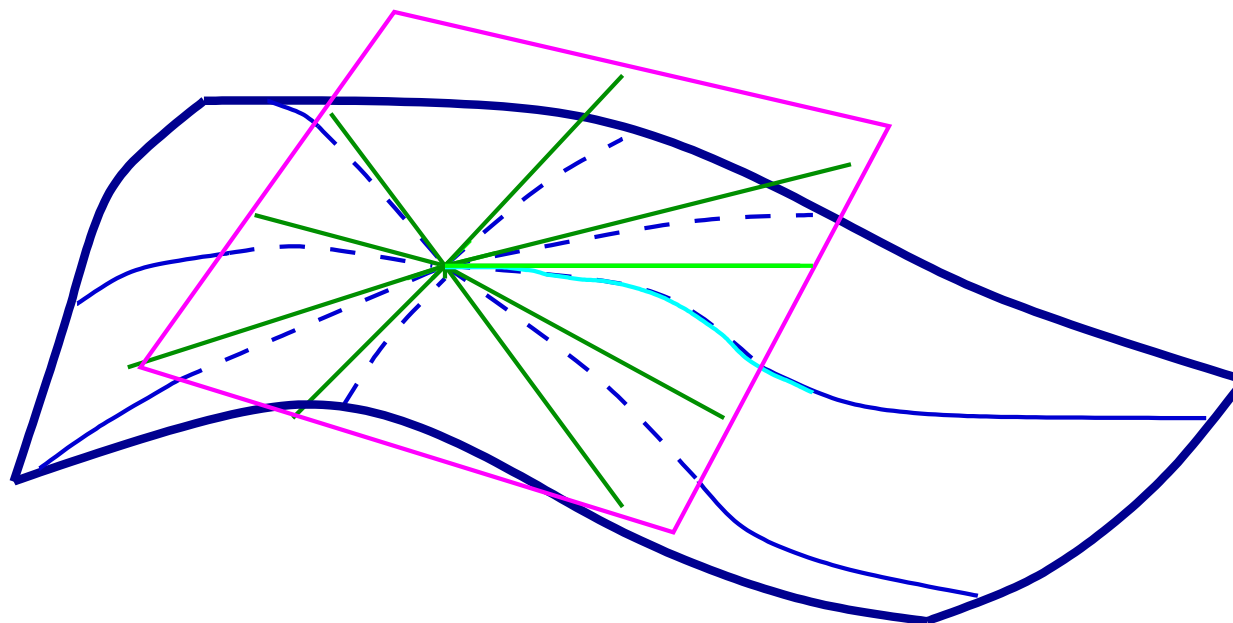
L'aplicació exponencial geodèsica identifica

- rectes radials que surten de l'origen, al tangent,
- amb geodèsiques (minimitzants) que surten del punt, a la varietat.

## Com Riemann descobreix la curvatura

Comença escollint unes bones coordenades pels càlculs

- Coordenades geodèsiques o normals



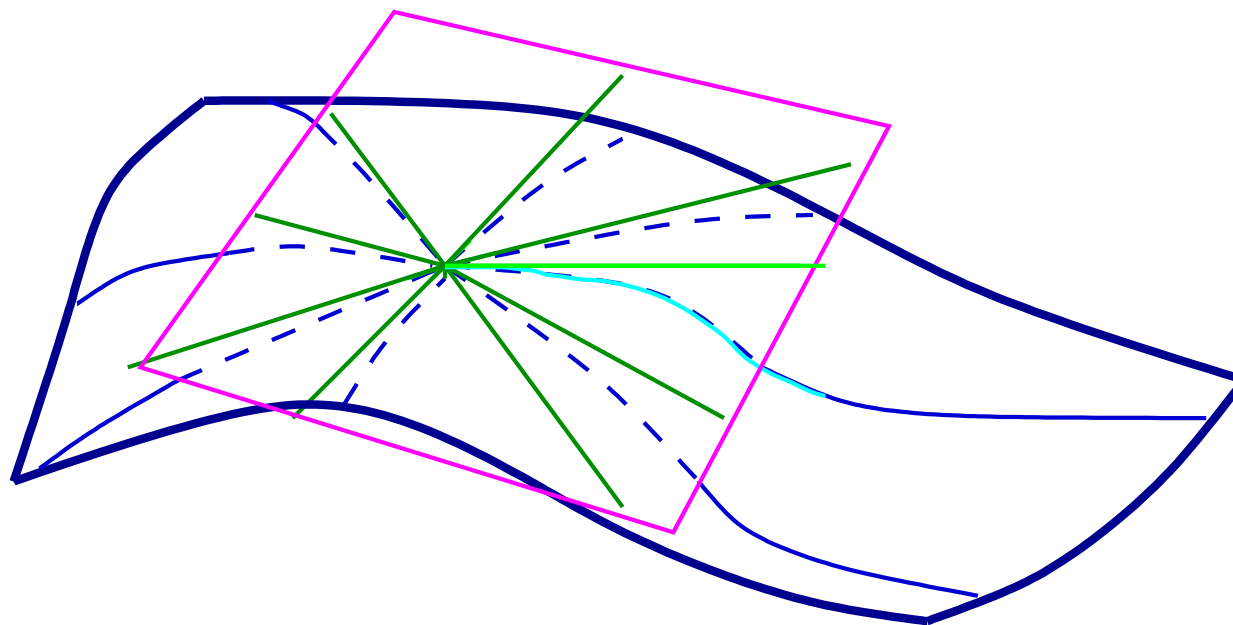
L'aplicació exponencial geodèsica identifica

- rectes radials que surten de l'origen, al tangent,
- amb geodèsiques (minimitzants) que surten del punt, a la varietat.

## Com Riemann descobreix la curvatura

Comença escollint unes bones coordenades pels càlculs

- Coordenades geodèsiques o normals



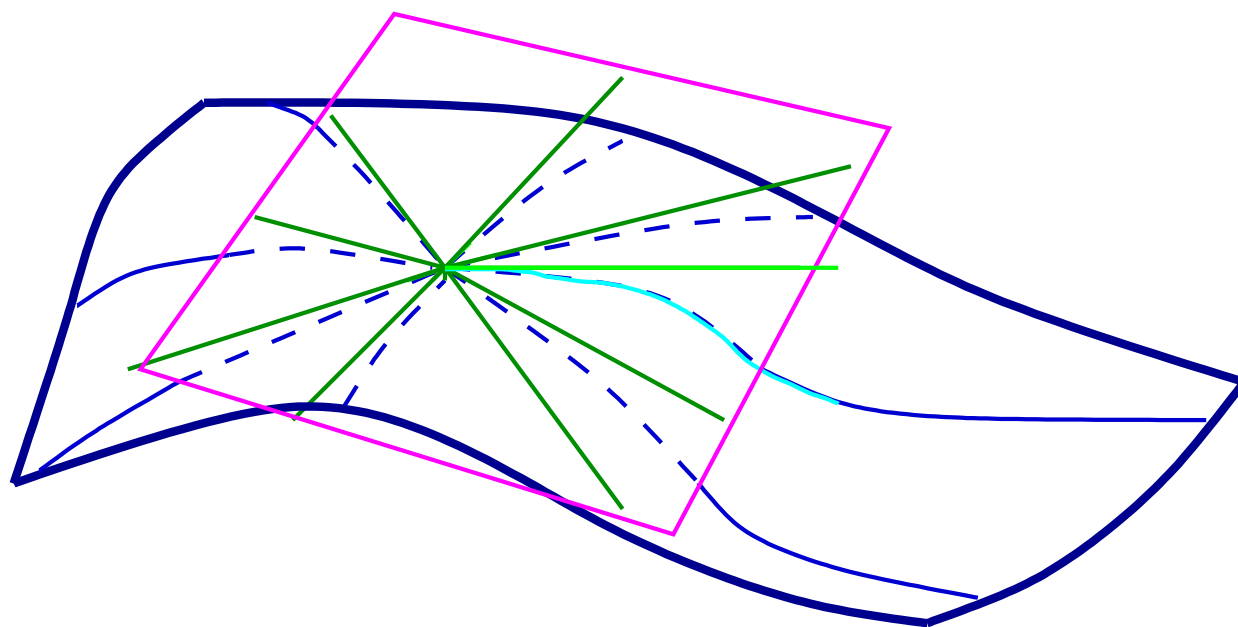
L'aplicació exponencial geodèsica identifica

- rectes radials que surten de l'origen, al tangent,
- amb geodèsiques (minimitzants) que surten del punt, a la varietat.

## Com Riemann descobreix la curvatura

Comença escollint unes bones coordenades pels càlculs

- Coordenades geodèsiques o normals



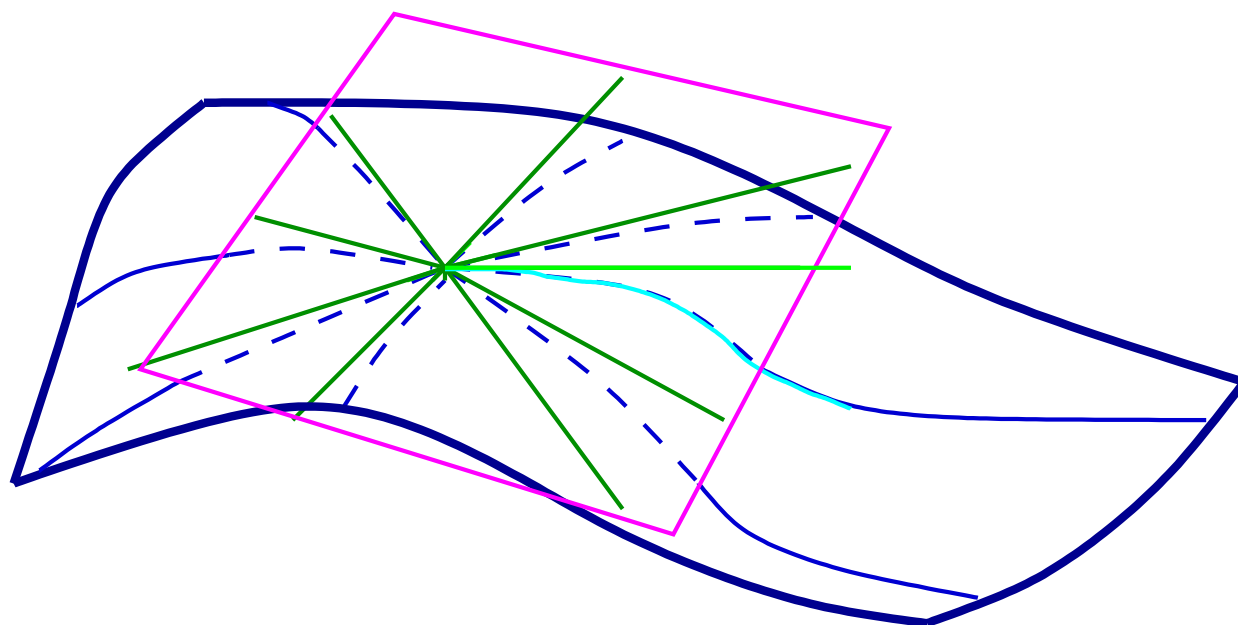
L'aplicació exponencial geodèsica identifica

- rectes radials que surten de l'origen, al tangent,
- amb geodèsiques (minimitzants) que surten del punt, a la varietat.

## Com Riemann descobreix la curvatura

Comença escollint unes bones coordenades pels càlculs

- Coordenades geodèsiques o normals

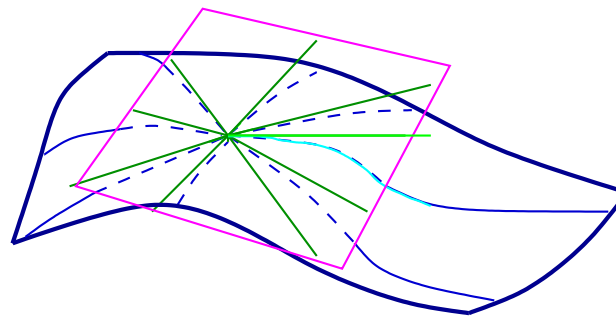


L'aplicació exponencial geodèsica identifica

- rectes radials que surten de l'origen, al tangent,
- amb geodèsiques (minimitzants) que surten del punt, a la varietat.

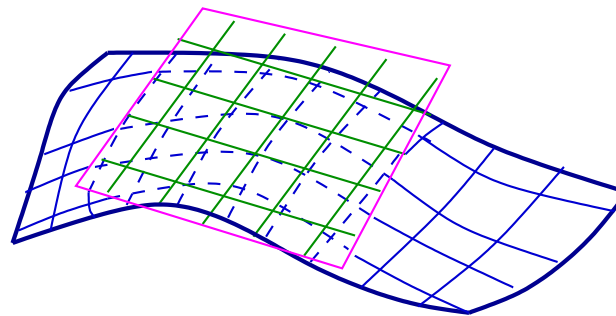
## Com Riemann descobreix la curvatura

- Coordenades geodèsiques o normals



L'aplicació exponencial geodèsica identifica

- rectes radials que surten de l'origen, al tangent,
- amb geodèsiques (minimitzants) que surten del punt, a la varietat.



Coordenades normals  $\longleftrightarrow$  coordenades rectilínies del tangent

## Com Riemann descobreix la curvatura

En coordenades geodèsiques Riemann troba:

$$g_{ij}(x) = \delta_{ij} + \frac{1}{3}R_{i\alpha\beta j}x^\alpha x^\beta + O(|x|^3)$$

- $R_{i\alpha\beta j} = -R_{i\alpha j\beta} = -R_{\alpha i\beta j} = R_{\beta j i\alpha}$
- $R_{i\alpha\beta j} + R_{i\beta j\alpha} + R_{ij\alpha\beta} = 0.$

## Com Riemann descobreix la curvatura

En coordenades geodèsiques Riemann troba:

$$g_{ij}(x) = \delta_{ij} + \frac{1}{3}R_{i\alpha\beta j}x^\alpha x^\beta + O(|x|^3)$$

- $R_{i\alpha\beta j} = -R_{i\alpha j\beta} = -R_{\alpha i\beta j} = R_{\beta j i\alpha}$
- $R_{i\alpha\beta j} + R_{i\beta j\alpha} + R_{ij\alpha\beta} = 0.$

- $R_{i\alpha\beta j}$  és el tensor de curvatura de Riemann  
Actualment es defineix mitjançant derivades covariants.
- I Riemann retroba la curvatura de Gauß  $K$  per superfícies:

$$K = R_{1212} = -R_{1221} = -R_{2112} = R_{2121}$$

## Altres curvatures

En coordenades geodèsiques

- Curvatura de Ricci  $R_{ij} = \sum_{\alpha\beta} R_{i\alpha\beta j}$
- Curvatura escalar  $R = \sum_{ij} R_{ij}$
- Curvatura seccional del pla  $x_3 = \dots = x_n = 0$ ,  $K = R_{1212}$ .

## Altres curvatures

En coordenades geodèsiques

- Curvatura de Ricci  $R_{ij} = \sum_{\alpha\beta} R_{i\alpha\beta j}$
- Curvatura escalar  $R = \sum_{ij} R_{ij}$
- Curvatura seccional del pla  $x_3 = \dots = x_n = 0$ ,  $K = R_{1212}$ .
- “Ricci és el Hessià del volum”

$$d\text{vol} = \sqrt{\det(g_{ij})_{ij}} dx^1 \wedge \dots \wedge dx^n$$

$$d\text{vol}(x) = \left( 1 - \frac{1}{6} \sum_{ij} R_{ij} x^i x^j + O(|x|^3) \right) dx^1 \wedge \dots \wedge dx^n.$$

## Altres curvatures

En coordenades geodèsiques

- Curvatura de Ricci  $R_{ij} = \sum_{\alpha\beta} R_{i\alpha\beta j}$
- Curvatura escalar  $R = \sum_{ij} R_{ij}$
- Curvatura seccional del pla  $x_3 = \dots = x_n = 0$ ,  $K = R_{1212}$ .
- “Ricci és el Hessià del volum”

$$d\text{vol} = \sqrt{\det(g_{ij})_{ij}} dx^1 \wedge \dots \wedge dx^n$$

$$d\text{vol}(x) = \left( 1 - \frac{1}{6} \sum_{ij} R_{ij} x^i x^j + O(|x|^3) \right) dx^1 \wedge \dots \wedge dx^n.$$

Equació d'Einstein:  $R_{ij} - \frac{1}{2} R g_{ij} = T_{ij}$

## ***Curvatura de Ricci***

En coordenades geodèsiques

- $R_{ij} = R_{ji} = \sum_{\alpha\beta} R_{i\alpha\beta j}$

## **Curvatura de Ricci**

En coordenades geodèsiques

- $R_{ij} = R_{ji} = \sum_{\alpha\beta} R_{i\alpha\beta j}$
- Com a forma quadràtica, pot ser definida positiva  $R_{ij} > 0$ .

## Curvatura de Ricci

En coordenades geodèsiques

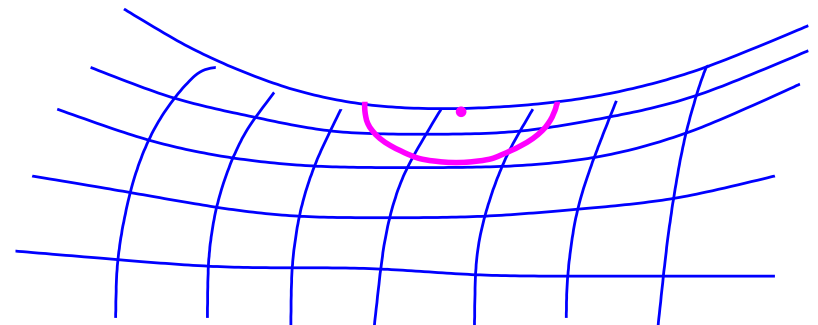
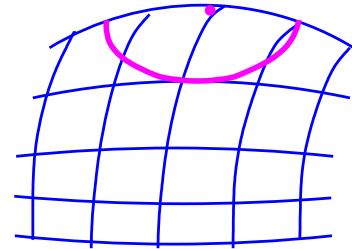
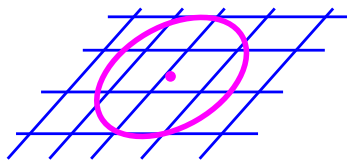
- $R_{ij} = R_{ji} = \sum_{\alpha\beta} R_{i\alpha\beta j}$
- Com a forma quadràtica, pot ser definida positiva  $R_{ij} > 0$ .

$$d\text{vol}(x) = \left( 1 - \frac{1}{6} \sum_{ij} R_{ij} x^i x^j + O(|x|^3) \right) dx^1 \wedge \cdots \wedge dx^n.$$

$$R_{ij} = 0$$

$$R_{ij} > 0$$

$$R_{ij} < 0$$



## *Hamilton i el Flux de Ricci (1982)*



R.S. Hamilton (1943).

## ***Hamilton i el Flux de Ricci (1982)***

$$\frac{\partial g_{ij}}{\partial t} = -2 R_{ij}$$

## **Hamilton i el Flux de Ricci (1982)**

$$\frac{\partial g_{ij}}{\partial t} = -2 R_{ij}$$

- En coordenades harmòniques  $\{x^i\}$ ,  $\Delta x^i = 0$ .

$$\frac{\partial g_{ij}}{\partial t} = \Delta(g_{ij}) + Q_{ij}(g^{-1}, \frac{\partial g}{\partial x})$$

on  $\left\{ \begin{array}{l} \Delta(g_{ij}) = \text{laplaciana de la funció escalar } g_{ij} \\ Q_{ij} = \text{expressió quadràtica} \end{array} \right.$

És una equació de difusió-reacció.

## **Hamilton i el Flux de Ricci (1982)**

$$\frac{\partial g_{ij}}{\partial t} = -2 R_{ij}$$

- En coordenades harmòniques  $\{x^i\}$ ,  $\Delta x^i = 0$ .

$$\frac{\partial g_{ij}}{\partial t} = \Delta(g_{ij}) + Q_{ij}(g^{-1}, \frac{\partial g}{\partial x})$$

on  $\left\{ \begin{array}{l} \Delta(g_{ij}) = \text{laplaciana de la funció escalar } g_{ij} \\ Q_{ij} = \text{expressió quadràtica} \end{array} \right.$

És una equació de difusió-reacció.

- Heurística del programa de Hamilton:  
“O bé  $g(t)$  convergeix a una mètrica localment homogènia o bé crea singularitats corresponents a la descomposició canònica”.

## **Hamilton i el Flux de Ricci (1982)**

$$\frac{\partial g_{ij}}{\partial t} = -2 R_{ij}$$

- Heurística del programa de Hamilton:  
“O bé  $g(t)$  convergeix a una mètrica localment homogènia o bé crea singularitats corresponents a la descomposició canònica”.

- Hamilton/DeTurck:

Existència en temps curt i unicitat

quan  $M^n$  és compacte hi ha una **única** solució  
definida per  $t \in [0, T)$ ,  $T > 0$ .

## Exemple

- Suposem que  $g(0)$  té curvatura seccional constant  $K$ .

$$\Rightarrow R_{ij} = (n - 1)Kg_{ij}(0)$$

Posant  $g_{ij}(t) = f(t)g_{ij}(0)$ , llavors  $\frac{\partial g_{ij}}{\partial t} = -2R_{ij}$  equiv. a l'ODE

$$f'(t) = -2(n - 1)K$$

## Exemple

- Suposem que  $g(0)$  té curvatura seccional constant  $K$ .

$$\Rightarrow R_{ij} = (n - 1)Kg_{ij}(0)$$

Posant  $g_{ij}(t) = f(t)g_{ij}(0)$ , llavors  $\frac{\partial g_{ij}}{\partial t} = -2R_{ij}$  equiv. a l'ODE

$$f'(t) = -2(n - 1)K$$

$$g(t) = (1 - 2K(n - 1)t)g(0)$$

- |   |  |
|---|--|
| { | <ul style="list-style-type: none"><li>si <math>K &lt; 0</math> s'<b>expandeix</b> per sempre</li><li>si <math>K = 0</math> es <b>manté estable</b></li><li>si <math>K &gt; 0</math> <b>col·lapsa</b> al temps <math>T = \frac{1}{2K(n-1)}</math></li></ul> |
|---|--|

## *Exemple: Solitons*

$$\frac{\partial}{\partial t} g_{ij} = -2R_{ij}.$$

Una solució  $g_t$  és un **solitó** si 
$$g_t = \lambda(t)\Phi_t^* g_0$$
.

Contractant si  $\lambda < 1$ , estable si  $\lambda = 1$  i expansiu si  $\lambda > 1$ .

## Exemple: Solitons

$$\frac{\partial}{\partial t} g_{ij} = -2R_{ij}.$$

Una solució  $g_t$  és un solitó si 
$$g_t = \lambda(t)\Phi_t^* g_0$$
.

Contractant si  $\lambda < 1$ , estable si  $\lambda = 1$  i expansiu si  $\lambda > 1$ .

Un solitó gradient si 
$$\frac{\partial}{\partial t}\Phi_t = \nabla f$$

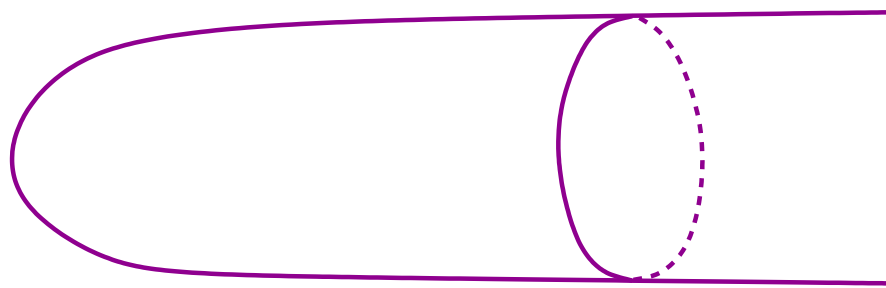
Equivalentment:

$$R_{ij} + \text{Hess}_{ij}(f) + c g_{ij} = 0$$

- Solitons amb curvatura  $\geq 0$ : després d'*explotar* les singularitats.

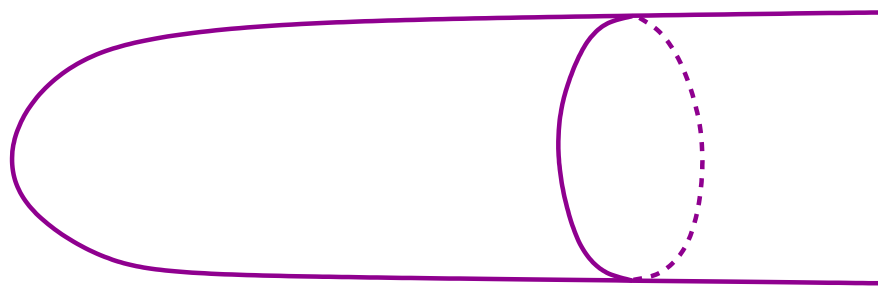
## *Exemple: Solitó Cigar*

$$g = \frac{dx^2 + dy^2}{1+x^2+y^2} = \frac{dr^2 + r^2 d\theta^2}{1+r^2} = d\rho^2 + \tanh^2 \rho d\theta^2 \quad \text{a } \mathbf{R}^2$$



## Exemple: Solitó Cigar

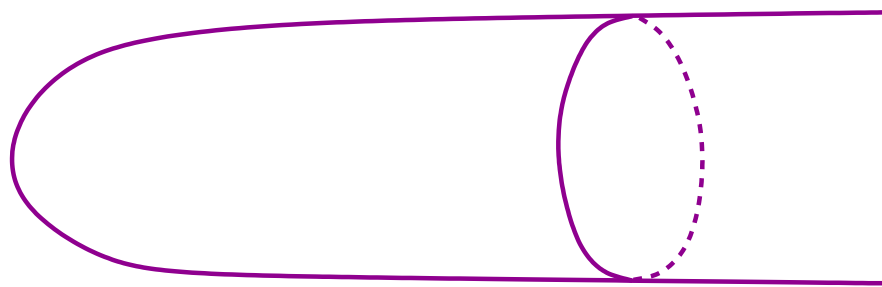
$$g = \frac{dx^2 + dy^2}{1+x^2+y^2} = \frac{dr^2 + r^2 d\theta^2}{1+r^2} = d\rho^2 + \tanh^2 \rho d\theta^2 \quad \text{a } \mathbf{R}^2$$



- Asimptòtic a un cilindre ( $\tanh \rho \rightarrow 1$  quan  $\rho \rightarrow \infty$ )

## Exemple: Solitó Cigar

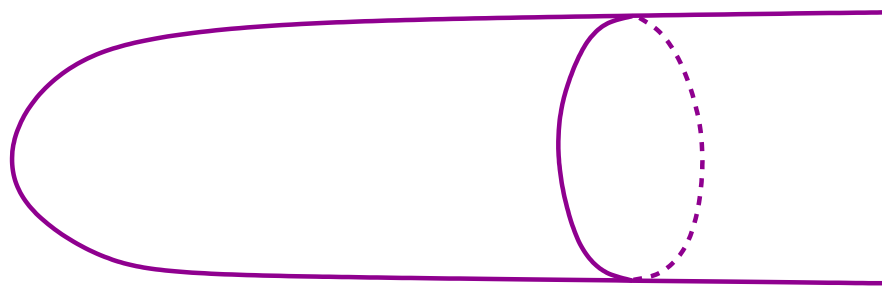
$$g = \frac{dx^2 + dy^2}{1+x^2+y^2} = \frac{dr^2 + r^2 d\theta^2}{1+r^2} = d\rho^2 + \tanh^2 \rho d\theta^2 \quad \text{a } \mathbf{R}^2$$



- Asimptòtic a un cilindre ( $\tanh \rho \rightarrow 1$  quan  $\rho \rightarrow \infty$ )
- $K = \frac{2}{\cosh^2 \rho} > 0$  i  $K \rightarrow 0$  quan  $\rho \rightarrow \infty$ .

## Exemple: Solitó Cigar

$$g = \frac{dx^2 + dy^2}{1+x^2+y^2} = \frac{dr^2 + r^2 d\theta^2}{1+r^2} = d\rho^2 + \tanh^2 \rho d\theta^2 \quad \text{a } \mathbf{R}^2$$

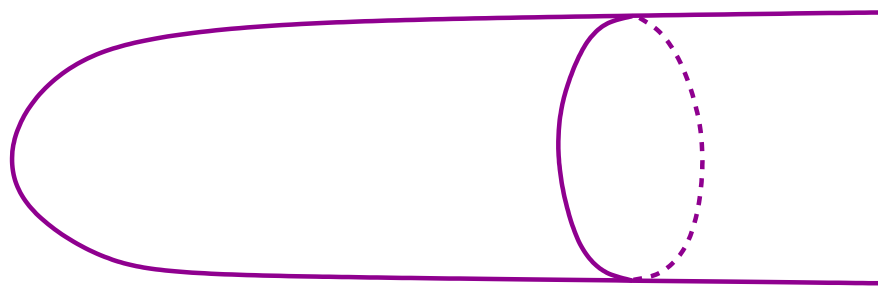


- Asimptòtic a un cilindre ( $\tanh \rho \rightarrow 1$  quan  $\rho \rightarrow \infty$ )
- $K = \frac{2}{\cosh^2 \rho} > 0$  i  $K \rightarrow 0$  quan  $\rho \rightarrow \infty$ .
- És un solitó gradient estable:

$$f = -2 \log \cosh \rho \text{ compleix } \text{Hess}(f) + \frac{2}{\cosh^2 \rho} g = 0$$

## Exemple: Solitó Cigar

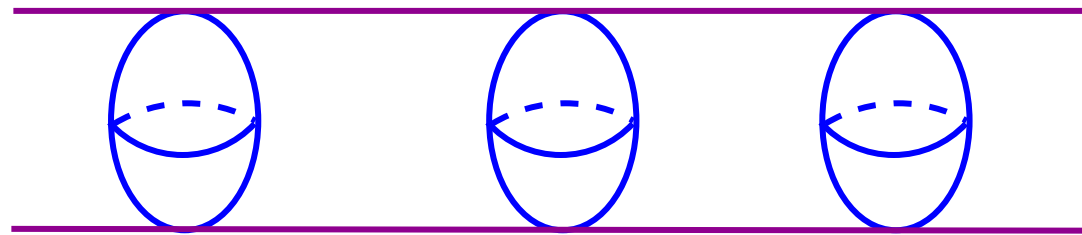
$$g = \frac{dx^2 + dy^2}{1+x^2+y^2} = \frac{dr^2 + r^2 d\theta^2}{1+r^2} = d\rho^2 + \tanh^2 \rho d\theta^2 \quad \text{a } \mathbf{R}^2$$



- Asimptòtic a un cilindre ( $\tanh \rho \rightarrow 1$  quan  $\rho \rightarrow \infty$ )
- $K = \frac{2}{\cosh^2 \rho} > 0$  i  $K \rightarrow 0$  quan  $\rho \rightarrow \infty$ .
- És un solitó gradient estable:  
 $f = -2 \log \cosh \rho$  compleix  $Hess(f) + \frac{2}{\cosh^2 \rho} g = 0$
- Cigar  $\times S^1$  NO hauria de sortir després d'explotar les singularitats.

## Més exemples

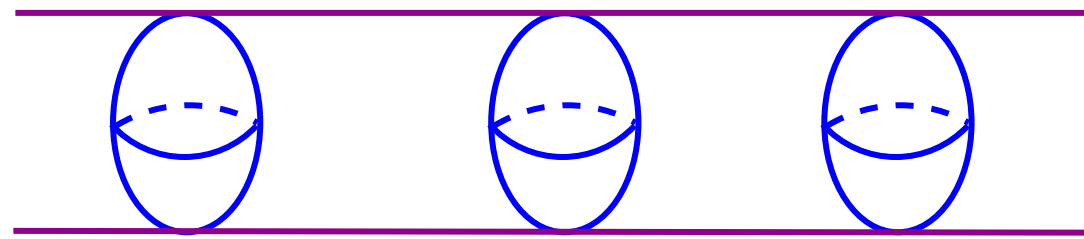
- Cilindre  $S^2 \times \mathbf{R}$ :



El factor  $S^2$  col·lapsa en temps finit i  $\mathbf{R}$  resta constant.

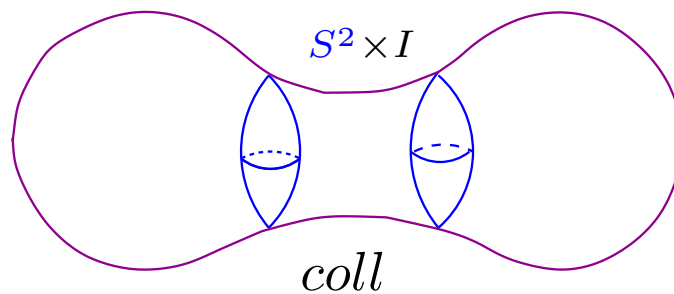
## Més exemples

- Cilindre  $S^2 \times \mathbf{R}$ :



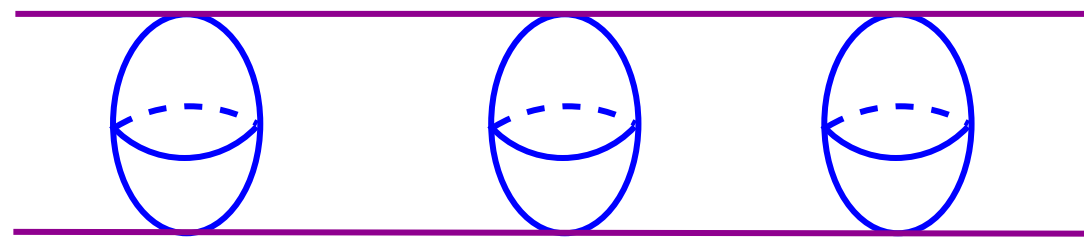
El factor  $S^2$  col·lapsa en temps finit i  $\mathbf{R}$  resta constant.

- $S^3$  amb un “coll”:



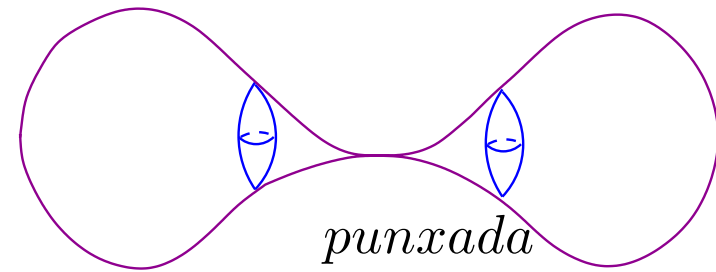
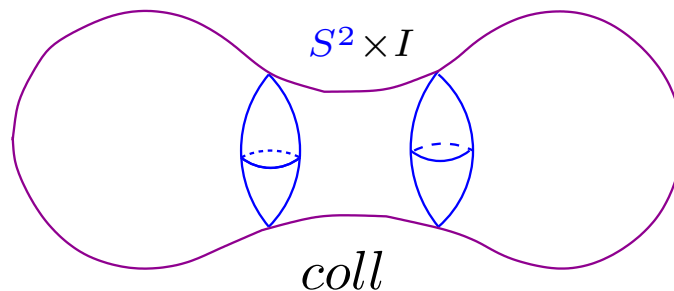
## Més exemples

- Cilindre  $S^2 \times \mathbf{R}$ :

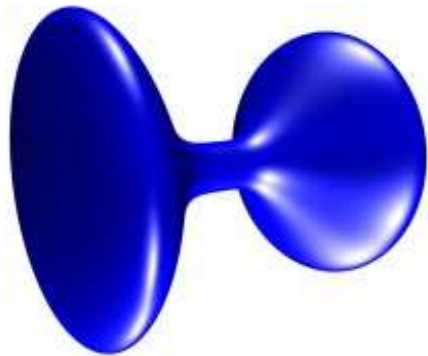


El factor  $S^2$  col·lapsa en temps finit i  $\mathbf{R}$  resta constant.

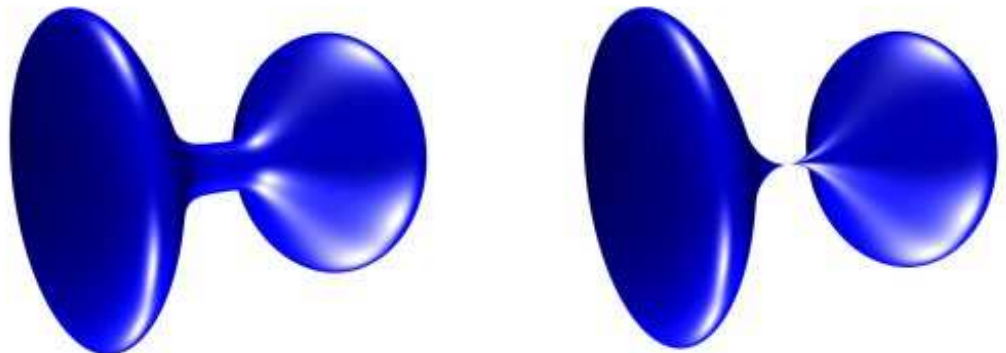
- $S^3$  amb un “coll”:



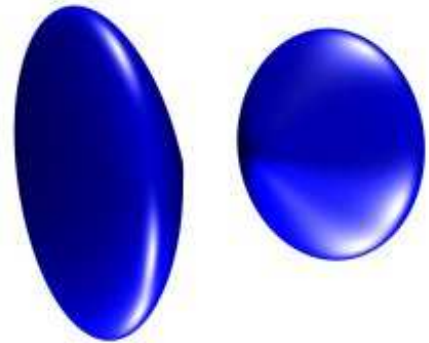
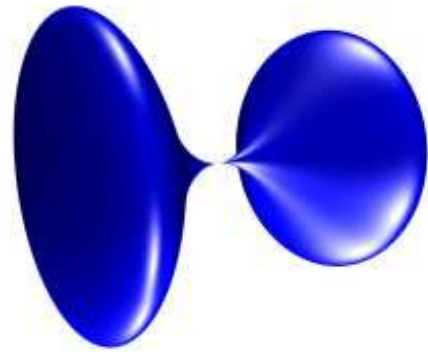
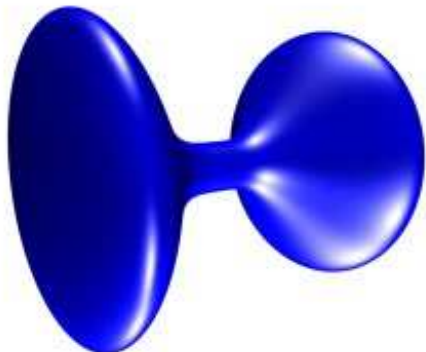
## *Situació ideal (Dimensió 3)*



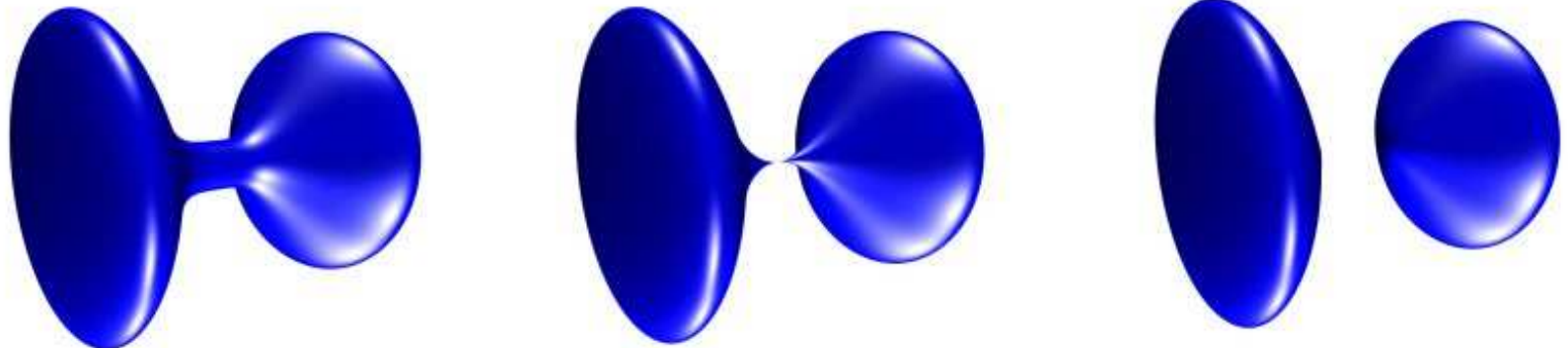
## *Situació ideal (Dimensió 3)*



## *Situació ideal (Dimensió 3)*



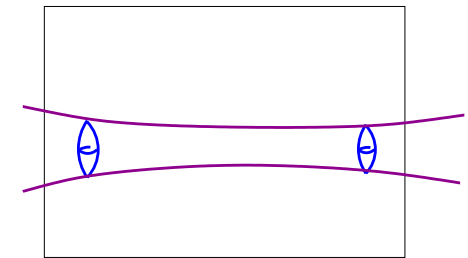
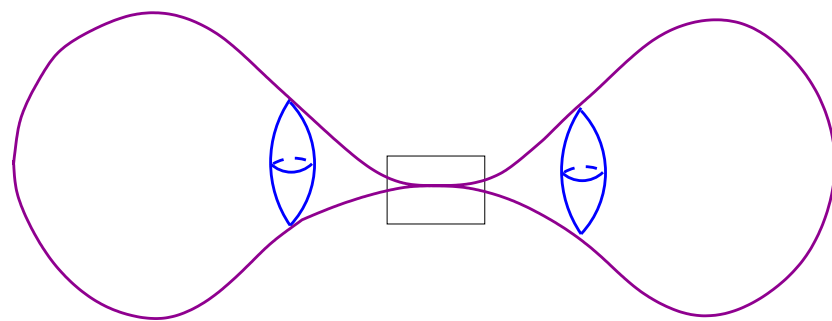
## Situació ideal (Dimensió 3)



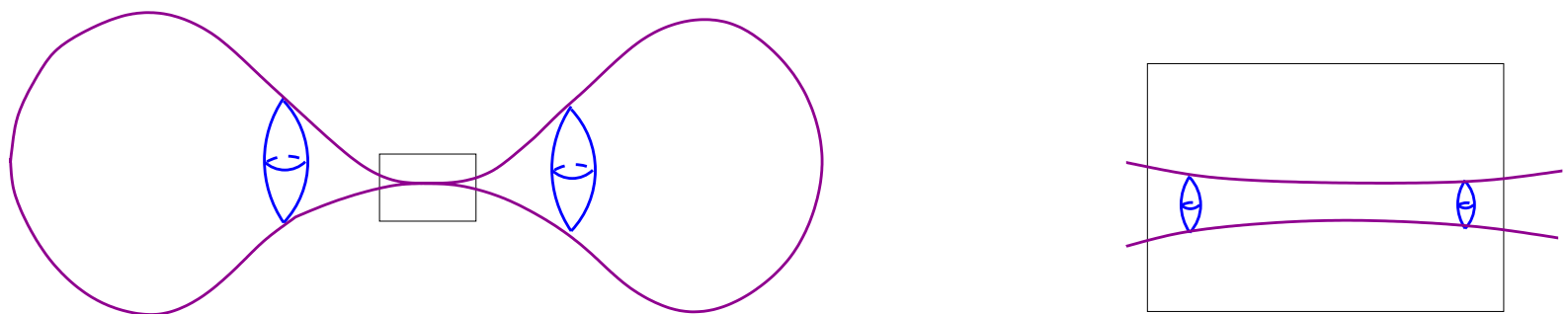
...però això no sabem si és cert!

Haurem de tallar i enganxar.

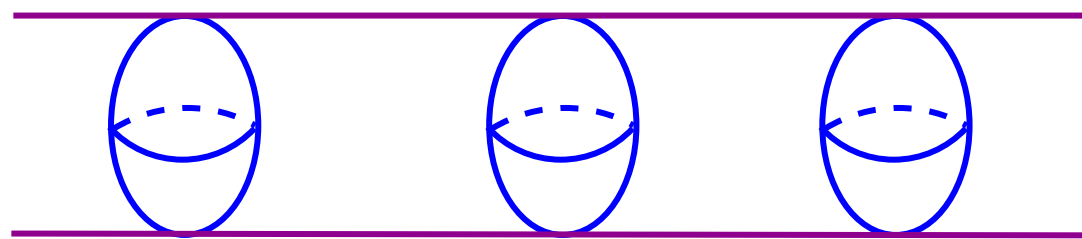
## *Zoom de singularitats en dimensió tres*



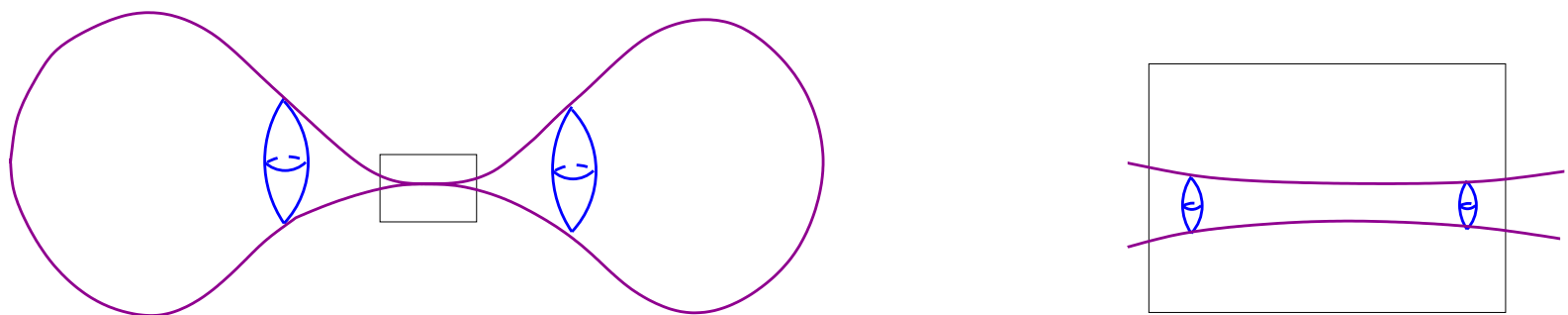
## *Zoom de singularitats en dimensió tres*



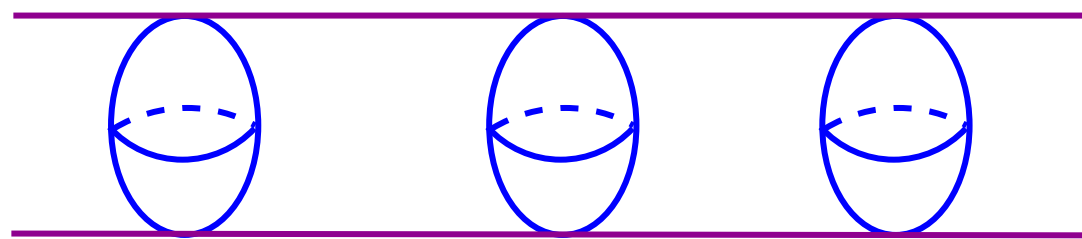
Quan fem un zoom o explosió d'una singularitat  
ens agradaria obtenir el cilindre  $S^2 \times \mathbf{R}$



## Zoom de singularitats en dimensió tres



Quan fem un zoom o explosió d'una singularitat  
ens agradaria obtenir el cilindre  $S^2 \times \mathbf{R}$



- Hamilton: Com podem evitar el  $\text{Cigar} \times S^1$ ?

## Ricci positiva

Teorema (Hamilton 1982)

If  $M^3$  admet una mètrica amb  $(R_{ij}) > 0$

$\Rightarrow M^3$  admet una mètrica amb curv  $\equiv 1$

- Idea:
- $(R_{ij}) > 0$  és una condición invariant pel flux en dim 3.
  - Es poden controlar els valors propis de  $R_{ij}$ .

## Teorema (Hamilton 1982)

If  $M^3$  admet una mètrica amb  $(R_{ij}) > 0$

$\Rightarrow M^3$  admet una mètrica amb curv  $\equiv 1$

- Idea:
- $(R_{ij}) > 0$  és una condición invariant pel flux en dim 3.
  - Es poden controlar els valors propis de  $R_{ij}$ .
    - Hi ha un temps d'extinció del flux
    - Els tres valors propis convergeixen a  $\infty$  a la mateixa velocitat.
    - El límit reescalat convergeix a una mètrica de curv. const.

Teorema (Hamilton 1982)

If  $M^3$  admet una mètrica amb  $(R_{ij}) > 0$   
 $\Rightarrow M^3$  admet una mètrica amb curv  $\equiv 1$

- Idea:
- $(R_{ij}) > 0$  és una condició invariant pel flux en dim 3.
  - Es poden controlar els valors propis de  $R_{ij}$ .
    - Hi ha un temps d'extinció del flux
    - Els tres valors propis convergeixen a  $\infty$  a la mateixa velocitat.
    - El límit reescalat convergeix a una mètrica de curv. const.

Generalització:

- Si  $(R_{ij}) \geq 0$ , admet una mètrica loc. homogènia,  $\mathbf{R}^3$ ,  $S^2 \times \mathbf{R}$ ,  $S^3$ .  
(Príncipi max. fort per tensors (Hamilton)).

## **Curvatura escalar $R$**

$$R = \sum R_{ii}$$

- Evolució de  $R$  pel flux de Ricci:

$$\frac{\partial R}{\partial t} = \Delta R + 2|(R_{ij})|^2$$

## **Curvatura escalar $R$**

$$R = \sum R_{ii}$$

- Evolució de  $R$  pel flux de Ricci:

$$\frac{\partial R}{\partial t} = \Delta R + 2|(R_{ij})|^2$$

- Principi del màxim:  $\min_M R$  is no-decreixent en  $t$ .

## Curvatura escalar $R$

$$R = \sum R_{ii}$$

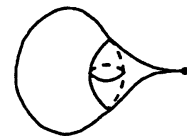
- Evolució de  $R$  pel flux de Ricci:

$$\frac{\partial R}{\partial t} = \Delta R + 2|(R_{ij})|^2$$

- Principi del màxim:  $\min_M R$  is no-decreixent en  $t$ .
- Més treball:  $R$  controla les singularitats en dim 3:

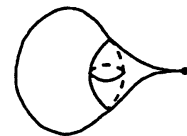
Quan ens acostem al temps límit,  $R \rightarrow \infty$  en algun punt.

## ***Singularitats***



Les singularitats passen al temps límit  $T$  d'existència del flux.  
Quan  $t \rightarrow T, R \rightarrow \infty$  en algun punt

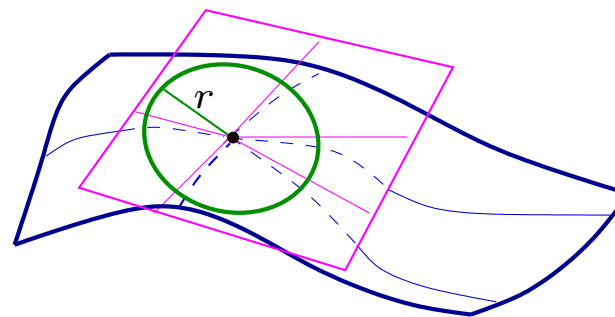
## Singularitats



Les singularitats passen al temps límit  $T$  d'existència del flux.  
Quan  $t \rightarrow T, R \rightarrow \infty$  en algun punt

- Questió de Hamilton: com es pot controlar el radi d'injectivitat a prop de les singularitats?

$$\text{inj}(x) = \sup\{r \mid \exp_x : B(0, r) \subset T_x M \rightarrow B(x, r) \subset M \text{ és difeo}\}$$

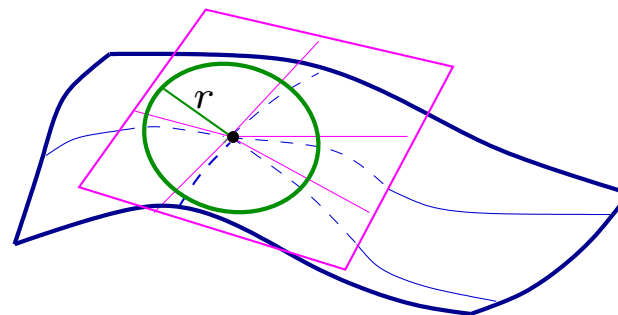


Les singularitats passen al temps límit  $T$  d'existència del flux.

Quan  $t \rightarrow T, R \rightarrow \infty$  en algun punt

- Questió de Hamilton: com es pot controlar el radi d'injectivitat a prop de les singularitats?

$$\text{inj}(x) = \sup\{r \mid \exp_x : B(0, r) \subset T_x M \rightarrow B(x, r) \subset M \text{ és difeo}\}$$



- Perelman 2002: Les solucions del flux de Ricci són localment no-col·lapsades (després de reescalar a  $R = 1$ ).

**Perelman 2002**



G. Perelman (1966)

**Teorema:**  $\kappa$  -non col·lapsada

$\exists \kappa > 0$  t.q.  $\forall r > 0, \forall x \in M$  i  $\forall t \in [1, T],$

Si  $\forall y \in B(x, t, r), |R(y, t)| \leq r^{-2} \Rightarrow \frac{\text{vol}(B(x, t, r))}{r^3} \geq \kappa$

⇒ Quan normalitzem a  $|R(y, t)| = 1$ , cota inferior del radi d'injectivitat.

**Teorema:**  $\kappa$  -non col·lapsada

$\exists \kappa > 0$  t.q.  $\forall r > 0, \forall x \in M$  i  $\forall t \in [1, T)$ ,

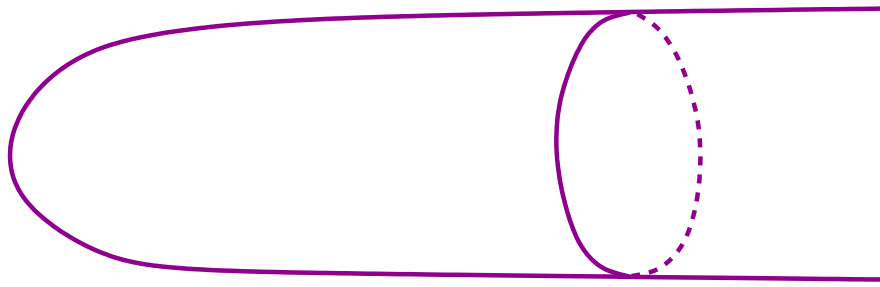
Si  $\forall y \in B(x, t, r), |R(y, t)| \leq r^{-2} \Rightarrow \frac{\text{vol}(B(x, t, r))}{r^3} \geq \kappa$

⇒ Quan normalitzem a  $|R(y, t)| = 1$ , cota inferior del radi d'injectivitat.

- Idea: flux de Ricci com a flux gradient per cert funcional.
- Això exclou el solitó del cigar com a model local per les singularitats  
Volem cilindres  $S^2 \times \mathbf{R}$  com a model locals per les singularitats.

## *El solitó cigar és $\kappa$ -collapseat*

$$g_{cigar} = \frac{dx^2 + dy^2}{1+x^2+y^2} = d\rho^2 + \tanh^2 \rho d\theta^2 \quad \text{a } \mathbf{R}^2$$



Considerem  $g_{cigar} + dz^2$  a  $\mathbf{R}^2 \times S^1$ .

Com que  $K = \frac{2}{\cosh^2 \rho} \rightarrow 0$  i  $inj \rightarrow 1$  quan  $\rho \rightarrow \infty$ ,

S'exclou com a model local per singularitats (pel  $\kappa$ -no collapse)

( $\kappa$ -no collapse: quan reescalem a  $|R| = 1$ ,  $inj > c(\kappa) > 0$ )

Teorema:  $\kappa$  -no collapse

$\exists \kappa > 0$  s.t.  $\forall r > 0, \forall x \in M$  i  $\forall t \in [1, T],$

Si  $\forall y \in B(x, t, r), |R(y, t)| \leq r^{-2} \Rightarrow \frac{\text{vol}(B(x, t, r))}{r^3} \geq \kappa$

$\Rightarrow$  quan normalitzem a  $|R(y, t)| = 1$ , cota inferior del radi d'injectivitat.

**Teorema:**  $\kappa$ -no collapse

$\exists \kappa > 0$  s.t.  $\forall r > 0, \forall x \in M$  i  $\forall t \in [1, T]$ ,

Si  $\forall y \in B(x, t, r), |R(y, t)| \leq r^{-2} \Rightarrow \frac{\text{vol}(B(x, t, r))}{r^3} \geq \kappa$

$\Rightarrow$  quan normalitzem a  $|R(y, t)| = 1$ , cota inferior del radi d'injectivitat.

**Teorema:** entorn canònic

$\forall \epsilon > 0, \exists r > 0$ , t.q.  $\forall x \in M$  i  $\forall t \in [1, T]$ ,

Si  $R(x, t) \geq r^{-2} \Rightarrow x \in (M, g(t))$  pertany a un  $\epsilon$ -entorn canònic.

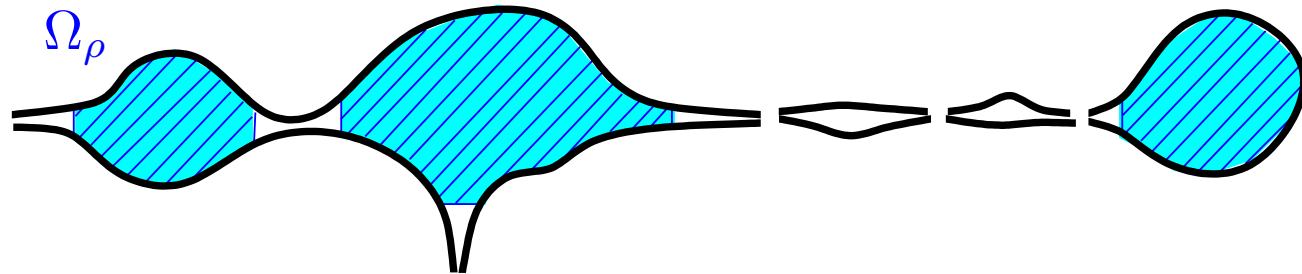
- $\epsilon$ -entorn canònic: {
- $\epsilon$ -a prop d'un cilindre  $S^2 \times (0, l)$
  - $\epsilon$ -a prop de  $B^3$  oberta amb final cilíndric
  - varietat amb  $K > 0$ .

## *Flux de Ricci amb $\delta$ -cirurgia*

$(M^3, g(t))$  flux de Ricci,  $t \in [0, T]$ .

$\Omega_\rho = \{x \in M \mid R(x, t) \leq \rho^{-2}, t \rightarrow T\}$  compacte.

$\Omega = \bigcup_{\rho > 0} \Omega_\rho$  obert.  $g_\infty$  = mètrica límit a  $\Omega$ .

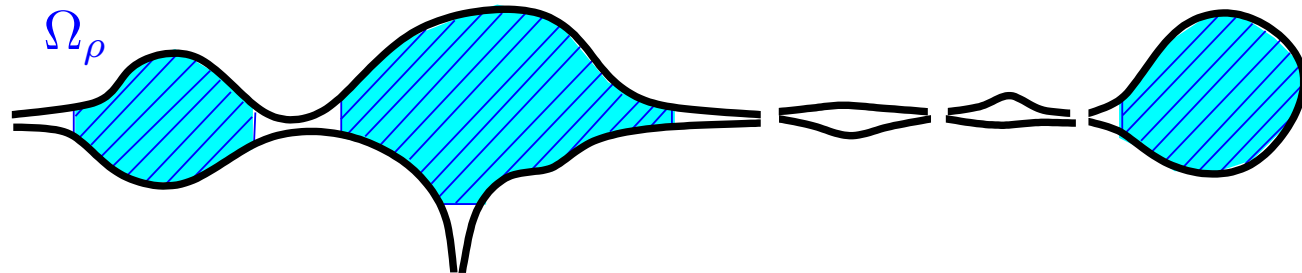


## Flux de Ricci amb $\delta$ -cirugia

$(M^3, g(t))$  flux de Ricci,  $t \in [0, T]$ .

$\Omega_\rho = \{x \in M \mid R(x, t) \leq \rho^{-2}, t \rightarrow T\}$  compacte.

$\Omega = \bigcup_{\rho > 0} \Omega_\rho$  obert.  $g_\infty$  = mètrica límit a  $\Omega$ .



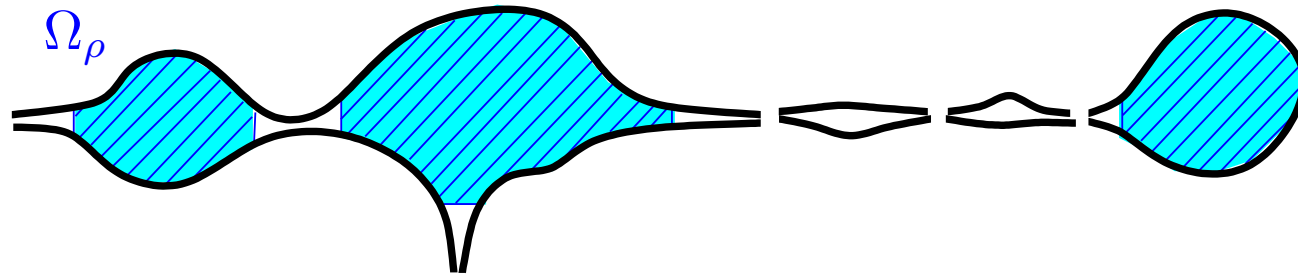
Si  $t \lesssim T \Rightarrow (M^3 - \Omega_r, g(t)) =$  unió de  $\varepsilon$ -entorns canònics.

## Flux de Ricci amb $\delta$ -cirurgia

$(M^3, g(t))$  flux de Ricci,  $t \in [0, T]$ .

$\Omega_\rho = \{x \in M \mid R(x, t) \leq \rho^{-2}, t \rightarrow T\}$  compacte.

$\Omega = \bigcup_{\rho > 0} \Omega_\rho$  obert.  $g_\infty$  = mètrica límit a  $\Omega$ .



Si  $t \lesssim T \Rightarrow (M^3 - \Omega_r, g(t)) =$  unió de  $\varepsilon$ -entorns canònics.

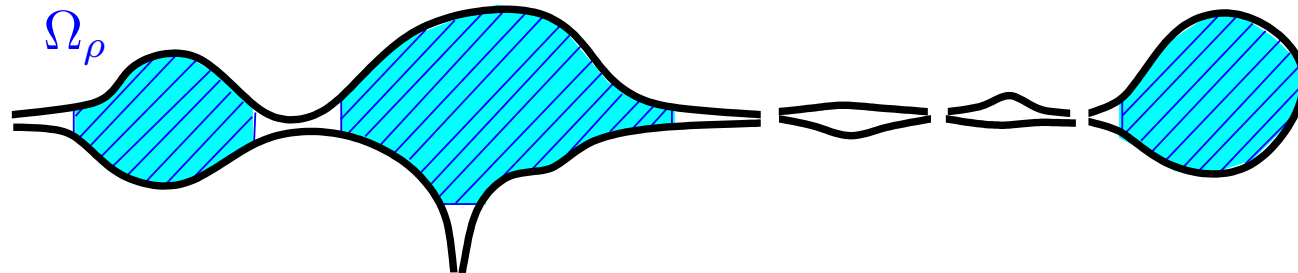
$\exists 0 < \delta < 1$  tal que si  $\rho = \delta r$ , aleshores les components de  $M^3 - \Omega_\rho$  són  $S^2 \times [0, 1], B^3$  o varietats amb  $K > 0$ .

## Flux de Ricci amb $\delta$ -cirugia

$(M^3, g(t))$  flux de Ricci,  $t \in [0, T]$ .

$\Omega_\rho = \{x \in M \mid R(x, t) \leq \rho^{-2}, t \rightarrow T\}$  compacte.

$\Omega = \bigcup_{\rho > 0} \Omega_\rho$  obert.  $g_\infty$  = mètrica límit a  $\Omega$ .



Si  $t \lesssim T \Rightarrow (M^3 - \Omega_r, g(t)) =$  unió de  $\varepsilon$ -entorns canònics.

$\exists 0 < \delta < 1$  tal que si  $\rho = \delta r$ , aleshores les components de  $M^3 - \Omega_\rho$  són  $S^2 \times [0, 1], B^3$  o varietats amb  $K > 0$ .

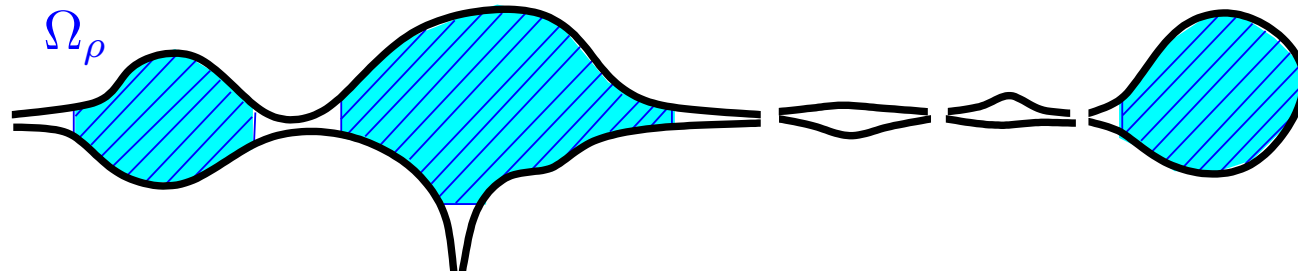
- $\delta$ -cirugia: Enganxem semiesferes a la vora de  $(\Omega_\rho, g_\infty)$ , allissem i continuem el flux.

## Flux de Ricci amb $\delta$ -cirurgia

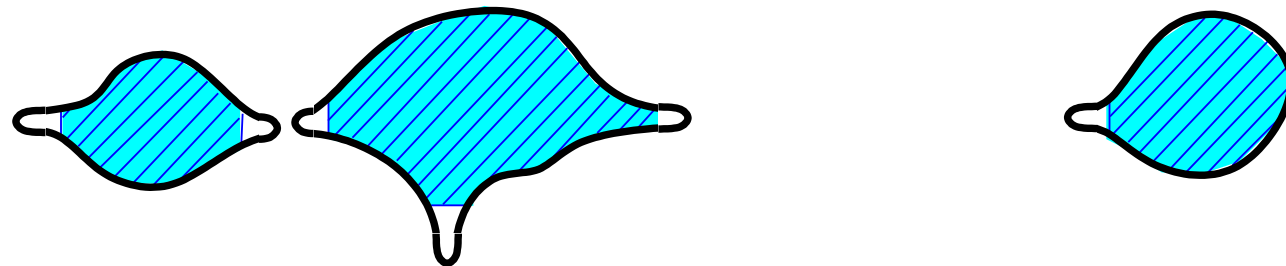
$(M^3, g(t))$  flux de Ricci,  $t \in [0, T]$ .

$\Omega_\rho = \{x \in M \mid R(x, t) \leq \rho^{-2}, t \rightarrow T\}$  compacte.

$\Omega = \bigcup_{\rho > 0} \Omega_\rho$  obert.  $g_\infty$  = mètrica límit a  $\Omega$ .



$M^3 - \Omega_\rho$  = unió finita de  $S^2 \times [0, 1], B^3$  o varietat amb  $K > 0$



... i continuem el flux.

## *Evolució del flux de Ricci $\delta$ -cirugia*

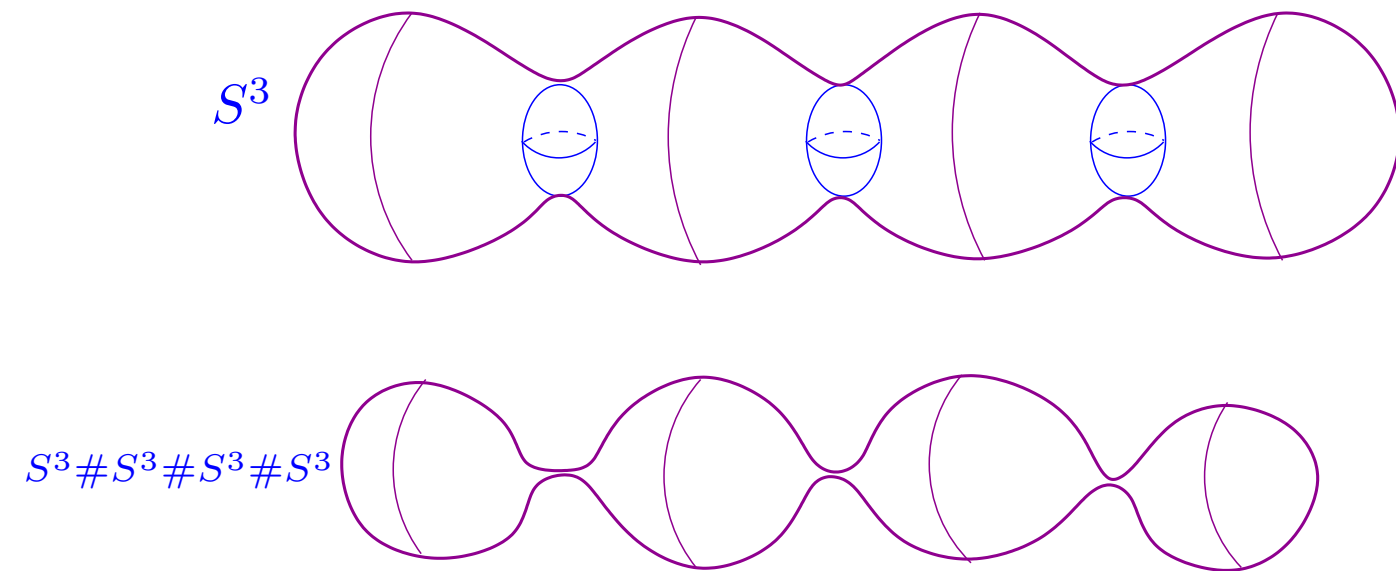
- 1 Hi poden haver una infinitat de temps de cirugia.  
Els temps de cirugia no s'acumulen (estimacions de volum).

$$\frac{d}{dt} \text{vol}(M, g(t)) = - \int_M R \leq c t n t \quad (\min_M R \text{ no-decreixent})$$

i cada **cirugia decreix** una quantitat de volum minorada

## Evolució del flux de Ricci $\delta$ -cirugia

- 1 Hi poden haver una infinitat de temps de cirugia.  
Els temps de cirugia no s'acumulen (estimacions de volum).
- 2 A cada cirugia tenim una suma connexa, que pot ser topològicament trivial ( $M \# S^3$ ).



## *Evolució del flux de Ricci $\delta$ -cirugia*

- 1 Hi poden haver una infinitat de temps de cirugia.  
Els temps de cirugia no s'acumulen (estimacions de volum).
- 2 A cada cirugia tenim una suma connexa, que pot ser topològicament trivial ( $M \# S^3$ ).
- 3  $\delta$  i altres paràmetres canvien a cada cirugia.  
El flux depend de l'elecció  $\delta$ : no hi ha unicitat!

## *Evolució del flux de Ricci $\delta$ -cirugia*

- 1 Hi poden haver una infinitat de temps de cirugia.  
Els temps de cirugia no s'acumulen (estimacions de volum).
- 2 A cada cirugia tenim una suma connexa, que pot ser topològicament trivial ( $M \# S^3$ ).
- 3  $\delta$  i altres paràmetres canvien a cada cirugia.  
El flux depend de l'elecció  $\delta$ : no hi ha unicitat!
- 4 Per 1: 
  - o bé s'acaba (*extingeix*) en suma connexa de varietats de curvatura constant  $\equiv +1$  i  $S^2 \times S^1$ ,
  - o bé continua fins a temps infinit.

## **Evolució a llarg termini**

Per temps prou llarg, els  $M_t$  es divideix en:

$$M_t = M_t^{prima} \cup M_t^{grassa}$$

prima/grassa segons si el radi d'inject. és menor/major que  $c(R, t, \delta)$ .

## Evolució a llarg termini

Per temps prou llarg, els  $M_t$  es divideix en:

$$M_t = M_t^{prima} \cup M_t^{grassa}$$

prima/grassa segons si el radi d'inject. és menor/major que  $c(R, t, \delta)$ .

Això correspon a la descomposició JSJ.

$$\left\{ \begin{array}{lcl} M_t^{grassa} & = & \text{hiperbòlica} \\ M_t^{prima} & = & \text{unió de fibrats de Seifert} \end{array} \right.$$

## *Drecera per la conjectura de Poincaré*

Teorema (Perelman)

Si  $\pi_3(M^3) \neq 0 \Rightarrow$  el flux s'extingeix en temps finit.

Per què implica la conjectura de Poincaré:

- $\pi_1(M^3) = 0 \Rightarrow \pi_3(M^3) \neq 0$
- Extingit a  $T < \infty \Rightarrow M^3 = S^3/\Gamma \# \cdots \# S^1 \times S^2$

## Drecera per la conjectura de Poincaré

Teorema (Perelman)

Si  $\pi_3(M^3) \neq 0 \Rightarrow$  el flux s'extingeix en temps finit.

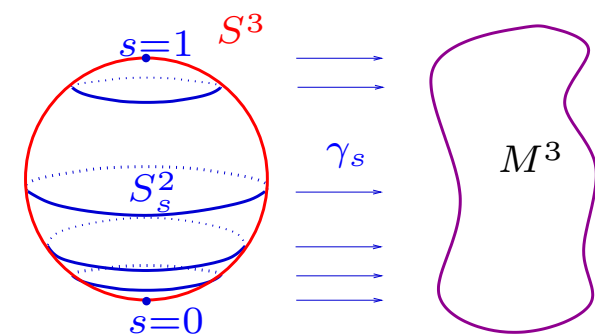
- $\pi_1(M^3) = 0 \Rightarrow \pi_3(M^3) \neq 0$
- Extingit a  $T < \infty \Rightarrow M^3 = S^3/\Gamma \# \cdots \# S^1 \times S^2$

Dem. de Colding-Minicozzi (sketch):

- $\Theta \stackrel{def}{=} \{f : S^2 \rightarrow M^3\}$  certa regularitat,

$M^3 \subset \Theta$  com aplicacions constants

$\pi_1(\Theta, M^3) \neq 0$  per què  $\pi_3(M^3) \neq 0$



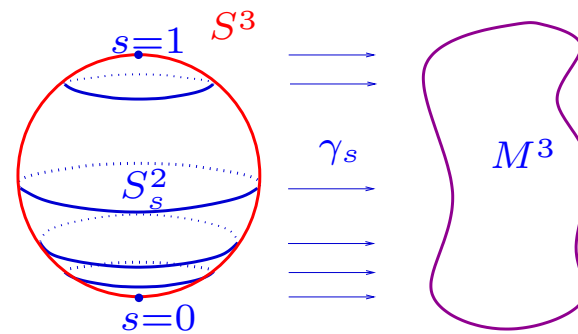
## Drecera per la conjectura de Poincaré

Teorema (Perelman)

Si  $\pi_3(M^3) \neq 0 \Rightarrow$  el flux s'extingeix en temps finit.

- $\Theta := \{f : S^2 \rightarrow M^3\}$  amb certa regularitat. Fixem  $0 \neq \theta \in \pi_1(\Theta, M^3)$

$$W(g, \theta) = \min_{\gamma \in \theta} \max_{s \in [0,1]} E(\gamma_s) > 0 \quad E(\gamma_s) = \frac{1}{2} \int_{S^2} \|d\gamma_s\|^2 d\mu_{S^2}$$



## Drecera per la conjectura de Poincaré

Teorema (Perelman)

Si  $\pi_3(M^3) \neq 0 \Rightarrow$  el flux s'extingeix en temps finit.

- $\Theta := \{f : S^2 \rightarrow M^3\}$  amb certa regularitat. Fixem  $0 \neq \theta \in \pi_1(\Theta, M^3)$

$$W(g, \theta) = \min_{\gamma \in \theta} \max_{s \in [0,1]} E(\gamma_s) > 0 \quad E(\gamma_s) = \frac{1}{2} \int_{S^2} \|d\gamma_s\|^2 d\mu_{S^2}$$

- $\frac{d}{dt} W(g(t), \theta) \leq -4\pi + \frac{3}{4(t+C)} W(g(t), \theta)$  quan  $W > 0$ .

## Drecera per la conjectura de Poincaré

Teorema (Perelman)

Si  $\pi_3(M^3) \neq 0 \Rightarrow$  el flux s'extingeix en temps finit.

- $\Theta := \{f : S^2 \rightarrow M^3\}$  amb certa regularitat. Fixem  $0 \neq \theta \in \pi_1(\Theta, M^3)$

$$W(g, \theta) = \min_{\gamma \in \theta} \max_{s \in [0,1]} E(\gamma_s) > 0 \quad E(\gamma_s) = \frac{1}{2} \int_{S^2} \|d\gamma_s\|^2 d\mu_{S^2}$$

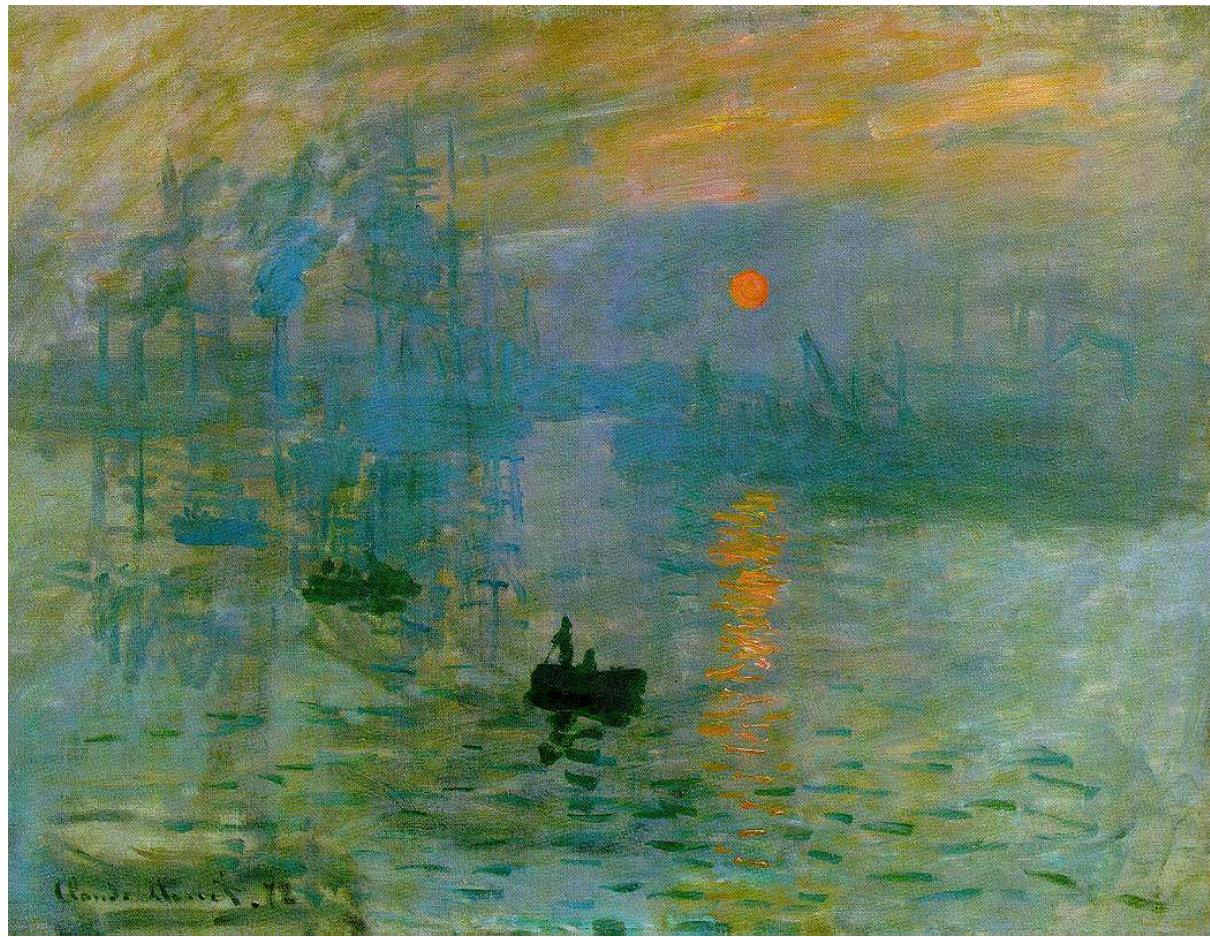
- $\frac{d}{dt} W(g(t), \theta) \leq -4\pi + \frac{3}{4(t+C)} W(g(t), \theta)$  quan  $W > 0$ .

- $\frac{d}{dt} ((t+C)^{-\frac{3}{4}} W(g(t), \theta)) \leq -4\pi (t+C)^{-\frac{3}{4}}$

$\Rightarrow \underline{W(g(T), \theta) = 0}$  per cert  $T > 0 \Rightarrow$  extingit abans del temps  $T$ .

## *Monet. Impression, soleil levant*

Els impressionistes aplicaven una mena de flux als colors?



## *Monet. Impression, soleil levant*

Comportament del flux a llarg termini.



## *Monet. Impression, soleil levant*

Comportament del flux a llarg termini.



## *Monet. Impression, soleil levant*

Comportament del flux a llarg termini.



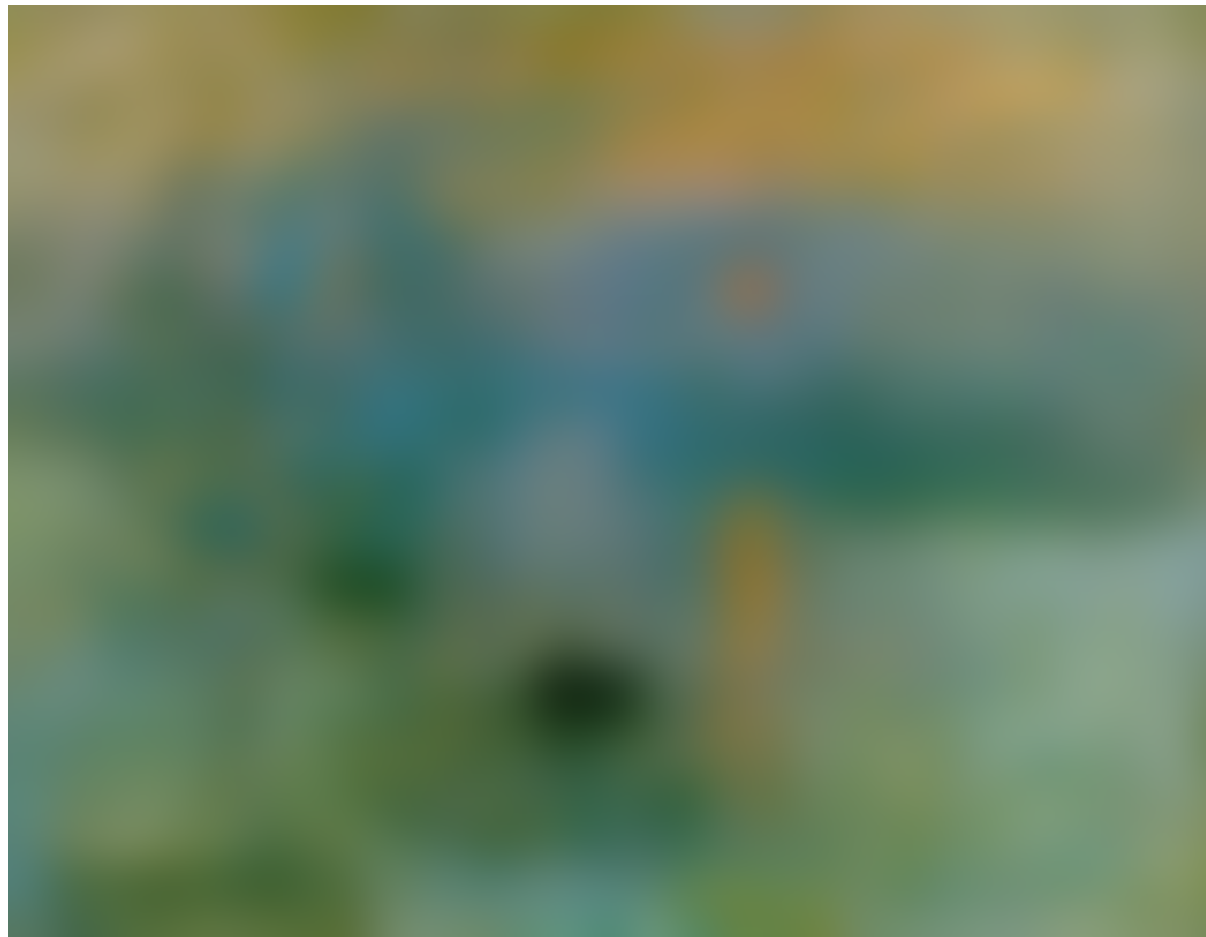
## *Monet. Impression, soleil levant*

Comportament del flux a llarg termini.



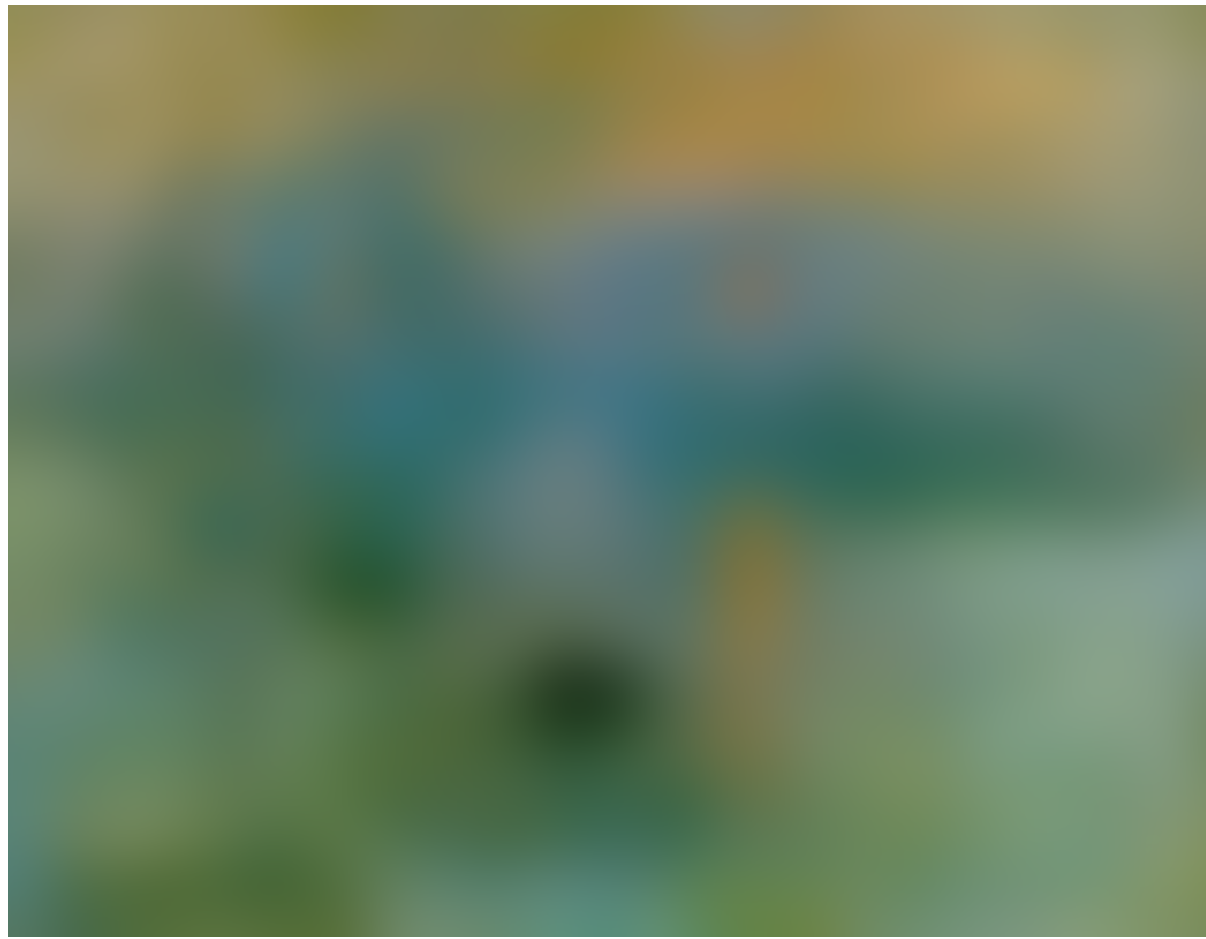
## *Monet. Impression, soleil levant*

Comportament del flux a llarg termini.



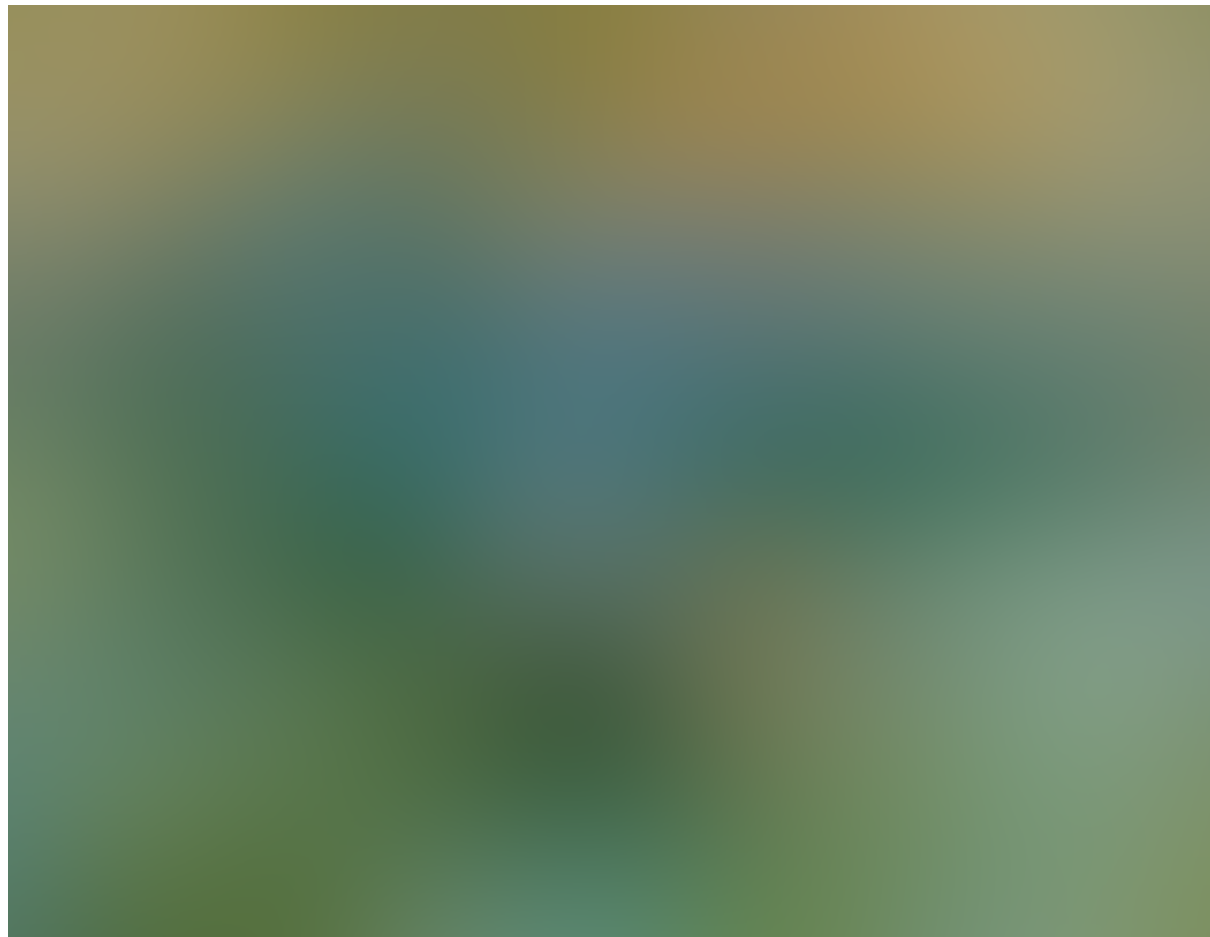
## *Monet. Impression, soleil levant*

Comportament del flux a llarg termini.



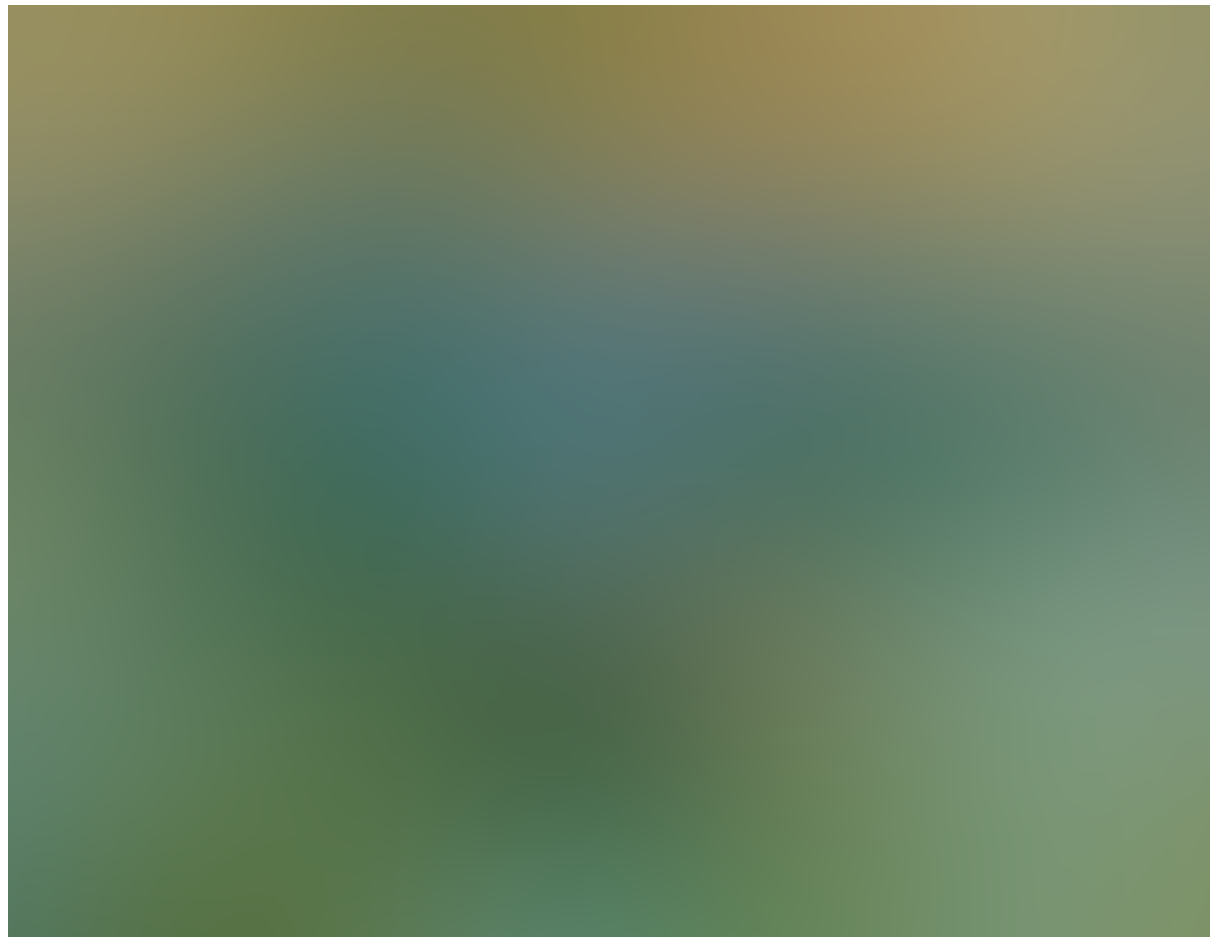
## *Monet. Impression, soleil levant*

Comportament del flux a llarg termini.



## *Monet. Impression, soleil levant*

Comportament del flux a llarg termini.



## *Monet. Impression, soleil levant*

Comportament del flux a llarg termini.



## *Monet. Impression, soleil levant*

Comportament del flux a llarg termini.



# *Monet. Impression, soleil levant*

